

*4 Kiel 62 62/18*

# Journal of Clinical Chemistry and Clinical Biochemistry

## Zeitschrift für Klinische Chemie und Klinische Biochemie

Gemeinsames Organ der Deutschen, der Österreichischen und der  
Schweizerischen Gesellschaft für Klinische Chemie

**Editors in Chief** Verantwortliche Herausgeber

**Johannes Büttner, Hannover** **Ernst Schütte, Berlin**

Managing Editor Schriftleiter Friedrich Körber, Berlin

Special Editor for IFCC Recommendations Nils-Erik Saris, Helsinki

Editors Herausgeber

Hugo Aebi, Bern  
Heinz Breuer, Bonn  
Joachim Brugsch, Berlin  
Johannes Büttner, Hannover  
Hans Joachim Dulce, Berlin  
Jörg Frei, Lausanne  
Wolfgang Gerok, Freiburg

Helmut Greiling, Aachen  
Erich Kaiser, Wien  
Hermann Matterheimer, Chicago  
Ernst Schütte, Berlin  
Dankwart Stamm, München  
Hansjürgen Staudinger, Freiburg  
Otto Wieland, München

Advisory Board unter Mitarbeit von

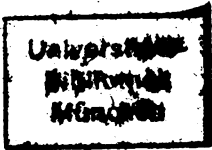
Klaus Borner, Berlin  
Eckhart Buddecke, Münster  
Hans-Christoph Curtius, Zürich  
Manfred Doss, Marburg  
Hartmut Dost, Gießen  
Hans Faillard, Saarbrücken  
Günther Fuchs, Berlin  
Erich Gladtke, Köln  
Heinz-Werner Goedde, Hamburg  
Erwin Hansert, München

Hans Ludwig Krüskenper, Düsseldorf  
Georg Löffler, Regensburg  
Mathias M. Müller, Wien  
Kurt Oette, Köln  
Jean-Paul Persijn, Amsterdam  
Ladislaus Róka, Gießen  
Ellen Schmidt, Hannover  
Ivar Trautschold, Hannover  
Gerhard Uhlenbrück, Köln

**Volume 18, 1980**



Walter de Gruyter · Berlin · New York



### **Attention before copying!**

Do you photocopy articles from this periodical? If so, have you made certain that you are not violating the legal copyright regulations and making yourself liable to prosecution?

According to copyright law it is only permissible to make a few copies of individual articles for personal use. Reproduction of articles for commercial use by an industrial enterprise is subject to charge. Detailed information can be obtained free of charge from the VG Wissenschaft GmbH, "Copyright", Großer Hirschgraben 17-21, D-6000 Frankfurt/Main, this company being responsible for collection of copying fees.

### **Copying in the USA!**

The appearance of the code at the bottom of the first page of an article in this journal indicates the copyright owner's consent that copies of the article may be made for personal or internal use, or for the personal or internal use of specific clients. This consent is given on the condition, however, that the copier pay the stated per-copy fee through the Copyright Clearance Center, Inc. for copying beyond that permitted by Sections 107 or 108 of the U.S. Copyright Law. This consent does not extend to other kinds of copying, such as copying for general distribution, for advertising or promotional purposes, for creating new collective works, or for resale.

Titel-Nr. 3 10 900 339 3

ISSN: 0340-076X

---

Copyright © 1980 by Verlag Walter de Gruyter & Co.

Typesetting	IBM-Composer, Arthur Collignon, Berlin
Printing	Mercedes-Druck, Berlin
Binding	Buchbinderei Spiller, Berlin
Advertising	Merkur-Werbung GmbH, Postfach 1245, D-5210 Troisdorf 1

Editorial Assistant and Technical Coordinator Joan F. Meier

Printed in Germany

All rights reserved, including those of translations into foreign languages. No part of this journal may be reproduced in any form – by photoprint, microfilm or any other means – nor transmitted nor translated into a machine language without written permission from the publisher.

The quotation of registered names, trade names, trade marks, etc. in this journal does not imply, even in the absence of a specific statement that such names are exempt from laws and regulations protecting trade marks, etc. and therefore free for general use.



Verlag Walter de Gruyter & Co., Genthiner Straße 13, D-1000 Berlin 30, ☎(030) 261 13 41, Telex 0184 027  
Walter de Gruyter, Inc., 200 Saw Mill River Road, Hawthorne, N.Y. 10532, ☎(914) 747-0110, Telex: 646 677

**WALTER DE GRUYTER · BERLIN · NEW YORK**

## CONTENTS/INHALTSÜBERSICHT

### Reviews/Übersichten

- Ebel, H. and Günther, T.  
Magnesium metabolism: A review  
Magnesium-Stoffwechsel: Eine  
Übersicht 257

- Haeckel, R.  
Future perspectives of automation  
in clinical chemistry  
Zukünftige Perspektiven der Auto-  
matisierung in der Klinischen  
Chemie 455

- Marschner, I., Herndl, R. and Scriba, P. C.  
Comparison of four different algo-  
rithms for the calculation of radio-  
immunoassay standard curves  
Vergleich von vier verschiedenen Algo-  
rithmen zur Berechnung von Stan-  
dardkurven 105

- Oellerich, M.  
Enzyme immunoassays in clinical  
chemistry: Present status and trends  
Enzymimmunotests in der Klinischen  
Chemie: Gegenwärtiger Stand und  
Entwicklungstendenzen 197

- Tietz, N. W.  
Present and future trends in selected  
areas of clinical enzymology  
Gegenwärtige und zukünftige Trends  
in ausgewählten Gebieten der  
klinischen Enzymologie 793

### Original papers/Originalarbeiten

- Agostoni, A., Gerli, Gian Carla, Beretta,  
L., Bianche, M., Vignali, M. and Bombelli, F.  
Superoxide dismutase, catalase and  
glutathione peroxidase activities in  
maternal and cord blood erythrocytes  
Superoxiddismutase-, Katalase- und  
Glutathionperoxidase-Aktivitäten  
in mütterlichen und Nabelschnurblut-  
Erythrocyten 771

- Bachmann, C. and Colombo, J. P.  
Determination of orotic acid in  
children's urine  
Bestimmung der Orotsäure im Urin  
bei Kindern 293

- Bartmann, P. und Brendel, W.  
Isolierung und Nachweis antigen-  
spezifischer T-Zell-Rezeptoren  
Isolation and identification of  
antigen-specific T-cell-receptors 1

- Bencze, K. und Sabatke, L.  
Schnelle Phänotypisierung des  
 $\alpha_1$ -Antitrypsins zur Bestimmung  
der Subtypen des Phänotyps MM  
Fast  $\alpha_1$ -antitrypsin phenotyping  
for the differentiation of PiMM-sub-  
types 13

- Benes, P., Morschies, B. und Holzmann, H.  
Radioimmunologische Bestimmungs-  
methoden für Dehydroepiandrosteron  
und 5-Androsten-3 $\beta$ , 17 $\beta$ -diol  
Radioimmunoassay of dehydroepian-  
drosterone and 5-androsten-3 $\beta$ , 17 $\beta$ -  
diol 117

- Blijenberg, B. G. and Leijnse, B.  
A survey report on the determination  
of total bilirubin in neonatal samples  
Bericht über Ringversuche zur Be-  
stimmung des Gesamt-Bilirubins  
im Serum Neugeborener 27

- Bosak, J., Knoll, E., Ratge, D. and  
Wisser, H.  
Single-isotope enzymatic derivative  
method for measuring catecholamines  
in human plasma  
Enzymatische Einisotopenderivat-  
Methode zur Bestimmung der Cate-  
cholamine im Plasma 413

- Breuer, H.  
Analytik und biologische Bedeutung  
der Steroidepoxide  
Analysis and biological significance  
of steroid epoxides 937

- Bruckner, A.  
Kinetische Glucosebestimmung nach  
der Glucosedehydrogenase-Methode  
mit dem Analysenautomaten ACP  
5040 (Eppendorf)  
The kinetic determination of glucose  
with the glucose dehydrogenase  
method using the Eppendorf  
automatic analyzer 5040 275

- Deeg, R., Kraemer, W. and Ziegenhorn, J.  
Kinetic determination of serum glu-  
cose by use of the hexokinase  
glucose-6-phosphate dehydrogenase  
method  
Kinetische Bestimmung von Glucose  
im Serum mit der Hexokinase Glu-  
cose-6-phosphat-Dehydrogenase-  
Methode 49

- van Eijk, H. G., van Noort, W. L. Kroos,  
M. J. and van der Heul, C.  
Isolation of the two monoferric  
human transferrins by preparative  
isoelectric focussing  
Isolierung von Transferrin (Fe) (A)  
und Transferrin (Fe) (B) des  
Menschen durch präparative iso-  
elektrische Fokussierung 563

- Férand, G., Klumpp, T., Ragagnin, M.,  
Metzger, G. und Métais, P.  
Description d'un système informati-  
que dans un laboratoire d'analyses bio-  
logiques d'urgence  
Description of a computer system  
for the emergency medical labora-  
tory 39

- Gaertner, H. J., Wiatr, Gerlinde and  
Kuss, H. J.  
4-methoxy-3-hydroxyphenylglycol  
as an internal standard for the  
determination of 3-methoxy-4-hy-  
droxyphenylglycol in urine: results  
obtained in depressed patients and  
healthy controls  
4-Methoxy-3-hydroxyphenylglykol  
als interner Standard für die Be-  
stimmung von 3-Methoxy-4-hydroxy-  
phenylglykol im Harn: Ergebnisse  
bei Patienten mit Depression und  
gesunden Kontrollpersonen 579

- Gärtner, R., Kewenig, M., Horn, K. and  
Scriba, P. C.  
A new principle of thyroxine ( $T_4$ )  
and triiodothyronine ( $T_3$ ) radio-  
immunoassay in unextracted serum  
using antisera with binding optima  
at extreme pH ranges  
Ein neues Prinzip für den Radio-  
immunassay von Thyroxin ( $T_4$ )  
und Triiodthyronin ( $T_3$ ) im nicht  
extrahierten Serum: Verwendung  
von Antisera mit Bindungsoptima  
bei extremen pH-Bereichen 571

- Gatschke, W., Gawlik, D. and Kraft, D.  
Non-destructive neutron activation  
analysis of aluminium and phosphorus  
in bone biopsies  
Zerstörungsfreie Neutronen-Aktivie-  
rungsanalyse von Aluminium und  
Phosphor in Knochenbiopsien 403

- Gerbitz, K.-D.  
Pancreatic B-Zellen-Peptide:  
Kinetik und Konzentration von  
Proinsulin, Insulin und C-Peptid  
in Plasma und Urin, Probleme der  
Meßmethoden, klinische Aussage  
und Literaturübersicht  
Pancreatic B cell peptides: Kinetic  
behaviour and concentrations of  
proinsulin, insulin and C-peptide  
in plasma and urine, problems of  
assay methods, clinical significance  
and literature review 313

- Gressner, A. M.  
Ribosomal protein modifications  
in liver injury: Effect of carbon  
tetrachloride and extrahepatic  
cholestasis on protein phosphorylation  
Ribosomale Proteinmodifikationen  
bei Leberschädigungen: Einfluß  
von Tetrachlorkohlenstoff und  
extrahepatischer Cholestase auf  
die Proteinkinaseaktivierung 111

- Gressner, A. M.  
Evaluation of the assay for serum  
monoamine oxidase – an index of  
hepatic fibrosis  
Bewertung der Aktivitätsbestim-  
mung der Monoaminoxidase im  
Serum – ein Parameter der Leber-  
fibrose 921

Gressner, A. M., Köster-Eiserfunke, W., Van de Leur, E. and Greiling, H. Metabolic and structural studies on serum and liver glycosaminoglycans in normal and liver-injured rats Metabolische und strukturelle Untersuchungen der Glykosaminoglykane im Serum, im Vergleich zur Leber, bei normalen und leber-geschädigten Ratten	Heimsch, E. und Dobler, T. Ein Qualitätskontrollsyste für Biotransformationenzyme in der Dünndarmmucosa A system for quality control of biotransformation enzymes in the mucosa of small intestine	775	Ikeda, M., Nanba, N., Hayakawa, S. and Ohmori, S. Colorimetric determination of glycine conjugates of bile acids Kolorimetrische Bestimmung von Glycin-Konjugaten von Gallensäuren	407
Gressner, A. M. und Walraff, P. Der Einsatz der Lasernephelometrie zur Bestimmung und rechnerunterstützten Auswertung der Fibronectinkonzentration in verschiedenen Körperflüssigkeiten The use of laser nephelometry for the determination and computer-assisted calculation of the fibronectin concentration in various body fluids	Heinz, F., Pilz, Renate, Reckel, Sylvia, Kalden, J. R. and Haacke, R. A new spectrophotometric method for the determination of 5'-nucleotidase Eine neue spektrophotometrische Methode zur Bestimmung von 5'-Nucleotidase	781	Jäckel, W., Heimes, J. und Herrmann, J. Der Einfluß des Funktionszustands der Schilddrüse auf den Anstieg des cyclischen AMP im Plasma nach Glukagoninjektion The effect of thyroid function on the increase of plasma cyclic AMP following glucagon injection	909
Groome, N. P. Superiority of ABTS over Trinder reagent as chromogen in highly sensitive peroxidase assays for enzyme linked immunoabsorbent assay Überlegenheit von ABTS über Trinder's Reagenz als Chromogen in hochempfindlichen Peroxidase-Bestimmungen für „Enzyme Linked Immunoabsorbent Assay“	van Helden, W. C. H., van der Slik, W., Persijn, J.-P. and Souverijn, J. H. M. Automated method for the determination of 5'-nucleotidase in serum by continuous flow analysis Automatisches Verfahren zur Ermittlung der 5'-Nucleotidase-Aktivität im Serum mit kontinuierlicher Durchflußanalyse	333	Jüppner, H., Mohr, H. and Hesch, R.-D. Adsorption of parathyroid pitfall for solid phase assays using radio-labelled antibodies? Adsorption von Parathyroid: Werden dadurch Solid-Phase-Assays in Frage gestellt?	585
Gundlach, G. und Mühlhausen, B. Untersuchungen zur Kupplung des 1-Naphthols mit Fastred-TR Untersuchungen zur Optimierung einer kontinuierlichen Bestimmung des sauren Phosphatase, I. Mitteilung Coupling of 1-naphthol with fast-red-TR Studies on the optimization of a continuous determination of acid phosphatase, I.	Hinghofer-Szalkay, H. und Wurm, H. Der Einfluß von Hämolyse auf Dichtemessungen an Kapilarblutplasma mittels der Biegeschwingermethode The influence of haemolysis on capillary blood plasma density measurements using the mechanical oscillator technique	615	Kälberg, M. and Tobiasson, P. Determination of cholic and cheno-deoxycholic acid in serum: Evaluation of two commercial radioimmunoassay methods Bestimmung von Cholsäure und Chenodesoxycholsäure im Serum: Bewertung zweier käuflicher Radioimmunassay-Methoden	491
Hajdu, P., Uihlein, M. and Damm, D. Quantitative determination of clobazam in serum and urine by gas chromatography and fluorometry Bestimmung von Clobazam in Serum und Urin mittels Gaschromatographie, Dünnschichtchromatographie und Fluorometrie	Hoffmann, G. E., Blum, K. and Weiss, L. Overestimation of glucose in uranyl acetate-treated samples: Modification of the deproteinization method Überhöhte Glucosewerte in Uranylacetat-behandelten Proben: Modifikation der Enteiweißungsmethode	129	Kahn, S. N., Shortman, R. C., Khan, R. A. and Thompson, E. J. Effect of sample preparation on cerebrospinal fluid protein patterns in polyacrylamide gels Effekt der Probenvorbereitung auf das Proteinmuster von Liquor in Polyacrylamidgelen	23
Haeckel, R. Simplified determinations of the "true" creatinine concentration in serum and urine Vereinfachte Verfahren zur Bestimmung der „wahren“ Kreatinin-Konzentration	Honecker, H., Coper, H., Fähndrich, Christa and Rommelspacher, H. Identification of tetrahydronorharmane (tetrahydro- $\beta$ -carboline) in human blood platelets Nachweis von Tetrahydronorharman (Tetrahydro- $\beta$ -carbolin) in menschlichen Thrombocyten	133	Kamarýt, J. and Matýšek $\beta$ -Glucuronidase activity in amniotic fluid Die Aktivität der $\beta$ -Glucuronidase im Fruchtwasser	611
Hansert, E. and Stamm, D. Determination of assigned values in control specimens for internal accuracy control and for inter-laboratory surveys. Evaluation of 200 different lots with identical experimental design: Experiences and conclusions Sollwert-Ermittlung in Kontrollproben für die laborinterne Richtigkeitskontrolle und für Ringversuche: Erfahrungen an 200 Chargen mit derselben Versuchsanordnung	Hubsch, G., Houot, O. and Henry, J. Influence of turbidity on photometric assays: A blank sample must always be used Einfluß der Trübung auf photometrische Bestimmungen: Muß jeweils ein Proben-Leerwert benutzt werden?	149	Kaulhausen, H., Rohner, H. G., Siedek, M., Lafosse, M. und Breuer, H. Bindungskapazität von sexualhormon- und corticosteroid-bindendem Globulin im Serum bei Männern mit Lebercirrhose Binding capacity of sex hormone binding globulin and corticosteroid binding globulin in serum of male patients with liver cirrhosis	137
	Ideo, G., Tempini, Silvana, Bellobuono, A., Bellati, G. and Ronchi, G. Biochemical and histochemical estimations of liver $\gamma$ -glutamyltransferase activity in ethanol-fed rats Biochemische und histochemische Untersuchung der Aktivität von $\gamma$ -Glutamyltransferase in der Leber Ethanolgefütterter Ratten	237	Kleesiek, K., Czernik, A. und Eberhard, A. Klinisch-chemische Diagnostik depressiver Syndrome mit Hilfe eines neuroendokrinen Funktionstestes Clinical chemical diagnosis of affective diseases by means of a neuroendocrine function test	867
			Kleine, T. O. Liquordiagnostik: Untersuchungen mit Schnelldiagnostica. Untersuchungen zur Adsorption von Proteinen in Glas- und Kunststoffröhrchen Diagnosis of cerebrospinal fluid: The use of semiquantitative rapid tests. Investigation of the adsorbance of proteins to glass and plastic tubes	7

Kleine, T. O. and Merten, B. Rapid manual immunoturbidimetric and immunoephelometric assays of prealbumin, albumin, IgG, IgA and IgM in cerebrospinal fluid	Lang, C., Gyr, K., Krahenmann, J. A. and Arenz, F. The oral pancreatic function test with N-benzoyl-L-tyrosyl-p-aminobenzoic acid: acute toxicity and effects of renal function on this test	Moser, M., Hinghofer-Szalkay, H., Kenner, Th. und Holzer, H. Die Bestimmung des kolloidosmotischen Drucks aus der Plasmadichte mittels der Biegeschwingermethode
Schnelle manuell-immunoturbidimetrische und immunonephelometrische Tests für Präalbumin, Albumin, IgG, IgA, und IgM im Liquor cerebrospinalis	Der orale Pankreas-Funktions-Test mittels N-Benzoyl-L-tyrosyl-p-aminobenzoësäure: Akute Toxizität und Beeinflussung durch die Nierenfunktion	Measurement of the colloid osmotic pressure from plasma density by means of the mechanical oscillator technique
245	551	233
Knoll, E., Wisser, H. und Rautenstrauch, H. Vergleichende Untersuchung zur diagnostischen Wertigkeit von Diskelektrophorese der Urinproteine und N-Acetylglucosaminidaseausscheidung zur Erkennung von tubulären Nierenschädigungen bei chronischer Polyarthritis Comparative study of the diagnostic value of disc electrophoresis of urinary proteins and measurement of the excretion of N-acetylglucosaminidase for the detection of renal tubule damage in chronic polyarthritis	Lanser, A., Blijenberg, B. G., Wallenburg, H. X. S. and Leijnse, B. Evaluation of an enzyme-immunoassay for the determination of total serum estrogens in pregnancy Evaluation eines Enzymimmunoassay zur Bestimmung der Gesamt-Östogene im Serum während der Schwangerschaft	Müller-Matthesius, R. und Opper, C. Der Einfluß von Meßzeit und Reaktionsmilieu bei kinetischen immunturbidimetrischen Proteinbestimmungen
53	327	Influence of measurement time and reaction medium on kinetic immunoturbidimetric protein determination
Koch, C.-D., Arnst, E. und Rommel, K. Harnstoff, Kreatinin, Harnstoff- und Kreatinin-Clearance: Untersuchungen an 25 gesunden Probanden über ein Jahr Urea and creatinine levels and clearances: Observations in 25 healthy subjects for one year	Lauber, K. Bestimmung von Eisen im Serum: Methodenvergleich Teepol/Dithionit/Bathophenanthrolin gegen Guanidin/Ascorbinsäure/Ferrozin Determination of serum iron; a comparison of two methods: Teepol/dithionite/bathophenanthroline versus guanidine/ascorbic acid/Ferrozine	Naus, A. J., Borst, A. and Kuppens, P. S. The use of patient data for the calculation of reference values for some haematological parameters Die Verwendung von Patientendaten für die Ermittlung von Referenzwerten für einige hämatologische Kenngrößen
423	147	501
Koch, G., Johansson, U. and Arvidsson, E. Radioenzymatic determination of epinephrine, norepinephrine and dopamine in 0.1 ml plasma samples Plasma catecholamine response to submaximal and near maximal exercise Radioenzymatische Bestimmung von Adrenalin, Noradrenalin und Dopamin in 0.1 ml Plasma-Proben. Plasma-Katecholaminkonzentrationen und Plasma-Renin-Aktivität in Ruhe und bei submaximaler und nahezu maximaler Belastung	Lindwall, L., Molin, L. and Bergdahl, B. An evaluation method providing confidence intervals applied to radioimmunoassay Anwendung einer Auswertungsmethode zur Gewinnung von Vertrauensbereichen auf Radioimmunoassays	Newman, R. A., Fricke, U., Klein, P. J., Uhlenbruck, G. and De Vries, A. L. Studies on the fate of defined asialoglycoproteins in the circulation of the mouse Untersuchungen über das Schicksal definierter Asialoglykoproteine im Kreislauf der Maus
367	879	621
Külpmann, W. R. Eine gaschromatographische Methode zur Bestimmung von Carbamazepin, Phenobarbital, Phenytoin und Primidon im gleichen Serumextrakt A gas-chromatographic method for the determination of carbamazepine, phenobarbital, phenytoin and primidone in the same extract of serum	Mann, K., Göring, W., Lipp, W., Keipert, B., Karl, H. J., Geiger, R. and Fink, E. Radioimmunoassay of human urinary kallikrein. Determination of human urinary kallikrein, II Radioimmunoassay für Kallikrein im Harn des Menschen. Bestimmung von menschlichem Harnkallikrein, II	Nocke-Finck, Lieselotte, Breuer, H. und Reimers, D. Wirkung von Rifampicin und Streptomycin auf die Konzentrationen von Testosteron und Cortisol im Blut von Männern Effects of rifampicin and streptomycin on the concentrations of testosterone and cortisol in the blood of men
277	395	897
Külpmann, W. R. Eine gaschromatographische Methode zur gleichzeitigen Bestimmung von E ethosuximid und Valproinat im Serum A gaschromatographic method for the simultaneous determination of ethosuximide and valproate in serum	Milano, G., Schneider, M., Cambon, P., Bouglil, J. L., Barbe, J., Renee, N. and Lalanne, C. M. An improved method for routine analysis of polyamines in biological fluids with a conventional amino acid analyzer Verbesserte Methode zur Routine-Bestimmung von Polyaminen in biologischen Flüssigkeiten mit einem konventionellen Amino-säure-Analysator	Oellerich, M., Engelhardt, P., Schaadt, M. and Diehl, V. Determination of methotrexate in serum by a rapid, fully mechanized enzyme immunoassay (EMIT) Bestimmung von Methotrexat im Serum mit einem rasch durchführbaren, vollmechanisierten Enzymimmunoassay (EMIT)
277	157	169
Külpmann, W. R. Eine gaschromatographische Methode zur gleichzeitigen Bestimmung von E ethosuximid und Valproinat im Serum A gaschromatographic method for the simultaneous determination of ethosuximide and valproate in serum	Mordasini, R. C. and Riesen, W. F. Electroimmunoassay and radioimmunoassay for the quantitation of high density apolipoproteins A-I and A-II Vergleich zwischen Elektroimmunoassay und Radioimmunoassay zur Bestimmung der Apolipoproteine A-I und A-II	Oldendorp, J. und Reinauer, H. Der Einfluß von Insulin auf den Stoffwechsel von isolierten Glomerula der Ratte The effect of insulin on the metabolism of isolated rat glomeruli
339	917	901
		Olek, K., Uhlhass, S. und Wardenbach, P. Quantitative Bestimmung der o-Phtaldialdehyd-Derivate von Noradrenalin, Dopamin und Normetanephrin aus dem Urin mit einem Aminosäureanalysator Quantitative determination of o-phthaldehyde derivatives of noradrenaline, dopamine and normetadrenaline in urine with an amino acid analyzer
		567

Paar, D. and Maruhn, D. Spectrometric determination of urokinase in urine after gel filtration, using the chromogenic substrate S-2444 Spektrometrische Bestimmung von Urokinase mit dem chromogenen Substrat S-2444 im Harn nach Gel-filtration	557	Schmitz-Huebner, U., Nachbar, J. and Asbeck, F. The determination of antithrombin III, $\alpha_2$ -macroglobulin and $\alpha_2$ -antiplasmin in plasma by laser nephelometry Die Bestimmung von Antithrombin III, $\alpha_2$ -Makroglobulin und $\alpha_2$ -Antiplasmin im Plasma mittels Laser-nephelometrie	221	Tel, R. M. and Berends, G. T. Incomplete hydrolysis of cholestryl esters during the enzymatic cholesterol determination as evidenced by aqueous cholestryl ester solutions: Comparison of six enzymatic procedures with the <i>Liebermann-Burchard</i> method Unvollständige Hydrolyse von Cholesterinestern bei der enzymatischen Cholesterinbestimmung in wässrigen Lösungen von Cholesterinestern: Vergleich von sechs enzymatischen Verfahren mit der <i>Liebermann-Burchard</i> -Methode	595		
Pott, G., Meyering, M., Voss, B., Karges, H. E. and Sieber, A. Rapid determination of fibronectin by laser nephelometry. Fibronectin concentrations in plasma in human diseases, I Schnelle Bestimmung von Fibronectin durch Lasernephelometrie; Fibronectinkonzentrationen im Plasma bei Erkrankungen des Menschen, 1. Mitteilung	893	Schön, F., Hackenberg, K., Paar, D. und Reinwein, D. Die Bestimmung von Progesteron im Harn mit der kompetitiven Protein-bindungsmethode Determination of progesterone in urine by a competitive protein binding method	355	van Thiel, Dagmar, Marschner, I., Wood, W. G., Habermann, J. und Scriba, P. C. Methodische Untersuchungen und Vergleich von 7 kommerziellen Kits zur radioimmunologischen Thyrotropin-Bestimmung aus dem getrockneten Blutstropfen Development of a radioimmunoassay for thyrotropin (TSH) in dried blood spots together with a comparison of 7 commercial kits	807		
Puukka, M., Puukka, Raija and Reunanen, M. A rapid and simple gas-liquid chromatographic determination of valproic acid ( $\alpha$ -propylvaleric acid) in serum Schnelle und einfache gaschromatographische Bestimmung von Valproinsäure ( $\alpha$ -Propylvaleriansäure) im Serum	497	Scholer, A., Pianezzi, A., von Rickenbach, R. und Vonderschmitt, D. J. Verbesserte Methode zur Bestimmung der Harnsäure auf dem SMAC® An improved method for the determination of uric acid on a SMAC® analyzer	363	Tomcsányi, A., Fekete, B., Schweiger, O. und Kertész, L. Unterschiede für Immunglobulin E im Serum, bestimmt mit kompetitiven bzw. Papier-Radioimmunosorbenttest: Beseitigung durch Vorbehandlung mit Polyethylenglycol Differences in the levels of serum immunoglobulin E determined by the competitive radio-immuno-sorbent and the paper-radio-immuno-sorbent methods: Removal of these differences by pre-treatment of sera with polyethylene glycol	145		
Sambasiva, J. and Rao, V. H. Urinary excretion of collagen metabolites in protein malnutrition Ausscheidung von Kollagen-Metaboliten im Harn bei Protein-Mangelernährung	287	Schramel, P., Wolf, A. und Klose, B.-J. Direktbestimmung von Aluminium in Serumproben mittels Inductively Coupled Plasma (ICP)-Emissionsspektralanalyse Determination of aluminium in blood-serum by Inductively Coupled Plasma (ICP)-Spectroscopy	591	Schwarz, S. Radioimmunoassay evaluation and quality control by use of a simple computer program for a low cost desk top calculator Auswertung und Qualitätskontrolle von Radioimmunoassays mit einem einfachen Programm für einen kostengünstigen Tischrechner	215	Unger, Th. and Struck, H. Hydrolysis of some cystine aminopeptidase and aminopeptidase substrates by human placental enzymes after isoelectric focusing Hydrolyse einiger Substrate für Cystinaminopeptidase und Aminopeptidase durch Enzyme aus der Placenta vom Menschen nach isoelektrischer Fokussierung	631
Reiber, H. Eine schnelle und einfache nephelometrische Bestimmungsmethode für Protein im Liquor cerebro-spinalis A rapid and simple nephelometric assay for total protein in cerebro-spinal fluid	123	Schwörer, Ina und Kaul, A. Tierexperimentelle Untersuchungen über die Elimination von inkorporiertem Blei unter biologischen Stresssituationen und Applikation von Na <sub>2</sub> Ca-EDTA Elimination of lead from rats under biological stress, and application of Na <sub>2</sub> Ca-EDTA	163	Staab, H. J., Anderer, F. A., Stumpf, E. und Fischer R. Die prognostische Bedeutung von zirkulierenden Immunkomplexen des Carcinoembryonalen Antigens (CEA) bei Patienten mit Adenokarzinomen des Gastrointestinaltraktes Prognostic value of circulating immune complexes of carcinoembryonic antigen (CEA) in patients with adenocarcinoma of the gastrointestinal tract	175	Verheesen, P. E., Brombacher, P. J., Cremer, H. M. H. G. und de Boer, R. Determination of low levels of bupivacaine (Marcaine®) in plasma during epidural analgesia Bestimmung von niedrigen Bupivacain (Marcain®)-Konzentrationen im Plasma während Epiduralanalgesie	351
van Rijn, H. J. M., Boer, P. and Klosse, J. A. The determination of acid phosphatase of prostatic origin with the automatic clinical analyzer (ACA, DuPont) Die Bestimmung der sauren Prostata-Phosphatase mit dem Automatic Clinical Analyzer (ACA, DuPont)	627	Staiger, Ch., de Vries, J. and Walter, E. A rapid and sensitive method for the determination of phenazone (antipyrine®) using gas-liquid-chromatography with nitrogen detection Eine einfache und empfindliche Methode für die Bestimmung von Phenazon (Antipyrin®) mittels Gas-Chromatographie mit Stickstoffdetektor	817	Wilhelm, A., Berge, P.-G. und Schriewer, H. Zur Aktivitätsbestimmung der Sialyltransferase im menschlichen Serum Analysis of sialyltransferase activity in human serum	271		
Schena, F. P., Manno, C., D'Agostino, R., Bruno, G., Cramarossa, F. and Bonomo, L. A kinetic test for the assay of the C1-esterase inhibitor Kinetischer Test für die Bestimmung des C1-Esterase-Inhibitors	17	Wisser, H., Knoll, E. und Schmid, G. Tageszeitliche Änderungen erhöhter Aktivitäten der sauren Phosphatase beim Prostatacarcinom Diurnal variation of the elevated acid phosphatase activity in cases of prostate carcinoma	297				
Schlebusch, H., Sorger, M., Munz, E., Kessler, A.-Ch. und Zwez, W. Glucosebestimmung in hämolysierten Blutproben Determination of glucose in hemolysed blood samples	885						

Wood, W. G., Bauer, M., Horn, K., Marschner, I., van Thiel, Dagmar, Wachter, Christine and Scriba, P. C. A second external quality control survey (EQCS) for serum triiodothyronine ( $T_3$ ) and thyroxine ( $T_4$ ) assays using the "Munich model" Ein zweiter Ringversuch für Triiodthyronin ( $T_3$ ) und Thyroxin ( $T_4$ ) im Serum	511	Wood, W. G., Butz, Rosemarie, Casaretto, Monika, Hehrmann, R., Jüppner, H., Marschner, I., Wachter, Christine, Zahn, H. and Hesch, R. D. Preliminary results on the use of an antiserum to human parathyroid in a homologous radioimmunoassay Erste Ergebnisse mit einem Antiserum gegen Parathyroid vom Menschen für einen homologen Radioimmunassay	789	Zazgornik, J., Kopsa, H., Schmidt, P., Pils, P., Balcke, P., Hysek, H. und Deutsch, E. Konzentration von $\alpha_1$ -Antitrypsin im Serum dialysierter und nierentransplantierter Patienten $\alpha_1$ -Antitrypsin level in serum of dialyzed and renal transplant patients	241
Wood, W. G., Bauer, M. Marschner, I. and Scriba, P. C. An external quality control survey (EQCS) for serum cortisol Externer Ringversuch für Cortisol im Serum	183	Zaugg, H. Thromboplastic activity of human arterial walls and its interaction with the plasmatic coagulation system Thromboplastin-Aktivität in humanen arteriellen Gefäßwänden und ihre Wirkung auf das plasmatische Gerinnungssystem	545	Zoppi, F., Peracino, A., Marcovina, S. and Fenili, D. Development and improvement of a commercial uric acid enzymatic determination kit on a centrifugal fast analyzer Entwicklung und Verbesserung eines kommerziellen Testbestecks zur enzymatischen Harnsäurebestimmung an einem Zentrifugalanalysator	59

### Short communications/Kurzmitteilungen

Dick, W. Glucosebestimmung in Venen- und Kapillarblut mit der Glucose-dehydrogenase-Methode in einer neuen Hämolyseflüssigkeit am Auto Analyzer II A new hemolysing agent for the determination of blood glucose (venous and capillary) by the glucose dehydrogenase method in the Autoanalyzer II	255	Rastogi, S. C., Clausen, J., Melchior, J. C. and Dyggve, H. V. Abnormal serum $\alpha_2$ -macroglobulin in Dyggve-Melchior-Clausen syndrome Abnormales $\alpha_2$ -Makroglobulin im Serum bei Dyggve-Melchior-Clausen-Syndrom	67	Sutor, D. June and Wilkie, Lynette I. Measurement of free palmitic acid in human bile Bestimmung der freien Palmitinsäure in der Galle von Menschen	193
Nagel, Marianne and Schümann, H.-J. A sensitive method for determination of conjugated catecholamines in blood plasma Eine empfindliche Methode zur Bestimmung der konjugierten Katecholamine im Plasma	431	van der Sluijs Veer, G. Referenzwerte für die Lactatdehydrogenase im Serum im Kindesalter und in der Pubertät Reference values for lactate dehydrogenase in the serum during childhood and puberty	305	Uldall, A. Stable reagents and a suitable routine procedure for the cystinuria test Stabile Reagenzien und ein geeignetes Verfahren für den Test auf Cystinurie	303

### Guest Editorial

Whitehead, T. P. Future strategies in clinical chemistry Zukünftige Strategien in der klinischen Chemie	453
---	-----

### Editorial

Uhlenbruck, G. Lektine: Einführung, Entwicklungen und Aussichten Lectins: Introduction, trends and perspectives	373
---	-----

### ECCLS Communication/ECCLS-Kommunikation

ECCLS European Committee for Clinical Laboratory Standards Revised Byelaws Revidierte Satzung (in Englisch)	637
--	-----

### Abstracts/Autorenreferate

2nd Symposium on Lectine, December 14, 1979, Cologne 2. Lektin-Symposium am 14. Dezember 1979, Köln	375	Joint Congress of the Scandinavian and German Societies of Clinical Chemistry Gemeinsamer Kongreß der Skandinavischen und Deutschen Gesellschaften für Klinische Chemie	647
--	-----	--	-----

**Workshop Conferences of the German Society for Clinical Chemistry**  
**Kleinkonferenzen der Deutschen Gesellschaft für Klinische Chemie**

Haeckel, R. Statistische Probleme beim Vergleich von klinisch-chemischen Analysen-Verfahren Bericht über die Kleinkonferenz der Deutschen Gesellschaft für Klinische Chemie am 28. und 29. Juni 1979 in Hannover Statistical problems in the comparison of methods of clinical chemical analysis Report on the workshop conference of the German Society for Clinical Chemistry held on June 28 and 29, 1979 in Hannover	Rao, G. S. and Breuer, H. UDP-Glucuronyltransferase Report of the workshop conference of the German Society for Clinical Chemistry held on September 27–28, 1977 in Schloß Auel UDP-Glucuronyltransferase Bericht über die Kleinkonferenz der Deutschen Gesellschaft für Klinische Chemie am 27. und 28. September 1977 in Schloß Auel	307	Wagener, C. und Breuer, H. Diagnostische Bedeutung von Tumormarkern in der Klinischen Chemie Bericht über die Kleinkonferenz der Deutschen Gesellschaft für Klinische Chemie vom 15.–17. November 1979 in Schloß Auel Diagnostic significance of tumour markers in clinical chemistry Report on the workshop conference of the German Society for Clinical Chemistry, held on November 15–17, 1979 in Schloß Auel	821
		433		

**IFCC Sections**

IFCC Section (1979) no. 3 Büttner, J., Borth, R., Boutwell, J. H. Broughton, P. M. G. and Bowyer, R. C. Approved recommendation (1978) on quality control in clinical chemistry Part 1: General principles and terminology 69 Part 2: Assessment of analytical methods for routine use 78	IFCC Section (1980) no. 1 Porter, C. J. and Curnow, D. H. (IFCC 1980/1) Provisional recommendation (1979) on a scheme for a two year post- graduate course in clinical chemistry 439	IFCC 1980/5 IFCC Document with a view to a Recommendation: Siggaard-Andersen, O., Durst, R. A. and Maas, A. H. J. Physico-chemical quantities and units in clinical chemistry with special emphasis on activities and acidity coefficients 829
Bowers, G. N. Jr., Bergmeyer, H. U. Hørder, M. and Moss, D. W. IFCC Methods for the measurement of catalytic concentration of enzymes Part 1: General considerations concerning the determination of the catalytic concentration of an enzyme in the blood serum or plasma of man 89	Haeckel, R., Collombel, Ch., Geary, T. D., Mitchell, F. L., Nadeau, R. G. and Okuda, K. (IFCC 1980/2) Provisional guidelines (1979) for listing specifications of spectro- meters in clinical chemistry 445	IFCC 1980/6 Büttner, J., Borth, R., Boutwell, J. H., Broughton, P. M. G. and Bowyer, R. C. Approved recommendation (1979) on quality control in clinical chemistry, Part 3. Calibration and control materials 855
Hobbs, J. R., Harboe, N., Alper, C., Johansson, B. G. and Peters, Th. Provisional recommendation (1978) on specification for human serum albumin standard 96	IFCC 1980/3 Bergmeyer, H. U. and Hørder, M. IFCC Methods for the measurement of catalytic concentration of enzymes, Part 3. IFCC method for alanine aminotransferase 521	IFCC 1980/7 Büttner, J., Borth, R., Boutwell, J. H., Broughton, P. M. and Bowyer, R. C. Approved recommendation (1979) on quality control in clinical chem- istry, Part 6. Quality requirements from the point of view of health care 861
Hobbs, J. R., Harboe, N., Alper, C. and Johansson, B. G. The human serum standard IFCC 74/1 99	IFCC 1980/4 Büttner, J., Borth, R., Broughton, P. M. G. and Bowyer, R. C. Quality control in clinical chemistry, Part 4. Internal quality control 535	IFCC 1980/8 IFCC Document with a view to a Re- commendation Okuda, K. Provisional guidelines (1980) for listing specifications of clinical chemical analysers 947

**Honours/Ehrungen**

Honorarprofessur für W. Bürgi (Aarau) Honorary Professorship for W. Bürgi (Aarau)	437	Verleihung der Scherer-Medaille an Hansjürgen Staudinger Presentation of Scherer Medal to Hansjürgen Staudinger	929
Senior Award der National Academy of Clinical Biochemistry für J. Büttner Senior Award of the National Academy of Clinical Biochem- istry for J. Büttner	635	Acknowledgement Danksagung	954

## Errata

In the section Terminology (p. 75) of IFCC Section (1979) no 3, Approved Recommendation (1978) on Quality Control in Clinical Chemistry, Part I – General Principles and Terminology, this J. 18, 69–77 (1980), the paragraph *Method, definitive* should read:  
**Method, definitive.** A method, which after exhaustive investigation is found to have no known source of inaccuracy or ambiguity.

In the paper by Heinemann, G., Löschenkohl, K. and Schievelbein, H., this J., 17, 647–651 (1979) the last sentence of the paragraph “Preparation of HbCO-containing blood samples” should read: “However, it should be borne in mind that it is difficult to obtain nominal values by mixing parts of O<sub>2</sub>- and CO-saturated blood, because HbO<sub>2</sub> is changed to HbCO by physically dissolved carbon monoxide (2).”

In the abstract 4.15 by Blossey, H.-Ch. et al., this J. 18, 729–730 (1980) the heading of the third block of table 1 should read:  
“Cold” MPA after  
[<sup>3</sup>H]DES [<sup>3</sup>H]R 5020 [<sup>3</sup>H]R 1881

## Book reviews/Buchbesprechungen

Adrian, R. H. et al. Reviews of Physiology, Biochemistry and Pharmacology	594	Dargel, R. und Graf, W. Lehrprogramme der funktionellen Biochemie, Bd. 3, 4 und 5	450	Marx, R. und Thies, H. A. Niere, Blutgerinnung und Hämostase. XXI. Hamburger Symposium über Blutgerinnung	450
Arber, W. et al. Current Topics in Microbiology and Immunology, vol. 78	104	Doss, M. Diagnosis and Therapy of Porphyrias and Lead Intoxication	104	Matthies, D. Biochemische Formelsammlung	196
Auer, L. M. The Pathogenesis of Hypertensive Encephalopathy	542	Dünges, W. Prächromatographische Mikromethoden	761	Natelson, S., Pesce, A. J. and Dietz, A. A. Clinical Immunochemistry. Chemical and Cellular Bases and Applications in Disease	543
Bessis, M., Shohet, S. B. and Mohandas, N. Red Cell Rheology	196	Ebel, S. Synthetische Arzneimittel	451	Pungor, E. Coulometric Analysis	761
Beyermann, K. Chemie für Mediziner, 4. Aufl.	196	Eisenberg, S. Progress in Biochemical Pharmacology, vol. 15. Lipoprotein Metabolism	195	Schwieck, H. Handbuch der inneren Medizin. II/6 Blut und Blut und Blutkrankheiten, 5. Aufl.	594
Blauer, G. und Sund, H. Transport by Proteins	544	Fishbein, L. Potential Industrial Carcinogens and Mutagens	542	Short, R. V. British Medical Bulletin, vol. 35, No. 2. Reproduction	761
Bloemendaal, H. Journal “Molecular Biology Reports”. Special EMBO Issue on RNA and RNP. Vol. 5, No. 1/2	543	Fründter, H. Effects and Metabolism of Insulin and Cyclic Nucleotides	761	Svejgaard, A. et al. Monographs in Human Genetics. The HLA System – An Introductory Survey, 2nd Edition	543
Breddin, H. K. Prostaglandine und Plättchenfunktion – Methoden zur Erfassung einer gesteigerten Plättchenfunktion. Chromogene Substrate im Gerinnungslaboratorium	195	Haschen, R. und Scheuch, D. Abriss der Pathologischen Biochemie	542	Thielmann, K., Himmler, V., Köhler, W. und Stein, J. Wörterbuch der Biochemie. Deutsch–Englisch–Französisch–Russisch–Spanisch	451
Brock, T. D. Thermophilic Microorganisms and Life at High Temperatures	452	Kelley, W. N. and Weiner, I. M. Uric Acid. Handbook of Experimental Pharmacology, vol. 51	594	Vahlensieck, W. und Gasser, G. Pathogenese und Klinik der Harnsteine VI	451
Brück, K. et al. Examens-Fragen Physiologie, 4. Aufl.	452	Labhart, A. Klinik der inneren Sekretion, 3. Aufl.	544	Young, Donald S., Uddin, D., Nipper, H., Hicks, J. and King, J. Stanton Clinician and Chemist, The Relationship of the Laboratory to the Physician, Proceedings of the First Arnold O. Beckmann Conference in Clinical Chemistry	195
Daldrup, T. Postmortaler Eiweißzerfall in menschlichen Organen. Reaktionen und zeitliche Zusammenhänge	543	Lindauer, M., Nydegger, U. E., Matern, S. und Gerok, W. Reviews of Physiology, Biochemistry and Pharmacology, vol. 85	544	Allinger, N. L., Cava, M. P., de Jongh, D. C., Johnson, C. R., Lebel, N. A. und Stevens, C. L. Organische Chemie. Übersetzt und bearbeitet von H. Gnichtel, F. Klages, G. Koßmehl, H. Kurreck und G. Mancke	952

## Buchhinweise/Book indications

Adrian, R. H., Helmreich, E., Holzer, H., Jung, R., Krayer, O., Linden, R. J., Lyinen, F., Miescher, P. A., Piper, J., Rasmussen, H., Renold, A. E., Trendelenburg, U., Ullrich, K., Vogt, W. and Weber, A. – Eds. Reviews of Physiology, Biochemistry and Pharmacology, vol. 87	953	Ahnefeld, F. W., Bergmann, H., Burri, C., Dick, W., Halmágyi, M., Hossli, G. und Rügheimer, E. – Hrsg. Klinische Anästhesiologie und Intensivtherapie Band 21. Therapie mit Blutkomponenten	952
---	-----	--	-----

Batschelet, E. Einführung in die Mathematik für Biologen. Übersetzt aus dem Englischen	953	Clemmesen, J., Conning, D. M., Henschler, D. and Oesch, F. – Eds. Archives of Toxicology/Supplement 3. Quantitative Aspects of Risk Assessment in Chemical Carcinogenesis. Symposium held in Rome, Italy, April 3–6, 1979	953	Norpoth, K. H. and Garner, R. C. – Eds. Short-Term Mutagenicity Test. Systems for Detecting Carcinogens	953
Brandenburg, D. and Wollmer, A. – Eds. Insulin. Chemistry, Structure and Function of Insulin and Related Hormones. Proceedings of the Second International Insulin Symposium Aachen, Germany, September 4–7, 1979	952	Kleine, T. O. – Hrsg. Neue Labormethoden für die Liquordiagnostik	952	Pette, D. – Ed. Plasticity of Muscle, Proceedings of a Symposium held at the University of Konstanz, September 23–28, 1979	952
Buddecke, E. Grundriß der Biochemie. Für Studierende der Medizin, Zahnmedizin und Naturwissenschaften	952	Mross, K. B. Zellelektrophorese in der Tumordiagnostik: EM-Test. Grundlagen, Material, Methoden, Ergebnisse	953	Rothmund, M. – Hrsg. Hyperparathyreoidismus	952
Buddrus, J. Grundlagen der Organischen Chemie	952	Noack, S. Statistische Auswertung von Meß- und Versuchsdaten mit Taschenrechner und Tischcomputer. Anleitungen und Beispiele aus dem Laborbereich	953	Sauer, H. W. Entwicklungsbiologie. Ansätze zu einer Synthese. Hochschultext	953
				von Voss, H. und Göbel, U. – Hrsg. Praktische Anwendung der Thrombozytenfunktionsdiagnostik. 2. Symposium „Gerinnungsstörungen im Kindesalter“ Schloß Heiligenhofen, Lindlar, 1979	953

## GENERAL INDEX/GESAMTREGISTER

### Authors' Index/Autorenregister

Aaseth, J. s. Alexander, J.	713	Bald, E.	728	Berg, A. s. Köttgen, E.	752	Blum, K. s. Hoffmann, G. E.	129
Abel-Telkes, B. s. Endler, A. T.	753	Barbe, J. s. Milano, G.	157	Bergdahl, B. s. Lindwall, L.	879	Bock, K. D. s. Maruhn, D.	686
Abuknesha, R. A.	662	Bartmann, P.	1	Berge, P.-G. s. Wilhelm, A.	271	Boer, P. s. Rijn, H. J. M. van	627
Adlercreutz, H.	661, 695	Bartsch, H.-H. s. Blossey,	H.-Ch. 729	Bergmeyer, H. U.	521	Boer, R. de s. Verheesen, P. E.	351
Adolf, P. K. s. Leitz, V. M.	718	Bartsch, W.	730	Bergström, K.	659	Bohner, J. s. Stein, W.	677
Afting, E. G. s. Roethig, H.-J.	756	Bauer, Ch.	670	Bergström, K. s. Egberg, N.	709	Bojar, H.	725
Agarwal, D. P. s. Meier-Tack-		Bauer, H. J. s. Schipper, H. I.	717	Bernhardt, W. s. Kauerz, U.	745	Bojar, H. s. Staib, W.	726
mann, Doris	699	Bauer, K.	677	Bernhardt, W. s. Roethig, H.-J.	756	Bojar, H. s. Stuhldreier, B.	724
Agarwal, D. P. s. Strohmeyer,		Bauer, M. s. Wood, W. G.	183, 511	Bethge, N.	734	Bombelli, F. s. Agostoni, A.	771
T.	672	Baumann, K. s. Kochmann, G.	685	Bianchi, M. s. Agostoni, A.	771	Bomhard, E. s. Maruhn, D.	686
D'Agostino, R. s. Schena,		Baumgarten, S. s. Schönes-		Birath, K.	680	Bonomo, L. s. Schena, F. P.	17
F. P.	17	höfer, M.	731	Birath, K. s. Skude, G.	680	Boos, K. S. s. Schlimme, E.	696
Agostoni, A.	771	Bayer, P. M.	678	Biro, G. s. Leicht, E.	739	Borner, K.	719
Aigner, P.	690	Beck, K. s. Staib, W.	726	Bjømaes, H. s. Nordby, H. K.	668	Borst, A. s. Naus, A. J.	621
Alexander, J.	713	Beckermann, W. J. s. Stroh-		Blaabjerg, O. s. Hyltoft		Borth, R. s. Büttner, J.	
Anderer, F. A. s. Staab,		meyer, T.	672	Petersen, P.	744	535, 855, 861	
H. J.	175	Behbehani, A. s. Langenbeck,	U.	Bleyl, H.	710	Bosak, J.	413
Arenz, F. s. Lang, C.	551	755		Bleyl, H. s. Hüting, J.	681	Boublil, J. L. s. Milano, G.	157
Arnst, E. s. Koch, C.-D.	423	Belfield, A. s. Pledger, D. R.	701	Blijenberg, B. G.	27	Boutwell, J. H. s. Büttner, J.	
Arvidsson, E. s. Koch, G.	367	Belkien, L. s. Jaster, H. J.	742	Blijenberg, B. G. s. Lanser, A.	327	855, 861	
Asbeck, F. s. Schmitz-Huebner,		Bell, P. A.	655	Blombäck, M. s. Wahlberg, R.	744	Bowyer, R. C. s. Büttner, J.	
U.	221	Bencze, K.	13	Benes, P.	117	535, 855, 861	
Asmuth, Ch. s. Fischer, J. H.	747	Bellobuono, A. s. Idéo, G.	237	Berends, G. T. s. Tel, R. M.	595	Brandislund, I. s. Klitgaard,	
Averdunk, R.	710	Beretta, L. s. Agostoni, A.	771	595	N. A.	720	
Baack, G.	726	Berg, A.	707	Berg, H. E.	679	Breidenbach, B. s. Tarkkanen,	
Bachmann, C.	293					P.	712
Backs, C. s. Weisweiler, P.						Brendel, W. s. Bartmann, P. I	
707							
Balcke, P. s. Zazgornik, J.							
241							

- Breuer, H. 659, 937  
 Breuer, H. s. Kaulhausen, H. 137  
 Breuer, H. s. Nocke-Finck, L. 897  
 Breuer, H. s. Rao, G. S. 307  
 Breuer, H. s. Wagener, C. 821  
 Brombacher, P. J. s. Verheesen, P. N. 351  
 Broughton, P. M. G. s. Büttner, J. 535, 855, 861  
 Bruchelt, G. 715  
 Bruckner, A. 275  
 Bruno, G. s. Schena, F. P. 17  
 Büttner, J. 535, 855, 861  
 Büttner, J. s. Riedel, H. 749  
 Buss, H. s. Oemar, B. S. 381  
 Butte, W. 740  
 Butz, R. s. Wood, W. G. 789  
 Cambon, P. s. Milano, G. 157  
 Casaretto, M. s. Wood, W. G. 789  
 Chmiel, J. 672  
 Clausen, J. s. Rastogi, S. C. 67  
 Collet-Cassard, D. s. Holy, H. W. 701  
 Collombel, Ch. s. Haeckel, R. 445  
 Colombo, J. P. s. Bachmann, C. 293  
 Coper, H. s. Honecker, H. 133  
 Cramarossa, F. s. Schena, F. P. 17  
 Cremer, P. s. Wieland, H. 749  
 Cremers, H. M. H. G. s. Verheesen, P. N. 351  
 Culmann, W. 671  
 Culmann, W. s. Dick, W. 709  
 Curnow, D. H. s. Porter, C. J. 439  
 Czernik, A. s. Kleesiek, K. 867  
 Dabek, J. 665  
 Dahlmann, N. 682  
 Damm, D. s. Hajdú, P. 209  
 Deeg, R. 49  
 Delogne-Desnoeck, J. s. Jungers, J. 734  
 Denicke, C. s. Dulce, H. J. 741  
 Deus, B. 692  
 Deus, B. s. Berg, A. 707  
 Deus, B. s. Blum, H. E. 679  
 Deutsch, E. s. Zazgornik, J. 241  
 Dick, W. 255, 798  
 Dick, W. s. Cullmann, W. 671  
 Dieckvoß, E. s. Harm, K. 694  
 Diederichs, F. 674  
 Diederichs, F. s. Friedel, R. 666  
 Diederichs, F. s. Mühlhaus, K. 674  
 Diehl, V. s. Oellerich, M. 169  
 Diel, F. s. Bethge, N. 734  
 Diener, U. 687  
 Diener, U. s. Ratge, D. 735  
 Dietel, M. 739  
 Dmowska, B. s. Sawicki, Z. 694  
 Dobler, T. s. Heimsch, E. 775  
 Dodson, P. M. 751  
 Dodson, P. s. Stocks, J. 753  
 Dörken, B. s. Ebert, W. 716  
 Dörner, K. 713  
 Dorda, W. s. Müller, M. M. 737  
 Dorn, G. s. Dietel, M. 739  
 Dorn-Quint, G. 664  
 Drosner, M. 750  
 Drost, H. s. Nagamura, Y. 672  
 Drygas, J. 751  
 Dubowitz, V. s. Moss, D. W. 675  
 Dukwicz, A. s. Sawicke, Z. 694  
 Dulce, H. J. 741  
 Durst, R. A. s. Siggaard-Andersen, O. 829  
 Dyggeve, H. V. s. Rastogi, S. C. 67  
 Eberhard, A. s. Kleesiek, K. 867  
 Eberl, H. 257  
 Ebert, W. 716  
 Egberg, N. 709  
 Egberg, N. s. Wahlberg, R. 744  
 Eggstein, M. s. Jakober, B. 708  
 Eggstein, M. s. Müller, P. H. 708  
 Ehlers, C. Th. s. Luthe, H. 693  
 Eijk, H. G. van 593  
 Endler, A. T. 753  
 Engelbrecht, S. s. Wenzel, H. R. 699  
 Engelhardt, P. s. Oellerich, M. 169  
 Ernst, M. 705  
 Ernst, M. s. Möller, H. 714  
 Exley, D. s. Abuknesha, R. A. 662  
 Fabricius, H. Å. 716  
 Fabricius, H. Å. s. Köttgen, E. 752  
 Fähndrich, C. s. Honecker, H. 133  
 Farrar, G. 376  
 Fekete, B. s. Tomcsányi, A. 145  
 Feldt-Rasmussen, U. s. Hyltoft Petersen, P. 744  
 Fenili, D. s. Zoppi, F. 59  
 Fenner, A. s. Dulce, H. J. 741  
 Fenner, A. s. Schönshöfer, M. 731  
 Fenninger, H. s. Gibitz, H. J. 721  
 Fenske, M. 687  
 Férand, G. 39  
 Fiederer, B. s. Moeller, H. 726  
 Fink, E. s. Mann, K. 395  
 Fink, P. C. 717  
 Fischer, J. H. 747  
 Fischer, R. s. Staab, H. J. 175  
 Fitzgerald, D. E. s. Leitz, V. M. 718  
 Fogh-Andersen, N. 675  
 Frey, H. O. 722  
 Fricke, U. s. Newmann, R. A. 31  
 Friedel, R. 666  
 Friedel, R. s. Lindena, J. 649  
 Fritz, H. s. Jochum, Marianne 671  
 Fuhs, M. s. Fischer, J. H. 747  
 Fujita, K. s. Teradaira, R. 698  
 Gabl, F. s. Bauer, K. 677  
 Gabl, F. s. Endler, A. T. 753  
 Gaertner, H. J. 579  
 Gärtnert, R. 571  
 Galton, D. J. s. Dodson, P. M. 751  
 Galton, D. s. Stocks, J. 753  
 Gatschke, W. 403  
 Gawlik, D. s. Gatschke, W. 403  
 Geary, T. D. s. Haeckel, R. 445  
 Geiger, R. s. Mann, K. 395  
 Geiseler, D. s. Jakober, B. 708  
 Geseler, D. s. Müller, P. H. 708  
 Gerbitz, K.-D. 313  
 Gerli, G. C. s. Agostoni, A. 771  
 Gerok, W. s. Bauer, Ch. 670  
 Gersonde, K. s. Sick, H. 689  
 Geyer, H. s. Baack, G. 726  
 Gibitz, H. J. 721  
 Gilboa-Garber, N. 376  
 Gilch, R. s. Mann, K. 733  
 Girndt, G. s. Fenske, M. 687  
 Glöckner, W. M. 377  
 Goedde, H. W. s. Meier-Tackmann, D. 699  
 Goedde, H. W. s. Strohmeyer, T. 672  
 Goedde, H. W. s. Meier-Tackmann, D. 754  
 Göring, W. s. Mann, K. 395  
 Goerz, G. s. Stuhldreier, B. 724  
 Götz, M. A. s. Hannak, D. 735  
 Gollwitzer, Rotraud s. Wood, W. G. 711  
 Gorecka, A. s. Sawicki, Z. 694  
 Gorka, G. 697  
 Graf, H. 686  
 Graf, H. s. Kovárik, J. 747  
 Graf, H.-P. s. Trendelenburg, Chr. 732  
 Greiling, H. s. Gressner, A. M. 279  
 Gressner, A. M. 111, 279, 684, 797, 921  
 Gressner, A. M. s. Wallraff, P. 702  
 Gripenberg, J. s. Jansson, S.-E. 648  
 Grönroos, P. s. Koivula, T. 686  
 Groome, N. P. 345  
 Grospeitsch, G. s. Fenske, M. 687  
 Großmann, M. s. Klingler, W. 700  
 Grouls, P. s. Gressner, A. M. 684  
 Gruber, W. s. Markowetz, D. 679  
 Grüner, J. s. Averdunk, R. 710  
 Günther, T. s. Ebel, H. 257  
 Gürtler, L. G. 377  
 Gundlach, G. 603, 682  
 Gundlach, G. s. Hüting, J. 681  
 Gupta, D. s. Moeller, H. 726  
 Gustafsson, J.-A. 654  
 Gyr, K. s. Lang, C. 551  
 Habermann, J. s. Thiel, D. van 807  
 Hackenberg, K. s. Schön, F. 355  
 Hadjidakis, A. s. Ratge, D. 735  
 Haeckel, R. 385, 433, 445, 455, 693  
 Haeckel, R. s. Heinz, F. 781  
 Haeckel, R. s. Riedel, H. 749  
 Hällström, O. s. Koivula, T. 686  
 Härkönen, M. s. Adlercreutz, H. 661  
 Hagemeyer, E. s. Schlimme, E. 696  
 Haidl, P. s. Mann, K. 733  
 Haindl, H. s. Oellerich, M. 718  
 Hajdú, P. 209  
 Halket, J. M. 731  
 Hammerl, B. s. Mann, K. 733  
 Hamperl, W. s. Jochum, M. 671  
 Hannak, D. 735  
 Hansen, I. s. Hørðer, M. 679  
 Hansen, S. I. s. Holm, J. 716  
 Hansen, S. I. s. Lyngbye, J. 715  
 Hansert, E. 461  
 Harada, S. s. Meier-Tackmann, D. 699  
 Harders, H. D. 743  
 Harm, K. 694  
 Harm, K. s. Klapdor, R. 676  
 Harm, K. s. Rehpennung, W. 743  
 Harmoinen, A. 702  
 Harmoinen, A. s. Koivula, T. 686  
 Harmoinen, A. s. Perko, M. 701  
 Hartmann, F. s. Butte, W. 740  
 Hartmann, H. G. s. Maruhn, D. 686  
 Hartter, P. s. Krupka, U. 723  
 Hartter, P. s. Martin, W. 723  
 Hayakawa, S. s. Ikeda, M. 407  
 Heck, H. s. Hollmann, W. 652  
 Heckmatt, J. s. Moss, D. W. 675  
 Hergermann-Nielsen, G. s. Klitgaard, N. A. 720  
 Hehrmann, R. s. Wood, W. G. 789  
 Heiden, W. C. H. van 333  
 Heienbrok, W. s. Klapdor, R. 676  
 Heikkinen, H. s. Penttilä, I. M. 732  
 Heimes, J. s. Jäckel, W. 909  
 Heimsch, E. 775  
 Heinrichs, S. s. Gressner, A. M. 684  
 Heinz, F. 781  
 Helenius, T. s. Liewendahl, K. 737  
 Helger, R. s. Harders, H. D. 743  
 Helger, R. s. Vormbrock, R. 698  
 Hell, B. s. Dulce, H. J. 741  
 Hellmann, T. s. Mann, K. 733  
 Henkel, E. 702  
 Henkel, E. s. Wrabetz-Wölke, A. 703  
 Henny, J. s. Hubsch, G. 149  
 Herchenhan, E. s. Blum, H. E. 679  
 Herndl, R. s. Marschner, I. 105  
 Herrmann, J. s. Jäckel, W. 909  
 Hesch, R. D. s. Jüppner, H. 585  
 Hesch, R. D. s. Wood, W. G. 789  
 Heul, C. van der s. Eijk, H. G. van 563  
 Heyes, H. s. Musch, K. 749  
 Hilz, H. 656  
 Hinghofer-Szalkay, H. 615  
 Hinghofer-Szalkay, H. s. Moser, M. 233

- Höfer, R. s. Müller, M. M. 737  
 Hörder, M. 679  
 Hörder, M. s. Bergmeyer, H. U. 521  
 Hörder, M. s. Hyltoft Petersen, P. 744  
 Hoffmann, G. E. 129  
 Holbolth, N. s. Rosleff, F. 755  
 Holdsworth, G. s. Dodson, P. M. 751  
 Holdsworth, G. s. Stocks, J. 753  
 Hollmann, W. 652  
 Hollweg, H. G. s. Oemar, B. S. 381  
 Holm, J. 716  
 Holm, J. s. Lyngbye, J. 715  
 Holmberg, H. 681  
 Holy, H. W. 701  
 Holz, J. s. Bethge, N. 734  
 Holzer, H. s. Moser, M. 233  
 Holzmann, H. s. Benes, P. 117  
 Homolka, J. 755  
 Honecker, H. 133  
 Hoo, J. J. s. Strohmeyer, T. 672  
 Hoppen, H. O. 729  
 Horn, K. s. Gärtner, R. 571  
 Horn, K. s. Wood, W. G. 511  
 Hornig, D. s. Bruchelt, G. 715  
 Hotschek, H. s. Bayer, P. M. 678  
 Houot, O. s. Hubsch, G. 149  
 Howard Grøn, I. 746  
 Hubsch, G. 149  
 Hülemann, K. s. Weisweiler, P. 707  
 Hüting, J. 681  
 Huseby, N.-E. 673  
 Huttunen, J. K. 652  
 Hyanek, J. s. Homolka, J. 755  
 Hyltoft Petersen, P. 744  
 Hyltoft Petersen, P. s. Hörder, M. 679  
 Hyltoft Petersen, P. s. Rosleff, F. 755  
 Hysek, H. s. Zazgornik, J. 241  
 Ideo, G. 237  
 Ignatowicz, E. s. Chmiel, J. 672  
 Ikeda, M. 407  
 Ikkala, E. s. Rasi, V. 656  
 Jäckel, W. 909  
 Jänne, O. s. Jokela, H. 678  
 Jakober, B. 708  
 Jakober, B. s. Müller, P. H. 708  
 Janetschek, P. s. Weisweiler, P. 707  
 Janssen, E. s. Kania, J. 378  
 Jansson, S.-E. 648  
 Jaster, H. J. 742  
 Jochum, M. 671  
 Johansson, U. s. Koch, G. 367  
 Jokela, H. 678  
 Jokela, H. s. Harmoinen, A. 702  
 Jokela, H. s. Perko, M. 701  
 Jonat, W. 727  
 Jüppner, H. 585  
 Jüppner, H. s. Wood, W. G. 789  
 Jungblut, P. W. 653  
 Jungers, J. 734  
 Källberg, M. 491  
 Kärkkäinen, P. 691  
 Kage, A. 740  
 Kahn, S. N. 23  
 Kalbfleisch, U. s. Bald, E. 728  
 Kalden, J. R. s. Heinz, F. 781  
 Kamarýt, J. 611  
 Kania, J. 378  
 Karduck, D. s. Gilboa-Garger, N. 376  
 Karges, H. E. s. Pott, G. 893  
 Karl, H.-J. s. Mann, K. 395, 733  
 Karonen, S.-L. s. Adlercreutz, H. 661  
 Kattermann, R. s. Frey, H. O. 722  
 Kattermann, R. s. Hannak, D. 735  
 Kattermann, R. s. Sirowej, H. 752  
 Kauerz, U. 745  
 Kaul, A. s. Schworer, I. 163  
 Kaulhausen, H. 137  
 Keipert, B. s. Mann, K. 395  
 Keller, H. s. Haeckel, R. 693  
 Kenner, Th. s. Moser, M. 233  
 Kertész, L. s. Tomcsányi, A. 145  
 Kessler, A.-Ch. s. Schlebusch, H. 885  
 Keul, J. s. Berg, A. 707  
 Kewenig, M. s. Gärtner, R. 571  
 Khan, R. A. s. Kahn, S. N. 23  
 Kiss, P. s. Sirowej, H. 752  
 Klapdor, R. 676  
 Kleesiek, K. 867  
 Klein, P. J. 378  
 Klein, P. J. s. Farrar, G. 376  
 Klein, P. J. s. Kania, J. 378  
 Klein, P. J. s. Müller, W. 380  
 Klein, P. J. s. Vierbuchen, M. 384  
 Klein, P. J. s. Newman, R. A. 31  
 Kleine, T. O. 7, 245  
 Klingler, W. 700  
 Klitgaard, N. A. 720  
 Klötzl, G. 725  
 Klose, B.-J. s. Schramel, P. 591  
 Klosse, J. A. s. Rijn, H. J. M. van 627  
 Klumpp, T. s. Férand, G. 39  
 Knedel, M. s. Haeckel, R. 693  
 Knoll, E. 53  
 Knoll, E. s. Bosak, J. 413  
 Knoll, E. s. Diener, U. 687  
 Knoll, E. s. Ratge, D. 835  
 Knoll, E. s. Wisser, H. 297  
 Knot, E. s. Bayer, P. M. 678  
 Koch, C.-D. 423  
 Koch, G. 367  
 Kochmann, G. 685  
 Kochmann, R. s. Kochmann, G. 685  
 Koeberling, J. s. Blossey, H.-Ch. 729  
 Koester-Eiserfunke, W. s. Gressner, A. M. 279, 684  
 Köttgen, E. 379, 752  
 Köttgen, E. s. Bauer, Ch. 670  
 Köttgen, E. s. Fabricius, H. Å. 716  
 Koivula, T. 686  
 Koivula, T. s. Harmoinen, A. 702  
 Koivula, T. s. Jokela, H. 678  
 Kolb, H. s. Nagamura, Y. 672  
 Kopsa, H. s. Zazgornik, J. 241  
 Kornmüller, K. 711  
 Korte, T. 721  
 Kothaus, G. s. Nagamura, Y. 672  
 Kovarik, J. 747  
 Krahenmann, J. A. s. Lang, C. 551  
 Kraemer, W. s. Deeg, R. 49  
 Kraft, D. s. Gatschke, W. 403  
 Krais, J. s. Stein, W. 677  
 Krauth-Siegel, L. 724  
 Krawczyński, J. s. Sawicki, Z. 694  
 Krieg, M. s. Klötzl, G. 725  
 Kroos, M. J. s. Eijk, H. G. van 563  
 Krupka, U. 723  
 Kruse-Jarres, J. D. s. Trendelenburg, Chr. 732  
 Kühn, H. s. Luthe, H. 693  
 Külpmann, W. R. 227, 339, 720  
 Kuhn, W. s. Fenske, M. 687  
 Kump, B. s. Bojar, H. 725  
 Kuoppasalmi, K. 653  
 Kuppens, P. S. s. Naus, A. J. 621  
 Kuss, H. J. s. Gaertner, H. J. 579  
 Kuzmits, R. 745  
 Kuzmits, R. s. Aigner, P. 690  
 Lafosse, M. s. Kaulhausen, H. 137  
 Lalanne, C. M. s. Milano, G. 157  
 Lalla, M. 688  
 Lang, C. 551  
 Lang, H. s. Aigner, P. 690  
 Lang, W. s. Wolf, H. U. 689  
 Lange, H. s. Luthe, H. 693  
 Langenbeck, U. 755  
 Langer, B. s. Diener, U. 687  
 Lansen, A. 327  
 Lantta, M. s. Stenman, U.-H. 727  
 Latipää, P. s. Jokela, H. 678  
 Lauritzen, Ch. s. Müller-Oesterle, R. 748  
 Lauritzen, Ch. s. Wolf, A. S. 747  
 Lehtinen, Inkeri s. Puukka, M. 692  
 Leicht, E. 739  
 Leijinse, B. s. Blijenberg, B. G. 27  
 Leijinse, B. s. Lansen, A. 327  
 Leitz, V. M. 718  
 Lemm, U. s. Wenzel, M. 684  
 Leskinen, E. s. Holmberg, H. 681  
 Leur, E. Van de s. Gressner, A. M. 279  
 Lewis, S. M. 649  
 Liesen, H. s. Hollmann, W. 652  
 Liewendahl, K. 737  
 Linde, H. s. Deus, B. 692  
 Lindena, J. 649  
 Lindholm, A.-M. s. Adlerdreutz, H. 661  
 Lindwall, L. 879  
 Linkesch, W. s. Kovarik, J. 747  
 Lipp, W. s. Mann, K. 395  
 Lode, H. s. Borner, K. 719  
 Lorentz, K. 379, 682  
 Lørke, D. s. Maruhn, D. 686  
 Lück, H. J. s. Hoppen, H. O. 729  
 Lüllig, H. s. Ebert, W. 716  
 Luthe, H. 693  
 Luthe, H. s. Langenbeck, U. 755  
 Luttermann, E. s. Gundlach, G. 682  
 Lyngbye, J. 715  
 Lyngbye, J. s. Holm, J. 716  
 Maas, A. H. J. s. Siggaard-Andersen, O. 829  
 Maass, H. s. Jonat, W. 727  
 Mach, M. s. Tomaszewski, J. J. 750  
 Mader, A. s. Hollmann, W. 652  
 Magdziarz, A. s. Palynyczko, Z. 676  
 Magid, E. 669  
 Magnusson, C. G. s. Holy, H. W. 701  
 Mann, K. 395, 733  
 Manno, C. s. Schena, F. P. 17  
 Marcovina, S. s. Zoppi, F. 59  
 Markowitz, D. 679  
 Marschner, I. 105, 660  
 Marschner, I. s. Thiel, D. van 807  
 Marschner, I. s. Wood, W. G. 183, 511, 789  
 Martin, W. 723  
 Maruhn, D. 686  
 Maruhn, D. s. Paar, D. 557  
 Maruta, K. s. Teradaira, R. 698  
 Masson, P. S. s. Holy, H. W. 701  
 Matýsek, P. s. Kamarýt, J. 611  
 McGeehey, F. 673  
 Meier-Tackmann, D. 699  
 Melchior, J. C. s. Rastogi, S. C. 67  
 Merk, H. s. Stuhldreier, B. 724  
 Merten, B. s. Kleinc, T. O. 245  
 Métais, P. s. Férand, G. 39  
 Mette, H. s. Klingler, W. 700  
 Mettinger, K. L. s. Wahlberg, R. 744  
 Metzger, G. s. Férand, G. 39  
 Meulen, N. van der s. Bald, E. 728  
 Meyering, M. s. Pott, G. 893  
 Michaelis, H. C. s. Thomas, L. 697  
 Milano, G. 157  
 Mitchell, F. L. s. Haeckel, R. 445  
 Miyato, M. s. Fischer, J. H. 747  
 Moeller, H. 726  
 Möller, H. 714  
 Mohr, H. s. Jüppner, H. 585  
 Molin, L. s. Lindwall, L. 879  
 Molnar, I. s. Schönshöfer, M. 731  
 Mordasini, R. C. 917  
 Morsches, B. s. Benes, P. 117  
 Moser, M. 233  
 Moss, D. W. 675  
 Mühlhaus, K. 674  
 Mühlhaus, K. s. Diederichs, F. 674  
 Mühlhaus, K. s. Friedel, R. 666

- Mühlhausen, B. s. Gundlach, G. 603  
 Müller, M. s. Stein, W. 677  
 Müller, M. J. 738  
 Müller, M. M. 737  
 Müller, M. M. s. Aigner, P. 690  
 Müller, M. M. s. Graf, H. 686  
 Müller, M. M. s. Kuzmits, R. 745  
 Müller, N. s. Dick, W. 709  
 Müller, P. H. 708  
 Müller, P. H. s. Jakober, B. 708  
 Müller, W. 380  
 Mössner, W. s. Köttgen, E. 379  
 Müller, W. E. G. 380  
 Müller, W. E. G. s. Vaith, P. 383  
 Müller-Matthesius, R. 501  
 Müller-Oesterle, R. 748  
 Müller-Plathe, O. 690  
 Munz, E. s. Markowetz, D. 679  
 Munz, E. s. Schlebusch, H. 885  
 Musch, K. 749  
 Musch, K. s. Müller-Oesterle, R. 748  
 Musch, K. s. Wolf, A. S. 747  
 Myllylä, G. s. Rasi, V. 656
- Nachbar, J. s. Schmitz-Huebner, U. 221  
 Nadeau, R. G. s. Haeckel, R. 445  
 Näveri, H. s. Kuoppasalmi, 653  
 Nagamura, Y. 672  
 Nagatsu, T. s. Teradaira, R. 698  
 Nage, H.-H. s. Harm, K. 694  
 Nagel, M. 431  
 Nakamura, M. s. Teradeira, R. 698  
 Nanba, N. s. Ikeda, M. 407  
 Naus, A. J. 621  
 Newmann, R. A. 31  
 Nicolai, H. von 381
- Nocke, Finck, L. 897  
 Noort, W. L. van s. Eijk, H. G. van 563  
 Nordby, H. K. 668
- Oellerich, M. 169, 197, 718  
 Oellerich, M. s. Külpmann, W. R. 720  
 Oemar, B. S. 381  
 Oettling, G. s. Moeller, H. 726  
 Ohmori, S. s. Ikeda, M. 407  
 Okuda, K. 947  
 Okuda, K. s. Haecke., R. 445  
 Oldendörp, J. 901  
 Olek, K. 567  
 Olesen, E. s. Winkel, P. 648  
 Opper, C. s. Müller-Matthesius, R. 501  
 Osburg, K. s. Drygas, J. 751  
 Oster, O. 714  
 Overkamp, D. s. Müller, P. H. 708
- Paar, D. 557  
 Paar, D. s. Maruhn, 686  
 Paar, D. s. Schön, F. 355  
 Pai, E. F. s. Krauth-Siegel, L. 724  
 Palynyczko, Z. 676
- Pape, W. s. Kochmann, G. 685  
 Parmar, C. s. Moss, D. W. 675  
 Patscheke, H. 708  
 Pabelka, R. s. Kovarik, J. 747  
 Penttilä, A. s. Korte, T. 721  
 Penttilä, I. s. Puukainen, E. 684  
 Penttilä, I. M. 732  
 Penttilä, I. M. s. Kärkkäinen, P. 691  
 Peracino, A. s. Zoppi, F. 59  
 Perko, M. 701  
 Perko, M. s. Harmoinen, A. 702  
 Persijn, J.-P. s. Heiden, W. C. H. van 333  
 Petersen, E. s. Wrabetz-Wölke, A. 703  
 Petzinna, D. s. Bojar, H. 725  
 Pianezzi, A. s. Scholer, A. 363  
 Pikkarainen, J. s. Korte, T. 721  
 Pilaski, J. s. Staib, W. 726  
 Pils, P. s. Zazgornik, J. 241  
 Pilz, R. s. Heinz, F. 781  
 Pledger, D. R. 701  
 Porter, C. J. 439  
 Pott, G. 893  
 Prokscha, G. W. s. Zänker, K. S. 728  
 Puukainen, E. 684  
 Puukka, M. 497, 692  
 Puukka, M. s. Puukka, R. 706  
 Puukka, R. 706  
 Puukka, R. s. Puukka, M. 497, 692  
 Quabbe, H. J. s. Bethge, N. 734
- Räsänen, V. 700  
 Räsänen, V. s. Lalla, M. 688  
 Ragagnin, M. s. Férand, G. 39  
 Rao, G. S. 307  
 Rao, V. H. s. Sambasiva Rao, J. 287  
 Rasi, V. 656  
 Rasmussen, J. s. Rosleff, F. 755  
 Rastetter, J. 647  
 Rastogi, S. C. 67  
 Ratge, D. 735  
 Ratge, D. s. Bosak, J. 413  
 Ratge, D. s. Diener, U. 687  
 Rausch-Stroemann, J.-G. s. Ernst, M. 705  
 Rautenstrauch, H. s. Diener, U. 687  
 Rautenstrauch, H. s. Knoll, E. 53  
 Reckel, S. s. Heinz, F. 781  
 Refsum, H. E. 651  
 Rehpennig, W. 743  
 Rehpennig, W. s. Kauerz, W. 745  
 Reiber, H. 123, 696  
 Reiber, H. O. s. Schipper, H. I. 717  
 Reimers, D. s. Nocke-Finck, L. 897  
 Reinauer, H. s. Oldendörp, J. 901  
 Reinhard, U. s. Jakober, B. 708  
 Reinhard, U. s. Müller, P. H. 708  
 Reinhard, D. s. Schön, F. 355
- Renee, N. s. Milano, G. 157  
 Reunanen, M. s. Puukka, M. 497  
 Reuschel-Janetschek, E. s. Richter, W. 736  
 Reutter, W. s. Bauer, Ch. 670  
 Richter, W. 736  
 Richter, W. s. Schwandt, P. 736  
 Rickenbach, R. van s. Scholer, A. 363  
 Riedel, H. 749  
 Riesen, W. E. s. Mordasini, R. C. 917  
 Rijn, H. J. M. van 627  
 Ringwald, J. s. Berg, A. 707  
 Robyn, C. s. Jungers, J. 734  
 Röhle, G. s. Breuer, H. 659  
 Röhr, A. s. Schlaeger, R. 695  
 Rösick, N. s. Bethge, N. 734  
 Röthig, H.-J. 756  
 Röthig, H. J. s. Weisner, B. 746  
 Rohner, H. G. s. Kaulhausen, H. 137  
 Róka, L. s. Bleyl, H. 710  
 Rommel, K. s. Koch, C.-D. 423  
 Rommelspacher, H. s. Honecker, H. 133  
 Rosleff, F. 755  
 Rüdiger, H. 382  
 Ruppenthal, E. s. Schmidt, R. 748  
 Ryhänen, R. s. Puukainen, E. 684
- Sabatke, L. s. Bencze, K. 13  
 Salaspuro, M. s. Liewendahl, K. 737  
 Sambasiva, Rao, J. 287  
 Sawicki, Z. 694  
 Schaast, M. s. Oellerich, M. 169  
 Schena, F. P. 17  
 Schieb, E. s. Vaith, P. 383  
 Schipper, H. I. 717  
 Schirmer, R. H. s. Krauth-Siegel, Luise 724  
 Schlaeger, R. 695  
 Schlebusch, H. 885  
 Schlimme, E. 696  
 Schmid, G. s. Wisser, H. 297  
 Schmid, K. s. Müller, P. H. 708  
 Schmidt, E. 668  
 Schmidt, K. s. Bruchelt, G. 715  
 Schmidt, P. s. Zazgornik, J. 241  
 Schmidt, R. 748  
 Schmitt, S. s. Köttgen, E. 379  
 Schmitz-Huebner, U. 221  
 Schmülling, R. M. s. Jakober, B. 708  
 Schmülling, R.-M. s. Müller, P. H. 708  
 Schneider, M. s. Milano, G. 157  
 Schneider, W. 691  
 Schön, F. 355  
 Schönenhöfer, M. 731  
 Schönenhöfer, M. s. Dulce, H. J. 741  
 Schönenhöfer, M. s. Jaster, H. J. 742  
 Schönenhöfer, M. s. Kage, A. 740  
 Scholer, A. 363
- Schottelius, J. 383  
 Schramel, P. 591  
 Schramm, W. s. Wood, W. G. 711  
 Schriewer, H. s. Wihlem, A. 271  
 Schröder, H. s. Hilz, H. 655  
 Schubert, G. s. Frey, H. O. 722  
 Schümann, H.-J. s. Nagel, M. 431  
 Schultze, K.-D. s. Fink, P. C. 717  
 Schulz, G. E. s. Krauth-Siegel, L. 724  
 Schumacher, W. s. Müller-Plathe, O. 690  
 Schwandt, P. 736  
 Schwandt, P. s. Drosner, M. 750  
 Schwandt, P. s. Richter, W. 736  
 Schwandt, P. s. Weisweiler, P. 707  
 Schwarz, S. 215  
 Schweiger, O. s. Tomcsányi, A. 145  
 Schwörer, I. 163  
 Scriba, P. C. s. Gärtner, R. 571  
 Scriba, P. C. s. Marschner, I. 105, 660  
 Scriba, P. C. s. Thiel, D. van 807  
 Scriba, P. C. s. Wood, W. G. 183, 511  
 Seeger, H. T. 706  
 Seidel, D. s. Luthe, H. 693  
 Seidel, D. s. Walli, A. 754  
 Seidel, D. s. Wieland, H. 749  
 Seitz, H. J. s. Müller, M. J. 738  
 Sewry, C. s. Moss, D. W. 675  
 Shinpo, K. s. Teradaira, R. 698  
 Shortman, R. C. s. Kahn, S. N. 23  
 Sick, H. 689  
 Sieber, A. s. Pott, G. 893  
 Siedek, M. s. Kaulhausen, H. 137  
 Siggard-Andersen, O. 929  
 Singh, S. s. Willers, I. 754  
 Sirowej, H. 752  
 Sirowej, H. s. Frey, H. O. 722  
 Skinningsrud, A. 669  
 Skude, G. 680  
 Skude, G. s. Birath, K. 680  
 Slik, W. van der s. Heiden, W. C. H. van 333  
 Sloman, J. C. s. Bell, P. A. 655  
 Sluijs Veer, G. van der 305  
 Sommer, B. s. Howard Grön, I. 746  
 Sorger, M. s. Schlebusch, H. 885  
 Sorto, A. s. Jokela, H. 678  
 Souverijn, J. H. M. s. Heiden, W. C. H. van 333  
 Staab, H. J. 175  
 Stadler, H. s. Sirowej, H. 752  
 Stahn, R. s. Fabricius, H. Å. 716  
 Staib, W. 726  
 Staib, W. s. Bojar, H. 725  
 Staib, W. s. Stuhldreier, B. 724  
 Staiger, Ch. 817  
 Stamm, D. s. Hansert, E. 461

- Steffens, E. s. Gorka, G. 697  
 Stein, W. 677  
 Stenflo, J. 657  
 Stenman, S. s. Stenman, U.-H. 727  
 Stenman, U.-H. 727  
 Stinshoff, K. s. Gorka, G. 697  
 Stocks, J. 753  
 Stocks, J. s. Dodson, P. M. 751  
 Strömer, P. s. Pledger, D. R. 701  
 Strømme, J. H. s. Nordby, H. K. 668  
 Strohmeyer, T. 672  
 Struck, H. s. Unger, Th. 631  
 Stuhldreier, B. 724  
 Stummvoll, H. K. s. Graf, H. 686  
 Stumpf, E. s. Staab, H. J. 175  
 Suhartono, H. s. Gundlach, G. 682  
 Sutor, D. J. 193  
 Svanberg, T. s. Puukka, M. 692  
 Tanner, P. s. Liewendahl, K. 737  
 Tarkkanen, P. 712  
 Tel, R. M. 595  
 Tempini, S. s. Idéo, G. 237  
 Teradaira, R. 698  
 Theodorsen, L. s. Skinningsrud, A. 669  
 Thiel, D. van 807  
 Thiel, D. van s. Wood, W. G. 511  
 Thom, R. 647  
 Thomas, J. s. Tarkkanen, P. 712  
 Thomas, L. 697  
 Thomas, M. s. Sirowej, H. 752  
 Thompson, E. J. s. Kahn, S. N. 23  
 Thomsen, P. D. s. Bethge, N. 734  
 Thygesen, K. s. Hørder, M. 679  
 Thygesen, K. s. Hyltoft Petersen, P. 744  
 Tietz, N. W. 763  
 Tobiasson, P. s. Källberg, M. 491  
 Tomaszewski, J. J. 750  
 Tomcsányi, A. 145  
 Trautschold, I. s. Diederichs, F. 674  
 Trautschold, I. s. Mühlhaus, K. 674  
 Trendelenburg, Chr. 732  
 Trettin, H. s. Leitz, V. M. 718  
 Trnka, V. s. Homolka, J. 755  
 Trombik, E. s. Müller, M. M. 737  
 Tschesche, H. s. Wenzel, H. R. 699  
 Ueckert, B. s. Trendelenburg, Chr. 732  
 Untucht-Grau, R. s. Krauth-Siegel, L. 724  
 Uhlenbrück, G. 373  
 Uhlenbrück, G. s. Farrar, G. 376  
 Uhlenbrück, G. s. Gilboa-Garber, N. 376  
 Uhlenbrück, G. s. Kania, J. 378  
 Uhlenbrück, G. s. Klein, P. J. 378  
 Uhlenbrück, G. s. Müller, W. 380  
 Uhlenbrück, G. s. Müller, W. E. G. 380  
 Uhlenbrück, G. s. Newman, R. A. 31  
 Uhlenbrück, G. s. Vaith, P. 383  
 Uhlenbrück, G. s. Vierbuchen, M. 384  
 Uhlhaas, S. s. Olek, K. 567  
 Uihlein, M. s. Hajdú, P. 209  
 Uldall, A. 303  
 Unger, Th. 631  
 Urdal, P. s. Nordby, H. K. 668  
 Vaith, P. 383  
 Vaith, P. s. Müller, W. E. G. 380  
 Verheesen, P. E. 351  
 Vierbuchen, M. 384  
 Vierbuchen, M. s. Farrar, G. 376  
 Vierbuchen, M. s. Kania, J. 378  
 Vierbuchen, M. s. Klein, P. J. 378  
 Vierbuchen, M. s. Müller, W. 380  
 Vignali, M. s. Agostoni, A. 771  
 Vihko, P. 682  
 Vihko, R. 654  
 Virkola, P. s. Adlercreutz, H. 695  
 Voigt, K. D. s. Harm, K. 694  
 Voigt, K. D. s. Klötzl, G. 725  
 Voigt, K. D. s. Rehpenning, W. 743  
 Vonderschmitt, D. J. s. Scholer, A. 363  
 Vormbrock, R. 698  
 Voss, B. s. Pott, G. 893  
 Vossen, J. G. H. M. 712  
 Vries, A. L. De s. Newman, R. A. 31  
 Vries, J. de s. Staiger, Ch. 817  
 Wachter, C. s. Wood, W. G. 511, 789  
 Wagener, C. 821  
 Wahlberg, R. 744  
 Wahlstedt, Virve s. Holmberg, Helena 681  
 Walb, D. s. Thomas, L. 697  
 Wallenburg, H. C. S. s. Lanser, A. 327  
 Walli, A. 754  
 Wallraff, P. 702  
 Wallraff, P. s. Gressner, A. M. 797  
 Walter, E. s. Staiger, Ch. 817  
 Wardenbach, P. s. Olek, K. 567  
 Weber, B. s. Dulce, H. J. 741  
 Weber, B. s. Jaster, H. J. 742  
 Weber, B. s. Kage, A. 740  
 Weber, W. s. Hilz, H. 655  
 Wegener, M. s. Harm, K. 694  
 Wehner, B. s. Klein, P. J. 378  
 Weinstock, N. 712  
 Weise, M. s. Schlümme, E. 696  
 Weisner, B. 746  
 Weisner, B. s. Kauerz, U. 745  
 Weiss, L. s. Hoffmann, G. E. 129  
 Weissel, M. s. Müller, M. M. 737  
 Weisweiler, P. 707  
 Weisweiler, P. s. Drosner, M. 750  
 Wenzel, H. R. 699  
 Wenzel, M. 684  
 Wenzel, M. s. Fischer, J. H. 747  
 Werle, S. s. Frey, H. O. & 22  
 Whitaker, K. B. s. Moss, D. W. 675  
 Whitehead, T. P. 453  
 Wiatr, G. s. Gaertner, H. J. 579  
 Wider, G. s. Bayer, P. M. 678

## Subject Index

- absorption spectrum  
 -, clobazepam 209  
**ABTS**  
 -, peroxidase assay 345  
 accuracy 69, 78  
**N-acetyl- $\beta$ -D-glucosaminidase**  
 -, urine 53, 687  
 --, determination 53  
 ---, value, diagnostic 53  
 --, under amikacin therapy 687  
 --, under cisplatin therapy 687  
**N-acetyl neuraminic acid**  
 -, inhibitor 708  
 --, thromboxane synthesis 708  
 acetyl salicylic acid  
 -, bioavailability 720  
**N-acetyl transferase**  
 -, synchronization of cell function 763  
 acute myeloid leukaemia  
 -, stem cell population monitoring 648  
 adenocarcinoma  
 -, gastrointestinal tract 175  
 --, carcinoembryonic antigen 175  
 adenosine  
 -, nucleotides 712  
 --, platelets 712  
 ---, determination 712  
 ----, by bioluminescence 712  
 adenylate cyclase  
 -, liver, foetal 748  
 --, and chorionic gonadotropin 748  
 adrenal steroid hormones  
 -, plasma 740  
 --, circadian variation 740  
 --, episodic variation 740  
 adsorption  
 -, on surfaces 585  
 --, parathyrin 585  
 affective diseases  
 -, function test 867  
 --, neuroendocrine 867  
 affinity chromatography  
 -, oligosaccharides 381  
 ----, T-cell receptors 1  
 age  
 -, plausibility intervals 694  
**age dependency**  
 -, lactate dehydrogenase 305  
 -, uric acid 745  
 --, serum 745  
 alanine aminopeptidase  
 -, urine 687  
 --, under amikacin therapy 687  
 --, under cisplatin therapy 687  
 alanine aminotransferase  
 -, IFCC method 521  
 -, stability 521  
 albumin  
 -, cerebrospinal fluid 7, 245

- albumin  
 --, serum 96  
 --, standard 96  
 alcohol  
 --, blood 721  
 --, method comparison 721  
 --, and drugs 721  
 alcohol dehydrogenase  
 --, blood 699  
 --, fibroblasts 699  
 --, hair roots 699  
 --, organs 699  
 aldehyde dehydrogenase  
 --, blood 699  
 --, fibroblasts 699  
 --, hair roots 699  
 --, organs 699  
 aldosterone  
 --, urine 742  
 --, high performance liquid chromatography 742  
 --, radioimmunoassay 742  
 aluminium  
 --, bone biopsy 403  
 --, neutron activation analysis 403  
 --, serum 591  
 --, determination 591  
 --, reference values 591  
 amikacin  
 --, therapy 687  
 --, N-acetal- $\beta$ -D-glucosaminidase 687  
 --, urine 687  
 --, alanine aminopeptidase 687  
 --, urine 687  
 amino acids  
 --, physical exercise 651  
 2-amino-2-methyl-1-propanol  
 --, buffer substance 698  
 --, phosphatase, alkaline 698  
 --, stabilization 698  
 aminopeptidases  
 --, placenta 631  
 $\beta$ -aminopropionitrile  
 --, monoamine oxidase 921  
 --, inhibitor 921  
 ammonia  
 --, physical exercise 651  
 amniotic fluid  
 --, fibronectin 797  
 --,  $\beta$ -glucuronidase 611  
 --, and sex of the child 611  
 --, proteases 749  
 --, lung maturity 749  
 amylase  
 --, isoenzymes 669, 673, 680, 681  
 --, clinical value 669  
 --, determination 673, 680, 681  
 analysers  
 --, specifications 947  
 --, guidelines 947  
 analysis  
 --, clinical chemical 433  
 --, comparison 433  
 --, statistical problems 433  
 androgens  
 --, thin layer chromatography 117  
 5-androsten-3 $\beta$ , 17 $\beta$ -diol  
 --, plasma 117  
 --, determination 117  
 antibiotics  
 --, and hormone concentrations 897  
 --, blood 897
- antiepileptics  
 --, serum 720  
 --, enzyme immunoassay 720  
 --, gas chromatography 720  
 anti-Factor VIII clotting activity  
 --, radioimmunoassay 711  
 antigen  
 --, carinoembryonic 175  
 antigen specificity  
 --, T-cell receptors 1  
 $\alpha_2$ -antiplasmin  
 --, plasma 221  
 --, determination 221  
 antipyrine®  
 --, plasma 817  
 --, gas chromatography 817  
 anti *Thomsen-Friedenreich* agglutinins  
 --, isolation 378  
 antithrombin III  
 --, plasma 221  
 --, determination 221  
 $\alpha_1$ -antitrypsin  
 --, in dialyzed patients 241  
 --, after kidney transplantation 241  
 --, phenotyping 13  
 --, clinical relevance 13  
 apallic syndrome  
 --, catecholamines 735  
 --, circadian rhythm 735  
 apamin 723  
 apolipoprotein A-I  
 --, electroimmunoassay 917  
 --, radioimmunoassay 917  
 apolipoprotein A-II  
 --, electroimmunoassay 917  
 --, radioimmunoassay 917  
 apolipoprotein C  
 --, and bezafibrate 750  
 --, and dialysis 751  
 apolipoprotein C-III-2 753  
 apolipoproteins 707  
 arsenic  
 --, determination 714  
 --, atomic absorption spectrometry 714  
 arterial walls  
 --, and plasmatic coagulation system 545  
 --, thromboplastic activity 545  
 arylesterase  
 --, determination 683  
 --, inhibition 683  
 --, by lanthanum 683  
 aryl-4-hydroxylase 775  
 ascorbate  
 --, interference 363  
 --, uric acid assay 363  
 ascorbate oxidase 363  
 ascorbic acid  
 --, urine 715  
 --, determination 715  
 --, isotachophoresis 715  
 asialoglycoproteins  
 --, fate 31  
 --, in mouse circulation 31  
 assigned values  
 --, control specimens 461  
 --, determination 461  
 --, matrix effects 461  
 --, method dependence 461  
 atomic absorption spectrometry  
 --, arsenic 714  
 --, copper 712  
 --, mercury 714  
 --, zinc 712
- ATP  
 --, determination 686  
 --, bioluminescence assay 686  
 --, urine analysis 686  
 --, leukaemia cells 690  
 --, and cytotoxic substances 690  
 AutoAnalyzer II  
 --, glucose determination 255  
 --, blood 255  
 automation  
 --, definition 455  
 automatization  
 --, definition 455  
 --, perspectives 455
- bacteriuria  
 --, screening 712  
 --, bioluminescence 712  
 bee venom peptides  
 --, and granulocyte migration 723  
 N-benzoyl-L-tyrosyl-p-aminobenzoic acid  
 --, pancreatic function test 551  
 --, toxicity 551  
 benzopyrene-3-monoxygenase 775  
 betamethasone  
 --, and hormones in pregnancy 748  
 bezafibrate  
 --, hyperlipoproteinemia IV 750
- Bhattacharya* plot 621  
 bile  
 --, copper excretion 713  
 --, and glutathione depletion 713  
 --, and paracetamol 713  
 --, and penicillamine 713  
 --, palmitic acid 193  
 --, free 193  
 --, zinc excretion 713  
 --, and glutathione depletion 713  
 --, and paracetamol 713  
 --, and penicillamine 713  
 bile acids  
 --, glycine conjugation 407  
 --, colorimetry 407  
 bilirubin  
 --, cerebrospinal fluid 7  
 --, total 27  
 --, serum 27  
 --, neonates 27  
 --, survey report 27  
 bioavailability  
 --, acetylsalicylic acid 720  
 bioluminescence  
 --, adenosine nucleotides 712  
 --, ATP assay 686  
 --, bacteriuria screening 712  
 biotransformation  
 --, enzymes 775  
 --, quality control 775  
 biuret reagent 697  
 bleomycin  
 --, leukaemia treatment 690  
 --, ATP 690
- blood see also cord blood  
 erythrocytes, plasma, serum  
 --, coagulation 744  
 --, reference material 744  
 --, ethanol 722  
 --, microdetermination 722  
 --, glucose 129, 149, 255, 275, 885  
 --, determination 129, 885  
 --, and deproteinization 129  
 --, men 897  
 --, cortisol 897  
 --, after rifampicin 897  
 --, after streptomycin 897  
 --, testosterone 897  
 --, after rifampicin 897  
 --, after streptomycin 897  
 --, occult 695  
 --, faeces 695  
 --, phenylpyruvic acid 755  
 --, thyrotropin 807  
 --, screening 807  
 blood/brain barrier  
 --, dysfunction 717  
 --, IgG 717  
 blood gases 829  
 blood group 4, 383  
 bone  
 --, biopsy 403  
 --, aluminium 403  
 --, phosphorus 403  
 brain  
 --, acute damage 668  
 --, creatine kinase-BB 668  
 --, magnesium 257  
 breast cancer  
 --, catechol-O-methyltransferase 763  
 --, receptor assay 727, 728, 729
- bupivacaine  
 --, plasma 351  
 --, gas chromatography 351
- C-peptide  
 --, plasma 313  
 --, urine 313  
 C-reactive protein  
 --, determination 710  
 C1 esterase  
 --, inhibitor 17  
 --, assay 17  
 --, hereditary angioneurotic edema 17  
 --, inhibition mechanism 17  
 --, *Michaelis* constant  
 $\text{Ca}^{2+}$ -paradox  
 --, enzyme release 674  
 --, by rat heart 674  
 calcitonin  
 --, assay 664  
 --, serum 747  
 --, neonates 747  
 --, pregnancy 747  
 calibration 855  
 cAMP  
 --, plasma 909  
 --, after glucagon 909  
 --, radioimmunoassay 732  
 --, inhibition by EDTA 732  
 --, receptors 656  
 --, tissue 656  
 --, malignant 656  
 cancer  
 --, polyamines 698  
 --, urine 698  
 cancer therapy  
 --, monitoring 763

- carbamazepin  
 -, serum 227  
 --, determination 227  
 carbohydrates  
 -, content 31  
 --, glycoproteins 31  
 carbon dioxide  
 -, partial pressure 829  
 carbon tetrachloride  
 -, and protein phosphorylation 111  
 carcinoembryonic antigen 821  
 -, adenocarcinoma 175  
 --, gastrointestinal tract 175  
 -, immune complexes 175  
 carcinogenesis  
 -, steroid epoxides 937  
 catabolism  
 -, enzymes 679  
 catalase  
 -, erythrocytes 771  
 --, cord blood 771  
 --, maternal 771  
 catecholamines  
 -, circadian rhythm 735  
 --, apallic syndrome 735  
 -, conjugated 431  
 --, plasma 431  
 ---, determination 431  
 -, methylation 413  
 --, enzymatic 413  
 -, plasma 413  
 -, response 367  
 --, to exercise 367  
 -, urine 567  
 catechol-O-methyltransferase  
 -, breast tissue 763  
 --, radioenzymatic assay 672  
 --, hair root cells 672  
 CEA 175, 821  
 cefotaxime  
 -, serum 719  
 --, determination 719  
 --, by HPLC 719  
 -, urine 719  
 --, determination 719  
 --, by HPLC 719  
 cerebrospinal fluid  
 -, albumin 245  
 -, circulation 746  
 --, prealbumin as indicator 746  
 -, cisternal 745  
 --, glucose 745  
 -, diagnosis 7  
 --, with rapid tests 7  
 -, fibronectin 797  
 --, glucose 129, 275  
 --, determination 129  
 --, and deproteinization 129  
 -, IgA 245  
 -, IgG 245  
 -, IgM 245  
 -, lactate 746  
 --, meningitis purulenta 746  
 -, lumbar 745  
 --, glucose 745  
 --,  $\alpha_2$ -macroglobulin 671  
 -, peptide hormones 731  
 --, separation 731  
 -, prealbumin 245  
 -, production 746  
 --, prealbumin as indicator 746  
 -, protein pattern 23  
 --, polyacrylamide gel electrophoresis 23  
 --, sample preparation 23
- cerebrospinal fluid  
 -, proteins 7, 123  
 --, adsorption 7  
 --, to reaction vessels 7  
 --, nephelometry 123  
 -, ventricular 745  
 --, glucose 745  
 circadian rhythm see also variation  
 -, catecholamines 735  
 --, apallic syndrome 735  
 cisplatin  
 -, leukemia treatment 690  
 --, ATP 690  
 -, therapy 687  
 --, N-acetyl- $\beta$ -D-glucosaminidase 687  
 --, urine 687  
 --, alanine aminopeptidase 687  
 --, urine 687  
 Chagas disease  
 -, trypanosomes 383  
 --, characterization 383  
 --, by lectins 383  
 chenodeoxycholic acid  
 -, serum 491  
 --, radioimmunoassay 491  
 children  
 -, reference values 713  
 --, copper 713  
 --, serum 713  
 --, urine 713  
 --, zinc 713  
 --, serum 713  
 --, urine 713  
 chloride  
 -, urine 703  
 cholestasis  
 -, extrahepatic 111  
 --, and protein phosphorylation 111  
 cholesterol see also HDL, LDL  
 -, method comparison 595, 752  
 cholesterolemesterase  
 -, specificity 595  
 cholesteryl esters  
 -, hydrolysis 595  
 cholic acid  
 -, serum 491  
 --, radioimmunoassay 491  
 chorionic gonadotropin  
 -, adenylate cyclase 747  
 --, liver, foetal 747  
 -, determination 733  
 $\beta$ -chorionic gonadotropin 821  
 chromate  
 -, tubular damage 686  
 chromatography see high performance liquid, ion exchange, thin layer  
 chromogenic substrates 631  
 chromogenic substrate S-2444 557  
 Chromozyme 709  
 Chromozyme TRY 671  
 chymotrypsin  
 --, faeces 695  
 --, determination 695  
 clearance  
 -, creatinine 423  
 --, variation 423  
 -, urea 423  
 --, variation 423  
 clinical chemistry  
 -, perspectives 453, 455  
 --, automatization 455  
 --, postgraduate course 439
- cloiazepam  
 -, serum 209  
 --, determination 209  
 -, urine 209  
 --, determination 209  
 clotting tests see also coagulation  
 -, and glycerophosphatides 711  
 coagulation see also clotting  
 -, determination 659, 709, 710  
 --, chromogenic substrate 659  
 --, non-carboxylated factors 710  
 --, reference material 744  
 coagulation system  
 -, plasmatic 545  
 --, and thromboplastic activity 545  
 --, of arterial walls 545  
 cold agglutinins  
 -, monoclonal 716  
 --, for glycoconjugate-associated antigens 716  
 --, neoplastic cells 716  
 cold insoluble globulin  
 -, laser nephelometry 702  
 collagen  
 -, metabolism 287  
 --, protein malnutrition 287  
 colloid osmotic pressure  
 -, plasma 233  
 --, determination 233  
 competitive protein binding assay  
 -, progesterone 355  
 complement 17  
 computer processing  
 -, radioimmunoassay data 660  
 computer programme  
 -, HP 97 215  
 --, radioimmunoassay 215  
 confidence intervals  
 --, radioimmunoassay 879  
 consensus value 461  
 control materials 855  
 control specimens  
 -, assigned values 461  
 --, determination 461  
 copper  
 -, excretion 713  
 --, in rat bile 713  
 --, and glutathione depletion 713  
 --, and paracetamol 713  
 --, and penicillamine 713  
 -, serum 712  
 --, determination 712  
 --, atomic absorption spectrometry 712  
 --, reference values 713  
 --, children 713  
 -, urine 713  
 --, reference values 713  
 --, children 713  
 cord blood see also erythrocytes  
 -, creatine kinase 675  
 --, *Duchenne* muscular dystrophy 675  
 corticosteroid  
 -, binding globulin 137  
 --, binding capacity 137  
 --, in liver cirrhosis 137  
 corticotropin  
 --, plasma 740  
 --, circadian variation 740  
 --, episodic variation 740
- cortisol  
 -, blood 897  
 --, of men 897  
 --, after rifampicin 897  
 --, after streptomycin 897  
 -, plasma 740  
 --, diurnal variation 740  
 -, serum 183, 867  
 --, after insulin 867  
 --, after thyrolobatin 867  
 --, quality control survey 183  
 coumarol  
 -, treatment 709  
 --, monitoring 709  
 counting  
 -, leukocytes 691  
 covariance selection 743  
 craniocerebral damage  
 -, creatine kinase 676  
 --, isoenzymes 676  
 creatine kinase  
 -, isoenzymes 676  
 --, craniocerebral damage 676  
 --, mitochondrial 679  
 --, radioimmunoassay 679  
 -, serum 675  
 --, *Duchenne* muscular dystrophy 675  
 creatine kinase-BB  
 -, acute brain damage 668  
 --, macro form 677, 678  
 --, binding site 677, 678  
 --, IgG 677, 678  
 creatine kinase-MB  
 -, acute myocardial infarction 676  
 --, determination 679  
 --, fractionation 678  
 creatinine  
 -, clearance 423  
 --, variation 423  
 --, physical exercise 651  
 -, serum 423  
 --, variation 423  
 -, true 385  
 --, serum 385  
 --, urine 385  
 -, urine 423, 705  
 --, variation 423  
 curve-fitting methods 105, 197  
 cuvette  
 -, specifications 445  
 --, listing 445  
 cystine aminopeptidase  
 -, placenta 631  
 cystinuria  
 -, screening 303  
 cytarabine  
 -, leukaemia treatment 690  
 --, ATP 690
- dacarbazine  
 -, leukemia treatment 690  
 --, ATP 690  
 data  
 -, handling 947  
 --, structure 461  
 --, from different laboratories 461  
 definitive value 461  
 dehydroepiandrosterone  
 -, metabolism 747  
 --, placenta 747

- dehydroepiandrosterone  
 -, plasma 117  
 --, determination 117  
 -, urine 741  
 --, determination 741  
 delipidation  
 -, serum 917  
 density  
 -, measurement 233  
 --, by mechanical oscillator technique 233  
 -, plasma 615  
 --, measurement 615  
 ---, and haemolysis 615  
 depression  
 -, 3-methoxy-4-hydroxy-phenylglycol 579  
 --, urine 579  
 depressive syndrome  
 -, function test 867  
 --, neuroendocrine 867  
 desacetylcefotaxime  
 -, serum 719  
 --, determination 719  
 ---, by HPLC 719  
 -, urine 719  
 --, determination 719  
 ---, by HPLC 719  
 detectability 78  
 diabetes  
 -, glycosaminoglycan, novel 672  
 -, lipoproteins 752  
 --, carbohydrate content 752  
 -, rat 901  
 diabetogenic action  
 -, thyroid hormone 738  
 diagnostic significance  
 -, tumour marker 821  
 dialysis  
 -, and lipoproteins 751  
 diethylstilboestrol  
 -, receptor binding 729  
 differentiation  
 -, leukocytes 647, 691, 692  
 --, *May-Grünwald-Giemsa* staining 691  
 digitonin  
 -, enzyme release 674  
 --, by rat heart 674  
 $\Delta\alpha$ -dihydrotestosterone  
 -, and sex-hormone binding globulin 730  
 2,4-dinitrophenol  
 -, enzyme release 674  
 --, by rat heart 674  
 disc electrophoresis  
 -, proteins 53  
 --, urine 53  
 ---, value, diagnostic 53  
 diurnal variation see also variation  
 -, prostatic acid phosphatase 297  
 dopamine  
 -, plasma 367, 413  
 --, exercise 367  
 --, radioenzymatic assay 367  
 doxorubicin  
 -, leukaemia treatment 690  
 --, ATP 690  
 drugs  
 -, and alcohol 721  
 -, interference 385
- Duchenne* muscular dystrophy  
 -, creatine kinase 675  
 --, cord blood 675  
 --, serum 675  
*Dyggve-Melchior-Claussen* syndrome  
 -,  $\alpha_2$ -macroglobulin 67  
 --, serum 67
- ECCLS  
 -, byelaws 637  
 --, revised 637  
 edema  
 -, hereditary angioneurotic 17  
 EDTA  
 -, lead elimination 163  
 elastase  
 -, leukocyte 699  
 --, determination 699  
 electroimmunoassay  
 -, apolipoprotein A-I 917  
 -, apolipoprotein A-II 917  
 elimination  
 -, lead 163  
 emergency analyses 693  
 emergency laboratory  
 -, information system 39  
 emission spectral analysis  
 -, aluminium 591  
 EMIT  
 -, methotrexate 169  
 encephalitis  
 -, viral 717  
 --, IgG 717  
 encephalomyelitis  
 -, experimental allergic 1  
 endometrium  
 -, steroid receptors 654  
 endotoxaemia  
 -, proteases 671  
 --, and protease inhibitors 671  
 enzyme  
 -, activities 649  
 --, physical exercise 649  
 ---, extracellular fluid 649  
 enzyme immunoassay  
 -, antiepileptics 720  
 -, heterogeneous 197  
 -, homogeneous 197  
 -, hormone determination 662  
 -, marker enzymes 197  
 -, mechanization 197  
 -, methotrexate 169  
 -, oestradiol-17 $\beta$  664  
 -, oestrogens 327, 735  
 -, placental lactogen 735  
 -, pregnancy-specific  $\beta_1$ -glycoprotein 710  
 -, reliability 197  
 --, criteria of 197  
 -, testosterone 661  
 -, triiodothyronine 718  
 enzyme linked immunosorbent assay  
 -, peroxidase assay 345  
 enzymes  
 -, catabolism 679  
 --, two-compartment model 679  
 -, cellular 666  
 --, in extracellular space 666  
 -, determination 89  
 --, IFCC methods 89  
 -, differentiation 379  
 --, by lectins 379  
 -, elimination 666
- enzymes  
 -, glycosaminoglycan depolymerizing 672  
 --, scoliotic children 672  
 -, markers 197  
 --, enzyme immunoassay 197  
 -, release 674  
 --, rat heart 674  
 ---, by  $\text{Ca}^{2+}$ -paradox 674  
 ---, by digitonin 674  
 ---, by 2,4-dinitrophenol 674  
 --, urine 686  
 --, kidney damage 686  
 enzyme tests  
 -, risk populations 763  
 --, identification 763  
 epidural analgesia  
 -, bupivacaine 351  
 --, determination 351  
 epinephrine  
 -, plasma 367, 413  
 --, exercise 367  
 --, radioenzymatic assay 367  
 epoxide hydrolase 775  
 epoxides  
 -, steroids 937  
 --, carcinogenesis 937  
 $16\alpha, 17\alpha$ -epoxy-4-androsten-3-one 937  
 $16\alpha, 17\alpha$ -epoxyoestratrienol 937  
 $16\alpha, 17\alpha$ -epoxyprogesterone 937  
 errors  
 -, differentiation 433  
 erythrocytes see also blood, cord blood  
 -, cerebrospinal fluid 7  
 -, cord blood 771  
 --, catalase 771  
 --, glutathione peroxidase 771  
 --, superoxide dismutase 771  
 -, magnesium 257  
 -, maternal 771  
 --, catalase 771  
 --, glutathione peroxidase 771  
 --, superoxide dismutase 771  
 -, membrane 377  
 --, glycoproteins 377  
 -, oxygen dissociation curves 689  
 -, reference values 621  
 estrogen see oestrogen  
 ethanol  
 -, and  $\gamma$ -glutamyltransferase 237  
 --, microdetermination 722  
 ethosuximide  
 -, serum 339  
 --, gas chromatography 339  
 ethoxycumarine-O-deethylase 775  
 evaluation  
 -, instruments 693  
 --, principles 693  
 excretion  
 -, magnesium 257  
 exercise  
 -, catecholamine response 367  
 --, physical 649, 651, 652, 707, 708  
 --, enzyme activities 649  
 --, extracellular fluid 649  
 --, HDL-cholesterol 707
- exercise  
 -, physical  
 --, lactate 652  
 ---, formation kinetics 652  
 --, lipid metabolism 708  
 ---, in insulin deficiency 708  
 --, lipoproteins 652  
 --, metabolism 651  
 --, somatotropin release 708  
 ---, in pancreatectomized men 708  
 -, renin 367  
 extracellular fluid  
 -, enzyme activities 649  
 --, physical exercise 649  
 extracellular space  
 -, enzymes 666  
 --, cellular 666  
 extraction  
 -, bupivacaine 351  
 --, catecholamines 367  
 --, steroids 355
- F-CB3  
 --, radioimmunoassay 711  
 factor VIII-related antigen  
 --, radioimmunoassay 711  
 faeces  
 -, blood 695  
 --, occult 695  
 --, chymotrypsin 695  
 fast red TR 603  
 fenoterol  
 -, and hormones in pregnancy 748  
 --, tocolysis 687  
 ferritin  
 -, particle counting immunoassay 701  
 feto- see foeto-fibrinolysis  
 --, determination 659  
 --, chromogenic substrates 659  
 --, regulation 657  
 fibronectin  
 -, body fluids 702, 797  
 --, laser nephelometry 702, 797  
 -, plasma 893  
 --, laser nephelometry 893  
 --, liver diseases 893  
 fibrinopeptide-A  
 --, radioimmunoassay 711  
 fibroblasts  
 -, alcohol dehydrogenase 699  
 --, aldehyde dehydrogenase 699  
 flow diagram  
 -, 5'-nucleotidase 333  
 --, uric acid 363  
 fluorometry  
 -, clobazepam 209  
 fluorouracil  
 -, leukaemia treatment 690  
 --, ATP 690  
 $\alpha$ -foetoprotein 821  
 --, particle counting immunoassay 701  
 folate  
 -, binding 715, 716  
 --, to cow's milk protein 715  
 --, to leukaemia serum protein 716  
 Friedewald formula 751  
 fucosyltransferase  
 -, serum 670  
 --, tumour therapy monitoring 670

- function test  
 -, neuroendocrine 867  
 --, for affective diseases 867
- galactans  
 -, and lectins 376
- galactosyltransferase II  
 -, tumour marker 763
- gas chromatography  
 -, antiepileptics 720  
 -, antipyrine® 817  
 -, bupivacaine 351  
 -, carbamazepin 227  
 -, clobazepam 209  
 -, ethosuximide 339  
 -, 3-methoxy-4-hydroxy-phenylglycol 579  
 -, phenazone 817  
 -, phenobarbital 227  
 -, phenytoin 227  
 -, primidone 227  
 -, valproic acid 339, 497
- gestosis  
 -, uric acid 749
- glomerula  
 -, kidney 901  
 --, isolated 901  
 ---, metabolism 901  
 ----, and insulin 901
- glucagon  
 -, and cAMP 909  
 --, plasma 909
- glucose  
 -, bivariate reference range 745  
 --, CSF/serum 745  
 -, blood 129, 149, 255, 275  
 --, determination 255, 275  
 ---, kinetic 275  
 --, and deproteinization 129  
 -, cerebrospinal fluid 275, 745  
 --, cisternal 745  
 --, determination 275  
 ---, kinetic 275  
 --, lumbar 745  
 --, ventricular 745  
 -, determination 885  
 --, blood 885  
 ---, hemolysed 885  
 -, metabolism 901  
 --, glomerula 901  
 -, monitoring 732  
 -, serum 49, 867  
 --, after insulin 867  
 --, after thyroliberin 867  
 --, kinetic determination 49  
 ---, hexokinase method 49  
 -, urine 275, 703  
 --, determination 275  
 ---, kinetic 275
- glucose dehydrogenase  
 -, glucose determination 255
- glucose-6-phosphate dehydrogenase  
 -, inhibition 49  
 --, competitive 49
- $\beta$ -glucuronidase  
 -, amniotic fluid 611  
 --, and sex of the child 611
- glucuronidation 307
- $\gamma$ -glutamyltransferase  
 -, histochemistry 237  
 -, isoenzymes 673  
 -, liver 237  
 --, and ethanol 237  
 -, plasma 237  
 --, and ethanol 237
- glutathione  
 -, depletion 713  
 --, copper excretion 713  
 --, zinc excretion 713
- glutathione peroxidase  
 -, erythrocytes 771  
 --, cord blood 771  
 --, maternal 771
- glutathione reductase  
 -, receptor model 724
- goitre 909
- granulocyte  
 -, migration 723  
 --, and bee venom peptides 723
- guaiac test 695
- glycerol-2-phosphate  
 -, inhibitor 781  
 --, 5'-nucleotidase 781
- glycerophosphatides  
 -, and clotting tests 711  
 --, determination 711  
 --, enzymatic 711
- glycine  
 -, bile acid conjugation 407  
 --, colorimetry 407
- glycoconjugate-associated antigens  
 -, neoplastic cells 716  
 --, and monoclonal cold agglutinins 716
- glycoproteins  
 -, carbohydrate content 31  
 -, desialylated 31  
 --, fate 31  
 ---, in mouse circulation 31  
 --, erythrocyte membrane 377  
 --, interaction 379  
 --, lectins 379  
 --, lymphocyte membrane 377
- glycosaminoglycan  
 -, novel 672  
 --, in diabetics 672
- glycosaminoglycans  
 -, depolymerizing enzymes 672  
 --, scoliotic children 672
- , rat 279  
 --, liver 279  
 --, serum 279
- haematin D-575 689
- haematocrit  
 -, fenoterol 687  
 --, reference values 621
- , verapamil 687
- haematology  
 -, quality control 649  
 --, spin label method 648
- haemodialysis  
 -,  $\alpha_1$ -antitrypsin 241  
 --, serum 241
- haemoglobin  
 -, determination 689  
 --, by alkaline haematin D-575 689  
 --, fenoterol 687  
 --, glycosylated 686  
 --, chronic renal failure 686
- , reference values 621  
 -, verapamil 687
- haemolysate  
 -, glucose 885
- haemolysis  
 -, interference 615  
 --, density measurement 615  
 --, reagent 255, 885
- haemostasis 545
- haemolyzing agent 255, 885
- hair roots  
 -, alcohol dehydrogenase 699
- , aldehyde dehydrogenase 699
- , catechol-O-methyltransferase 672
- HDL-cholesterol  
 -, determination 705  
 --, exercise, physical 707  
 --, method comparison 752  
 --, plasma 737  
 --, and thyroid state 737
- , and pseudocholinesterase 684
- HDL  
 -, apolipoprotein-A 917
- heart  
 -, coronary disease 749  
 --, lipoproteins 749  
 --, magnesium 257  
 --, rat 674  
 --, enzyme release 674  
 --, by  $\text{Ca}^{2+}$ -paradox 674  
 --, by digitonin 674  
 --, by 2,4-dinitrophenol 674
- hemo- see haemo-
- heparin  
 -, action 710  
 --, plasma 658  
 --, determination 658  
 ---, clinical relevance 658
- hepatic fibrosis 921
- hereditary angioneurotic edema 17
- heterogeneity  
 -,  $\alpha_1$ -antitrypsin 13
- high density lipoproteins 917
- high performance liquid chromatography  
 -, aldosterone 742  
 -, cefotaxime 719  
 -, dehydroepiandrosterone 741  
 --, desacetylcefotaxime 719  
 --, 18-hydroxycorticosterone 742  
 --, testosterone 741  
 --, uric acid 702
- high voltage electrophoresis  
 -, polyamines 698
- histochemistry  
 -,  $\gamma$ -glutamyltransferase 237
- hormone  
 -, determination 662  
 --, enzyme immunoassay 662
- hydrogen ion activity 829
- 18-hydroxycorticosterone  
 -, urine 742
- , high performance liquid chromatography 742
- , radioimmunoassay 742
- hydroxylsyl glycosides  
 -, urine 287
- hydroxyproline  
 -, urine 287
- hyperlipoproteinaemia IV  
 -, bezafibrate therapy 750
- , apolipoprotein C 750
- hypermagnesaemia 257
- hyperthyroidism 909
- hypomagnesaemia 257
- hypophysis  
 -, stimulation 867
- hypothyroidism 909
- , congenital 755, 807
- , screening 755, 807
- hypoxanthine phosphoribosyl-transferase  
 --, variants 754
- ICP-spectroscopy 591
- IgA  
 -, cerebrospinal fluid 7, 245  
 --, determination 245
- IgE  
 -, serum 145  
 --, method comparison 145
- IgG  
 -, cerebrospinal fluid 7, 245  
 --, determination 245  
 --, creatine kinase binding 677, 678  
 --, neurological diseases 717  
 --, particle counting immuno-assay 701  
 --, protein-A binding 677  
 --, turbidimetric assay 501
- IgM  
 -, cerebrospinal fluid 245  
 --, determination 245
- immune complex-like material  
 -, liver cirrhosis 717  
 --, septicaemia 717
- immunoglobulins  
 -, serum 718  
 --, determination 718
- immunohistochemistry  
 -, parathyrin 739
- immunoturbidimetry  
 -, protein determination 501  
 --, measuring time interval 501  
 --, reaction medium 501
- imprecision 433
- indometacin  
 -, and purine metabolism 754
- indoxylphosphate  
 -, substrate 682  
 --, phosphatase, acid 682
- information system  
 -, emergency laboratory 39
- inhibition  
 -, arylesterase 683  
 --, by lanthanum 683  
 --, glucose-6-phosphate dehydrogenase 49  
 --, by ATP 49
- inhibitors  
 -, N-acetyl neuraminic acid 708  
 --, of thromboxane synthesis 708  
 --, Cl esterase 17
- monoamine oxidase 921
- ,  $\beta$ -aminopropionitrile 921
- , 5'-nucleotidase 781
- , sialyltransferase 271
- instruments  
 -, evaluation principles 693
- specifications 947
- insulin  
 -, antibodies 313  
 --, deficiency 708  
 --, lipid metabolism 708  
 ---, and physical exercise 708
- , magnesium metabolism 257
- , metabolic activity 901
- , glomerula 901
- , isolated 901
- , monitoring 732
- , neuroendocrine function test 867
- , plasma 313
- , urine 313

- interferences  
 --, by drugs 385  
 --, gas chromatography 339  
 ---, ethosuximide 339  
 ---, valproate 339  
 --, haemoglobin 615  
 ---, density measurement 615  
 --, proteins 697  
 ---, by dextran 697  
 --, sialyltransferase assay 271  
 --, sucrose 23  
 --, protein pattern 23  
 --, turbidity 149  
 --, uric acid assay 59, 363  
 ---, by ascorbate 363  
 interleukin-2 inducing protein 716  
 intestine  
 --, magnesium 257  
 ion exchange chromatography  
 --, catecholamine derivatives 567  
 ---, of *o*-phthalaldehyde 567  
 --, orotic acid 293  
 --, polyamines 157  
 iron  
 --, plasma 714  
 ---, method comparison 714  
 --, serum 147  
 ---, method comparison 147  
 isoelectric focussing  
 --, enzymes 631  
 ---, placental 631  
 --, polyacrylamide gel 13  
 ---, protein separation 13  
 ---, effect of urea 13  
 --, transferrins 563  
 isoenzymes  
 --, amylase 669, 673, 680, 681  
 ---, method comparison 681  
 --, creatine kinase 676, 677, 678, 679  
 --,  $\gamma$ -glutamyltransferase 673  
 --, lactate dehydrogenase 675  
 isotachophoresis  
 --, ascorbic acid 715
- 17-ketosteroids 741  
 kidney  
 --, chronic failure 686, 751  
 ---, haemoglobin 686  
 ---, glycosylated 686  
 ---, and lipoproteins 751  
 --, damage 686  
 ---, enzymes 686  
 ---, urine 686  
 --, function 551  
 ---, and pancreatic function test 551  
 --, glomerula 901  
 ---, isolated 901  
 ---, metabolism 901  
 ---, and insulin 901  
 --, lesion 378  
 ---, by neuraminidase 378  
 --, magnesium 257  
 --, maltase 685  
 --, *Tamm-Horsfall* glycoprotein 376  
 ---, characterization 376  
 --, transplantation 241, 688  
 ---,  $\alpha_1$ -antitrypsin 241  
 ---, serum 241  
 --, pepsinogens 688  
 ---, serum 688  
 kinetic method  
 --, urea 706
- kallikrein  
 --, urine 395  
 ---, radioimmunoassay 395
- lactate  
 --, cerebrospinal fluid 746  
 ---, meningitis purulenta 746  
 --, physical exercise 652
- lactate dehydrogenase  
 --, isoenzyme, sixth 675  
 ---, in cardiogenic shock 675  
 --, reference values 305  
 ---, age dependency 305
- lanthanum  
 --, arylesterase inhibition 683
- laser nephelometry 221, 245  
 --, fibronectin 702, 797, 893
- , lectin-glycoprotein interaction 379
- LDL-cholesterol  
 --, Friedewald formula 751  
 --, method comparison 752  
 --, significance 751
- lead  
 --, elimination 163
- lectin  
 --, receptors 377, 384  
 ---, leukemia cells 377  
 --, mammary gland 384  
 --, sponge 380  
 ---, function 380
- lectins  
 --, affinity chromatography 381  
 --, definition 373  
 --, enzyme differentiation 379  
 --, galactose specific 376  
 ---, and galactans 376  
 --, interaction 379  
 --, glycoproteins 379  
 --, invertebrates 373  
 --, plants 373  
 --, protein binding 382  
 --, receptors 380  
 --, plexus chorioideus 380  
 --, specificity 373  
 --, structure 382  
 --, trypanosome characterization 383  
 --, vertebrates 373
- Lesch-Nyhan* syndrome  
 --, fibroblasts 754  
 ---, metabolism 754
- leukaemia  
 --, cells 377, 655, 690  
 --, ATP 690  
 ---, and cytotoxic substances 690  
 --, glucocorticoid receptors 655  
 --, lectin receptors 377  
 --, serum 716  
 --, folate binding 716
- leukocytes  
 --, cerebrospinal fluid 7  
 --, counting 691  
 --, differentiation 647, 691, 692  
 --, elastase 699  
 --, reference values 621
- lipids  
 --, metabolism 708  
 ---, in insulin deficiency 708  
 ---, and physical exercise 708
- lipoprotein lipase 753  
 lipoprotein X  
 --, catabolism 754
- lipoproteins see also HDL, LDL, VLDL  
 --, carbohydrate content 752  
 --, and dialysis 751  
 --, method comparison 753  
 --, physical exercise 652  
 --, serum 749  
 ---, coronary heart disease 749
- $\beta$ -lipotropin  
 --, preparation 736  
 --, determination 736
- lithium  
 --, therapy 867  
 ---, depressive patients 867
- liver  
 --, carbon tetrachloride poisoning 111  
 --, cell injury 684  
 ---, proteoglycan synthesis 684  
 --, cirrhosis 137, 717  
 ---, corticosteroid binding globulin 137  
 ---, immune complex-like material 717  
 ---, sex hormone binding globulin 137  
 --, chronic diseases 737  
 ---, sex hormones 737  
 ---, thyroid hormones 737  
 --, diseases 893  
 --, fibronectin 893  
 --, fibrosis 921  
 ---, and monoamine oxidase 921  
 ---, serum 921  
 --, foetal 748  
 --, adenylate cyclase 748  
 ---, and chorionic gonadotropin 748  
 --,  $\gamma$ -glutamyltransferase 237  
 ---, and ethanol 237  
 --, glycosaminoglycans 279  
 --, injury 111, 279  
 ---, proteins 111  
 ---, ribosomal 111  
 --, rat 279  
 --, magnesium 257  
 logit transformation 105  
 lung  
 --, diseases 13  
 ---,  $\alpha_1$ -antitrypsin 13  
 --, maturity 749
- lymph nodes  
 --, magnesium 257
- lymphocytes  
 --, membrane 377  
 --, glycoproteins 377
- lysozyme 694
- macro creatine kinase 677, 678
- $\alpha_2$ -macroglobulin  
 --, chromogenic assay 671  
 --, plasma 221
- , determination 221  
 --, serum 67
- , *Dygge-Melchior-Clausen* syndrome 67  
 --, serum/CSF gradient 671
- magnesium  
 --, analysis 257  
 --, biochemical functions 257  
 --, distribution 257  
 ---, extra/intracellular 257  
 --, hormonal regulation 257  
 --, organelles 257  
 --, excretion 257  
 --, human body 257
- magnesium  
 --, organs 257  
 --, physico-chemical state 257  
 ---, extra/intracellular 257  
 --, organelles 257  
 --, plasma 257  
 --, resorption 257  
 --, serum 257  
 --, transport 257
- magnetic solid-phase radioimmuno-assay 706
- maltase  
 --, determination 685  
 ---, kidney preparation 685  
 ---, urine 685
- mammary carcinoma  
 --, oestrogen receptors 653
- mammary gland  
 --, lectin receptors 384
- malnutrition  
 --, protein 287  
 ---, collagen metabolites 287  
 ---, urine 287
- mass spectrometry  
 --, steroid epoxides 937
- mast cell degranulating peptide  
 --, membrane interaction 723
- matrix effects  
 --, precision 461
- May-Grünwald-Giemsa* staining 691
- MCH  
 --, reference values 621
- MCHC  
 --, reference values 621
- MCV  
 --, reference values 621
- mechanical oscillator technique  
 --, density 233  
 ---, measurement of 233
- mechanization  
 --, definition 455
- , enzyme immunoassay 197
- medroxyprogesterone  
 --, receptor binding 729
- melanoma  
 --, steroid binding 724
- melatonin  
 --, synchronization of cell function 763
- melittin 723
- membrane  
 --, interaction 723  
 ---, of mast cell degranulating peptide 723
- meningitis purulenta  
 --, lactate 746  
 ---, cerebrospinal fluid 746
- mercury  
 --, determination 714
- , atomic absorption spectrometry 714
- metabolism  
 --, physical exercise 651
- metanephrine  
 --, thin-layer chromatography 413
- methionine adenosyltransferase  
 --, schizophrenia 763
- method comparison  
 --, amylase isoenzymes 681
- , blood alcohol 721
- , cholesterol 595, 752
- , IgE 145
- , iron 147, 714
- , lipoproteins 753
- , oestrogens 731
- , phosphatase, acid 681

- method comparison  
 -, protein, total 697  
 -, statistical problems 433  
 -, thyrotropin 807  
 --, radioimmunoassay 807  
 -, uric acid 702  
 method dependence  
 -, assigned values 461  
 -, precision 461  
 method description 78  
 methotrexate  
 -, serum 169  
 --, enzyme immunoassay 169  
 3-methoxy-4-hydroxyphenylglycol  
 -, urine 579  
 --, gas chromatography 579  
 3-methoxytyramine  
 -, thin-layer chromatography 413  
 N1-methyl adenosine  
 -, urine 696  
 --, determination 696  
 methylation  
 -, enzymatic 413  
 --, catecholamines 413  
 N7-methyl guanosine  
 -, urine 696  
 --, determination 696  
 3N-methylhistidine  
 -, urine 756  
 --, and muscle catabolism 756  
 5-methyltetrahydrofolate  
 -, binding 715  
 --, to cow's milk protein 715  
 methyltriolone  
 -, receptor binding 729  
**Michaelis constant**  
 -, C1 esterase 17  
 mitochondria  
 -, creatine kinase 679  
 monoamine oxidase  
 -, determination 921  
 --, serum 921  
 ---, in hepatic fibrosis 921  
 -, inhibition 921  
 --, by  $\beta$ -aminopropionitrile 921  
 -, schizophrenia 763  
**morbus Crohn**  
 -, fibronectin 797  
**mucopolysaccharidoses** 67  
**multiple sclerosis**  
 -, IgG 717  
**muscle**  
 -, catabolism 755  
 --, 3N-methylhistidine 755  
 ---, urine 755  
 -, magnesium 257  
**myelin basic protein**  
 -, enzyme immunoassay 345  
**myocardial infarction**  
 -, creatine kinase-MB 676  
 -, enzymes 679  
  
**NADPH-cytochrome reductase**  
 775  
**1-naphthol**  
 -, coupling 603  
 --, with fast red TR 603  
**neonates**  
 -, bilirubin 27  
 --, serum 27  
 ---, survey report 27  
 -, calcitonin 747  
 -, parathyroid 747  
  
**neoplastic cells**  
 -, glycoconjugate-associated antigens 716  
 --, and monoclonal cold agglutinins 716  
**nephelometry**  
 -, laser 221  
 --,  $\alpha_2$ -antiplasmin 221  
 --, antithrombin III 221  
 --,  $\alpha_2$ -macroglobulin 221  
 -, proteins 123, 245  
 --, cerebrospinal fluid 123, 245  
**nephrotic syndrome** 381  
**neuraminidase**  
 -, kidney lesion 378  
**neurophysins**  
 -, preparation 736  
**neurosyphilis**  
 -, IgG 717  
**neutron activation analysis**  
 -, aluminium 403  
 -, phosphorus 403  
**nickel**  
 -, inhibitor 781  
 --, 5'-nucleotidase 781  
**non-carboxylated coagulation factors** 710  
**norepinephrine**  
 -, plasma 367, 413  
 --, exercise 367  
 --, radioenzymatic assay 367  
**normal range**  
 -, corticosteroid binding globulin 137  
 -, sex hormone binding globulin 137  
**normetanephrine**  
 -, thin-layer chromatography 413  
**nucleic acids**  
 -, metabolism 901  
 --, glomerula 901  
**5'-nucleotidase**  
 -, inhibitors 781  
 --, spectrophotometric assay 781  
 -, serum 333  
 --, AutoAnalyzer II 333  
**oestradiol**  
 -, and sex-hormone binding globulin 730  
**oestradiol-17 $\beta$**   
 -, enzyme immunoassay 664  
**oestradiol-fluorescein conjugate** 727  
**oestriol**  
 -, pregnancy 748  
**oestrogens**  
 -, binding 724  
 --, melanoma 724  
 -, enzyme immunoassay 735  
 -, receptor 653, 728  
 --, capacity modulation 728  
 ---, by phosphatidyl choline 728  
 --, melanoma 653  
 -, serum 327  
 --, total 327  
 ---, enzyme immunoassay 327  
 -, urine 731  
 --, method comparison 731  
**oligosaccharides**  
 -, affinity chromatography 381  
 -, separation 381  
**organization**  
 -, laboratory 455  
  
**organ preservation**  
 -, heavy water 747  
**organs**  
 -, alcohol dehydrogenase 699  
 -, aldehyde dehydrogenase 699  
**ornithine transcarbamylase**  
 -, deficiency 293  
**orotic acid**  
 -, urine 293  
 --, determination 293  
**oscillator technique**  
 -, density measurement 615  
**osmolality** 829  
**osmotic concentration** 829  
**outliers**  
 -, recognition 433  
**oxygen**  
 -, dissociation curves 689  
 --, determination 689  
 -, half saturation pressure 690  
 --, determination 690  
 -, partial pressure 829  
  
**palmitic acid**  
 -, free 193  
 --, in bile 193  
**pancreas**  
 -, diseases 763  
 --, trypsin 763  
 -, function test 551  
 --, oral 551  
 ---, N-benzoyl-L-tyrosyl-p-aminobenzoic acid 551  
 ----, and renal function 551  
**pancreatectomy**  
 -, and somatotropin release 708  
 --, physical exercise 708  
**paracetamol**  
 -, copper excretion 713  
 -, zinc excretion 713  
**parathyrin**  
 -, adsorption on surfaces 595  
 -, assay 664  
 -, localization 739  
 --, immunohistochemical 739  
 -, magnesium metabolism 257  
 -, radioimmunoassay 739, 789  
 --, homologous 789  
 --, influence of the tracer 739  
 -, serum 747  
 --, neonates 747  
 --, pregnancy 747  
**particle counting immunoassay**  
 -, proteins 701  
 -, thyroxine 701  
**PCV**  
 -, reference values 621  
**penicillamine**  
 -, copper excretion 713  
 -, zinc excretion 713  
**pepsinogens**  
 -, serum 688, 700  
 --, radioimmunoassay 688, 700  
**peptide hormones**  
 -, reversed-phase chromatography 731  
**peptides**  
 -, bee venom 723  
 --, and granulocyte migration 723  
  
**perfusion**  
 -, placenta 747  
 ---, dehydroepiandrosterone metabolism 747  
**peroxidase**  
 -, assay 345  
 --, enzyme immunoabsorbent assay 345  
**pH** 829  
**phage test** 1  
**phenazone**  
 -, plasma 817  
 --, gas chromatography 817  
**phenobarbital**  
 -, serum 227  
 --, determination 227  
**phenylalanine**  
 -, metabolism 755  
 --, pregnancy 755  
**phenylketonuria** 755  
**phenylpyruvic acid**  
 -, blood 755  
**phenytoin**  
 -, serum 227  
 --, determination 227  
**phosphatase, acid**  
 -, determination 603  
 --, continuous 603  
 -, prostate 669, 681, 682  
 --, method comparison 681  
 -, prostate carcinoma 297  
 -, prostatic 627  
 --, determination 627  
**phosphatase, alkaline**  
 -, stabilization 698  
**phosphatidyl choline**  
 -, oestrogen receptor 728  
 --, capacity modulation 728  
**phospholipids**  
 -, unsaturated 750  
 --, serum 750  
**phosphorus**  
 -, bone biopsy 403  
 --, neutron activation analysis 403  
**phosphorylation**  
 -, proteins 111  
 --, carbon tetrachloride poisoning 111  
**physical chemistry**  
 -, quantities and units 829  
**pineal gland**  
 -, synchronization of cell function 763  
**placenta**  
 -, aminopeptidases 631  
 -, cystine aminopeptidase 631  
 -, dehydroepiandrosterone metabolism 747  
 -, proteins 821  
**placental lactogen** 748  
 -, enzyme immunoassay 735  
**plasma** see also blood, serum  
 -, adrenal steroid hormones 740  
 --, circadian variation 740  
 --, episodic variation 740  
 -, 5-androsten-3 $\beta$ , 17 $\beta$ -diol 117  
 --,  $\alpha_2$ -antiplasmin 221  
 --, antipyrene® 817  
 --, gas chromatography 817  
 --, after glycagon 909

- plasma see also blood, serum  
 -, catecholamines 413, 431  
 --, conjugated 431  
 ---, determination 413  
 ----, radioenzymatic 413  
 -, colloid osmotic pressure 233  
 -, corticotropin 740  
 --, circadian variation 740  
 --, episodic variation 740  
 -, cortisol 740  
 --, diurnal variation 740  
 -, C-peptide 313  
 -, C-reactive protein 701  
 -, dehydroepiandrosterone 117  
 -, density 615  
 --, and haemolysis 615  
 -, dopamine 367  
 -, enzymes 89  
 --, IFCC methods 89  
 -, epinephrine 367  
 -, fibronectin 797, 893  
 --, liver diseases 893  
 -,  $\gamma$ -glutamyltransferase 237  
 --, and ethanol 237  
 -, HDL-cholesterol 737  
 --, and thyroid state 737  
 -, heparin 658  
 --, clinical relevance 658  
 --, determination 658  
 -, insulin 313  
 -, iron 714  
 --, method comparison 714  
 -,  $\alpha_2$ -macroglobulin 221  
 -, magnesium 257  
 -, norepinephrine 367  
 -, peptide hormones 731  
 --, separation 731  
 -, phenazone 817  
 --, gas chromatography 817  
 -, polyamines 157  
 -, proinsulin 313  
 -, protein 744  
 --, variation 744  
 -, proteins 615  
 --, determination 615  
 ---, oscillator technique 615  
 -, renin 367  
 -,  $\beta$ -thromboglobulin 656  
 --, clinical significance 656  
 --, determination 656  
 platelets  
 -, adenosine nucleotides 712  
 -, reference values 621  
 -, tetrahydro- $\beta$ -carboline 133  
 -, tetrahydronorharmane 133  
 -, thromboxane synthesis 708  
 --, inhibition 708  
 ---, by N-acetyl neuraminic acid 708  
 plausibility  
 -, intervals 694  
 --, age 694  
 --, sex 694  
 plexus chorioideus  
 -, lectin receptors 380  
 podocytes  
 -, glomerular 381  
 --, and lectins 381  
 polyacrylamide gel electrophoresis  
 -, sample preparation 23  
 polyamines  
 -, plasma 157  
 --, determination 157  
 -, urine 157, 698  
 --, cancer patients 698  
 --, determination 157
- polyarthritis, chronic  
 -, N-acetylglucosaminidase 53  
 --, urine 53  
 -, proteins 53  
 --, urine 53  
 ----, dielectrophoresis 53  
 potassium  
 -, urine 703  
 practicability 78  
 prealbumin  
 -, cerebrospinal fluid 7, 245, 746  
 --, determination 245  
 precision 69, 78, 433  
 -, matrix effects 461  
 -, method comparison 461  
 prednisone  
 -, leukemia treatment 690  
 --, ATP 690  
 pregnancy  
 -, calcitonin 747  
 --, complications therapy 748  
 --, and oestriol 748  
 --, and placental lactogen 748  
 --, and progesterone 748  
 -, parathyroid 747  
 -, phenylalanine 755  
 --, metabolism 755  
 -, progesterone 355  
 --, urine 355  
 pregnancy monitoring  
 -, pregnancy-specific  $\beta_1$ -glycoprotein 701  
 pregnancy specific  $\beta_1$ -globulin 821  
 pregnancy-specific  $\beta_1$ -glycoprotein  
 -, enzyme immunoassay 701  
 -, radioimmunoassay 701  
 -, pregnancy monitoring 701  
 -, tumour marker 701  
 pressure  
 -, colloid osmotic 233  
 -, partial 829  
 --, carbon dioxide 829  
 --, oxygen 829  
 primidone  
 -, serum 227  
 --, determination 227  
 processor  
 -, specifications 947  
 progesterone  
 -, pregnancy 748  
 -, radioimmunoassay 734  
 -, urine 355  
 --, determination 355  
 progesterone  
 -, binding 724  
 --, melanoma 724  
 proinsulin  
 -, plasma 313  
 -, urine 313  
 prolactin  
 -, serum 867  
 --, after insulin 867  
 --, after thyroliberin 867  
 promegestone  
 -, receptor binding 729  
 prostate  
 -, carcinoma 297  
 --, phosphatase, acid 297  
 -, phosphatase, acid 627, 669, 681, 682  
 --, determination 627, 681, 682  
 ----, with indoxylphosphate 682
- protease  
 -, inhibitors 671  
 --, in endotoxaemia 671  
 proteases  
 -, amniotic fluid 749  
 protein  
 -, cow's milk 715  
 --, folate binding 715  
 --, 5-methyltetrahydrofolate binding 715  
 --, determination 501  
 --, immunoturbidimetry 501  
 --, interleukin-2 inducing 716  
 --, serum 716  
 -, leukaemia serum 716  
 --, folate binding 716  
 --, malnutrition 287  
 --, metabolism 901  
 --, glomerula 901  
 --, plasma 744  
 --, variation 744  
 --, synthesis 111  
 --, liver 111  
 ----, after carbon tetrachloride 111  
 --, total 687, 696, 697  
 --, determination 696, 697  
 ----, method comparison 697  
 --, fenoterol 687  
 --, verapamil 687  
 protein-A  
 -, IgG binding 677  
 -, macro enzyme binding 677  
 protein binding  
 -, clobazepam 209  
 protein pattern  
 -, cerebrospinal fluid 23  
 --, and sample preparation 23  
 proteins  
 -, cerebrospinal fluid 123  
 --, nephelometry 123  
 -, lectin binding 382  
 -, placental 821  
 --, plasma 615  
 --, determination 615  
 ----, oscillator technique 615  
 -, stabilization 684  
 --, by heavy water 684  
 -, urine 53  
 --, disc electrophoresis 53  
 ----, value, diagnostic 53  
 proteoglycans  
 -, synthesis 684  
 --, in liver cell injury 684  
 pseudocholinesterase  
 -, and HDL-cholesterol 684  
 purines  
 -, metabolism 754  
 --, *Lesch-Nyhan* syndrome 754  
 putrescine  
 -, determination 157
- quality  
 -, requirements 861  
 --, health care 861  
 quality control 855, 861  
 -, assessment of methods 78  
 -, biotransformation enzymes 775  
 -, haematology 649  
 -, internal 535  
 --, principles 69, 78  
 --, radioimmunoassay 215  
 --, survey, external 183, 511  
 --, cortisol 183  
 --, thyroxine 511  
 --, triiodothyronine 511
- quality control  
 -, terminology 69  
 quantities 829
- radioenzymatic assay  
 --, catechol-O-methyltransferase 672  
 --, hair root cells 672  
 radioimmunoassay  
 -, aldosterone 742  
 -, 5-androsten-3 $\beta$ , 17 $\beta$ -diol 117  
 -, anti-Factor VIII clotting activity 711  
 -, apolipoprotein A-I 917  
 -, apolipoprotein A-II 917  
 -, cAMP 732  
 --, inhibition by EDTA 732  
 -, chenodeoxycholic acid 491  
 -, cholic acid 491  
 -, confidence intervals 879  
 --, creatine kinase-B 678, 679  
 -, data 660  
 --, computer processing 660  
 -, dehydroepiandrosterone 117, 741  
 --, evaluation 215, 879  
 -, Factor VIII-related antigen 711  
 -, F-CB3 711  
 -, fibrinopeptide-A 711  
 -, homologous 789  
 --, parathyroid 789  
 --, 18-hydroxycorticosterone 742  
 -, kallikrein 395  
 -, magnetic solid-phase 706  
 -, pepsinogens 688  
 -, phosphatase, acid 681, 682  
 -, pregnancy-specific  $\beta_1$ -glycoprotein 701  
 -, progesterone 734  
 --, quality control 215  
 --, parathyroid 739  
 --, influence of the tracer 739  
 -, solid phase 585  
 --, parathyroid 585  
 -, somatostatin 734  
 -, standard curve 105  
 --, calculation 105  
 --, standardization 659  
 -, testosterone 741  
 -, thyrotropin 807  
 --, method comparison 807  
 -, thyroxine 571, 700  
 --, separation system 700  
 -, triiodothyronine 571  
 radioimmunosorbent test  
 -, IgE 145  
 radioreceptor assay  
 -, somatostatin 734  
 rapid tests  
 -, CSF diagnosis 7  
 --, sensitivity 7  
 rat  
 -, glycosaminoglycans 279  
 --, liver 279  
 --, serum 279  
 RBC  
 -, reference values 621  
 receptors  
 -, cAMP 656  
 --, tissue 656  
 ----, malignant 656  
 -, glucocorticoid 655  
 --, leukaemia cells 655  
 --, oestrogen 653, 728  
 --, capacity modulation 728  
 ----, by phosphatidyl choline 728  
 --, mammary carcinoma 653

- receptors  
 -, steroid 654, 725, 726, 727, 728, 729  
 ---, determination 725, 726, 727, 728, 729  
 ---, endometrium 654  
 ---, stability 726  
 -, studies 653  
 ---, principles 653  
 reference material  
 -, coagulation 744  
 reference range  
 -, glucose 745  
 ---, bivariate 745  
 ---, CSF/Serum 745  
 reference values  
 -, aluminium 591  
 ---, serum 591  
 -, children 713  
 ---, copper 713  
 ---, serum 713  
 ---, urine 713  
 ---, zinc 713  
 ---, serum 713  
 ---, urine 713  
 -, haematology 621  
 -, lactate dehydrogenase 305  
 ---, age dependency 305  
 reliability  
 -, criteria 197  
 ---, enzyme immunoassay 197  
 renal damage  
 -, tubular 53  
 ---, N-acetylglucosaminidase 53  
 ---, urine 53  
 ---, disc electrophoresis 53  
 ---, urine proteins 53  
 renin  
 -, plasma 367  
 ---, exercise 367  
 renin-angiotensin-aldosterone system  
 -, fenoterol 687  
 -, verapamil 687  
 resorption  
 -, magnesium 257  
 reversed-phase chromatography  
 -, peptide hormones 731  
 ribosomes  
 -, proteins 111  
 ---, in liver injury 111  
 rifampicin  
 -, and cortisol 897  
 ---, blood 897  
 ---, of men 897  
 -, and testosterone 897  
 ---, blood 897  
 ---, of men 897  
 risk populations  
 -, identification 763  
 ---, enzyme tests 763
- sample  
 -, preparation 23  
 ---, polyacrylamide gel electrophoresis 23  
 -, processor 692  
 sampling  
 -, specifications 947  
 Scherer medal 929  
 schizophrenia  
 -, methionine adenosyltransferase 763  
 „Schneller Block“ 693  
 scintigraphy  
 -, immune 821
- scoliosis  
 -, in children 672  
 ---, glycosaminoglycans 672  
 screening  
 -, cystinuria 303  
 ---, hypothyroidism 755, 807  
 ---, congenital 755, 807  
 seminal plasma  
 -, fibronectin 797  
 septicaemia  
 -, immune complex-like material 717  
 serotonin  
 -, synchronization of cell function 763  
 serum see also blood, plasma  
 -, albumin 96  
 ---, standard 96  
 -, aluminium 591  
 ---, emission spectral analysis 591  
 -, antiepileptics 720  
 ---, enzyme immunoassay 720  
 ---, gas chromatography 720  
 -, bilirubin, total 27  
 ---, neonates 27  
 ---, survey report 27  
 -, carbamazepine 227  
 -, carcinoembryonic antigen 175  
 -, calcitonin 747  
 ---, neonates 747  
 ---, pregnancy 747  
 -, cefotaxime 719  
 -, chenodeoxycholic acid 491  
 -, cholesterol 752  
 -, cholic acid 491  
 -, clobazepam 209  
 -, copper 712, 713  
 ---, determination 712  
 ---, reference values 713  
 ---, children 713  
 -, corticosteroid binding globulin 137  
 -, cortisol 183, 867  
 ---, after insulin 867  
 ---, quality control survey 183  
 ---, after thyroliberin 876  
 -, creatine kinase 675, 676, 679  
 ---, Duchenne muscular dystrophy 675  
 ---, isoenzymes 676, 679  
 ---, acute myocardial infarction 676  
 ---, acute craniocerebral damage 676  
 -, creatinine 385, 423  
 ---, determination 385  
 ---, variation 423  
 -, deacetylcetotaxime 719  
 -, delipidation 917  
 ---, high density lipoproteins 917  
 -, apolipoproteins 917  
 -, enzymes 89  
 ---, IFCC methods 89  
 -, ethanol 722  
 ---, microdetermination 722  
 -, ethosuximide 339  
 ---, gas chromatography 339  
 -, fucosyltransferase 670  
 ---, tumour therapy monitoring 670
- serum see also blood, plasma  
 -, glucose 49, 867  
 ---, after insulin 867  
 ---, after thyroliberin 867  
 ---, kinetic determination 49  
 ---, hexokinase method 49  
 -, glycosaminoglycans 279  
 -, IgE 145  
 -, immunoglobulines 718  
 ---, determination 718  
 -, iron 147  
 -, lipoproteins 749, 752, 753  
 ---, coronary heart disease 749  
 -,  $\alpha_2$ -macroglobulin 67, 671  
 ---, *Dyggve-Melchior-Clausen* syndrome 67  
 -, magnesium 257  
 -, methotrexate 169  
 ---, enzyme immunoassay 169  
 -, monoamine oxidase 921  
 ---, in hepatic fibrosis 921  
 -, 5'-nucleotidase 333  
 -, oestrogens 327  
 -, parathyrin 747  
 ---, neonates 747  
 ---, pregnancy 747  
 -, pepsinogens 688, 700  
 ---, kidney transplantation 688  
 -, phenobarbital 227  
 -, phenytoin 227  
 -, phospholipids 705  
 ---, unsaturated 750  
 -, primidone 227  
 -, prolactin 867  
 ---, after insulin 867  
 ---, after thyroliberin 867  
 -, protein 716  
 ---, interleukin-2 inducing 716  
 -, sex hormone binding globulin 137  
 -, sex hormones 737  
 ---, liver diseases 737  
 -, sialyltransferase 271  
 -, somatotropin 867  
 ---, after insulin 867  
 ---, after thyroliberin 867  
 -, standard 99  
 ---, IFCC 74/1 99  
 -, thyroid hormones 737  
 ---, liver diseases 737  
 -, thyrotropin 755, 867  
 ---, hypothyroidism 755  
 ---, congenital 755  
 ---, after insulin 867  
 ---, after thyroliberin 867  
 -, thyroxine 571  
 ---, radioimmunoassay 571  
 -, triiodothyronine 571  
 ---, radioimmunoassay 571  
 -, urea 423  
 ---, variation 423  
 -, uric acid 363, 702, 745  
 ---, age dependency 745  
 ---, sex dependency 745  
 -, valproate 339  
 ---, gas chromatography 339  
 -, valproic acid 497  
 ---, gas chromatography 497  
 -, zinc 712, 713  
 ---, determination 712  
 ---, reference values 713  
 ---, children 713  
 sex  
 -, of the child 611  
 ---, and  $\beta$ -glucuronidase 611  
 ---, amniotic fluid 611  
 -, plausibility intervals 694
- sex dependency  
 -, uric acid 745  
 ---, serum 745  
 sex-hormone binding globulin  
 -, binding capacity 137  
 ---, in liver cirrhosis 137  
 -, and  $5\alpha$ -dihydrotestosterone 730  
 ---, and oestradiol 730  
 ---, and testosterone 730  
 sex hormones  
 -, serum 737  
 ---, liver diseases 737  
 shock  
 -, cardiogenic 675  
 ---, lactate dehydrogenase isoenzymes 675  
 sialyltransferase  
 -, inhibitors 271  
 -, serum 271  
 ---, determination 271  
 ---, interferences 271  
 significance  
 -, laboratory diagnosis 743  
 sodium  
 -, urine 703  
 somatostatin  
 -, catabolism 734  
 -, radioimmunoassay 734  
 -, radioreceptor assay 734  
 somatotropin  
 -, release 708  
 ---, in pancreatectomized men 708  
 ---, and physical exercise 708  
 -, serum 867  
 ---, after insulin 867  
 ---, after thyroliberin 867  
 specifications  
 -, analysers 947  
 ---, guidelines 947  
 specificity 78  
 spectrometers  
 -, specifications 445  
 ---, listing 445  
 spectrophotometry  
 -, turbidity 149  
 ---, influence of 149  
 spermidine  
 -, determination 157  
 spin label method  
 -, application in haematology 648  
 spleen  
 -, magnesium 257  
 spline functions 105  
 stability  
 -, alanine aminotransferase 521  
 standard  
 -, albumin 96  
 -, serum 99  
 ---, IFCC 74/1 99  
 standard curve  
 -, radioimmunoassay 105  
 ---, calculation 105  
 standardization  
 -, radioimmunoassay 659  
 standards 855  
 statistical methods 69  
 statistics  
 -, problems 433  
 ---, in method comparison 433  
 stem cell population  
 -, monitoring 648  
 ---, acute myeloid leukaemia 648

- steroid**  
 --, epoxides 937  
 --, carcinogenesis 937  
 --, extraction 355  
 --, microassays 661  
 --, receptor 725, 726, 727,  
     728, 729  
 --, determination 725, 726,  
     727, 728, 729  
 --, stability 726  
**stimulation**  
 --, hypophysis 867  
**stomach**  
 --, magnesium 257  
**streptomycin**  
 --, and cortisol 897  
 --, blood 897  
 ---, of men 897  
 --, and testosterone 897  
 --, blood 897  
 ---, of men 897  
**streptozotocin** 901  
**stress**  
 --, lead elimination 163  
**substrates**  
 --, chromogenic 557, 631  
**succinyl-ala-ala-val-4-nitro-anilide**  
 --, elastase substrate 699  
**sucrose**  
 --, interference 23  
 --, protein pattern 23  
**sulfate**  
 --, inorganic 651  
 --, physical exercise 651  
**survey report**  
 --, bilirubin, total 27  
 --, serum 27  
 ---, neonates 27  
**superoxide dismutase**  
 --, erythrocytes 771  
 --, cord blood 771  
 --, maternal 771  
**synchronization**  
 --, cell function 763  
**synovial fluid**  
 --, fibronectin 797
- T-cell receptors**  
 --, antigen specific 1  
 --, detection 1  
 --, isolation 1  
**T-lymphocytes 1**  
**dTTPase**  
 --, tumour marker 683  
**Tamm-Horsfall glycoprotein**  
 --, kidney 376  
**temperature**  
 --, enzyme assay 89  
**terminology**  
 --, quality control 69  
**testosterone**  
 --, blood 897  
 --, of men 897  
 ---, after rifampicin 897  
 ---, after streptomycin 897  
 --, enzyme immunoassay 661  
 --, and sex-hormone binding  
     globulin 730  
 --, urine 741  
 --, determination 741  
**tetrahydro- $\beta$ -carboline**  
 --, platelets 129  
**tetrahydronorharmane**  
 --, platelets 129  
**thin layer chromatography**  
 --, androgens 117  
 --, clobazepam 209
- thin layer chromatography**  
 --, metanephrine 413  
 --, 3-methoxytyramine 413  
 --, normetanephrine 413  
 --, tetrahydronorharmane 129  
**thrombocytes**  
 --, reference values 621  
 **$\beta$ -thromboglobulin**  
 --, plasma 656  
 ---, determination 656  
 --, clinical significance 656  
**thromboplastic activity**  
 --, arterial walls 545  
**thrombosis** 545  
**thromboxane**  
 --, synthesis 708  
 --, inhibition by N-acetyl  
     neuraminic acid 708  
**thyroid**  
 --, function 909  
 --, and cAMP 909  
 --, plasma 909  
 ---, after glucagon 909  
 --, state 737  
 --, and HDL-cholesterol 737  
 --, hormones 257, 737, 738  
 --, diabetogenic action 738  
 --, magnesium metabolism 257  
 --, serum 737  
 ---, liver diseases 737  
**thyroloberin**  
 --, neuroendocrine function  
     test 867  
**thyrotropin**  
 --, radioimmunoassay 807  
 --, blood spot 807  
 --, serum 755  
 --, hypothyroidism 755  
 ---, cut-off point 755  
**thyroxine**  
 --, particle counting immunoassay 701  
 --, quality control survey 511  
 --, external 511  
 --, radioimmunoassay 700  
 --, separation system 700  
 --, serum 571  
 --, radioimmunoassay 571  
**tissue**  
 --, cAMP 656  
 --, receptors 656  
**tissue polypeptide antigen**  
 821  
**tocolysis**  
 --, fenoterol 687  
 --, verapamil 687  
**transferrin**  
 --, determination 702  
 --, monoferric 563  
 --, isolation 563  
**transplant rejection**  
 --,  $\alpha_1$ -antitrypsin 241  
 --, serum 241  
**transport**  
 --, magnesium 257  
**Trinder reagent**  
 --, peroxidase assay 345  
**triiodothyronine**  
 --, enzyme immunoassay 718  
 --, quality control survey 511  
 --, external 511  
 --, serum 571  
 --, radioimmunoassay 571  
**trypanosome**  
 --, characterization 383  
 --, by lectins 383  
**trypsin**  
 --, immunoreactive 763  
 --, pancreatic diseases 763
- tuberculosis**  
 --, treatment 897  
 --, and cortisol 897  
 --, and testosterone 897  
**tumour**  
 --, fucosyltransferase 670  
 --, marker  
 ---, carinoembryonic antigen 175  
 --, diagnostic significance 821  
 --, dTTPase 683  
 --, galactosyltransferase II 763  
 --, pregnancy-specific  $\beta_1$ -glycoprotein 701  
 --, therapy monitoring 670  
**turbidimetry**  
 --, proteins 245  
 --, cerebrospinal fluid 245  
**turbidity**  
 --, interference 149  
 --, in spectrophotometry 149
- UDP-glucuronyltransferase** 307, 775  
**units** 829  
**uranyl acetate**  
 --, deproteinization 129  
 --, glucose determination 129  
**urea**  
 --, clearance 423  
 --, determination 706  
 --, kinetic methods 706  
 --, physical exercise 651  
 --, serum 423  
 --, variation 423  
 --, urine 423, 703  
 --, variation 423  
**uric acid**  
 --, determination 59  
 --, enzymatic 59  
 ---, interference 59  
 --, SMAC 363  
 --, gestos 749  
 --, physical exercise 651  
 --, serum 363, 702, 745  
 --, age dependency 745  
 --, high performance liquid  
     chromatography 745  
 --, method comparison 702  
 --, sex dependency 745  
**urine**  
 --, N-acetyl- $\beta$ -D-glucosaminidase 53, 687  
 --, under amikacin therapy 687  
 --, under cisplatin therapy 687  
 --, determination 53  
 ---, value, diagnostic 53  
 --, adrenalin 567  
 --, alanine aminopeptidase 687  
 --, under amikacin therapy 687  
 --, under cisplatin therapy 687  
 --, aldosterone 742  
 --, analysis 703  
 --, Astra-8 Analyzer 703  
 --, ascorbic acid 715  
 --, determination 715  
 ---, isotachophoresis 715  
 --, ATP 686  
 --, bioluminescence assay 686  
 --, C-peptide 313  
 --, cefotaxime 719  
 --, chloride 703  
 --, clobazepam 209
- urine**  
 --, copper 713  
 --, reference values 713  
 ---, children 713  
 --, creatinine 385, 423, 703  
 --, determination 385  
 --, variation 423  
 --, dehydroepiandrosterone 741  
 --, desacetylcefotaxime 719  
 --, dopamine 567  
 --, enzymes 686  
 --, kidney damage 686  
 --, glucose 275, 703  
 --, 18-hydroxycorticosterone 742  
 --, hydroxylysyl glycosides 287  
 --, hydroxyproline 287  
 --, insulin 313  
 --, kallikrein 395  
 --, radioimmunoassay 395  
 --, maltase 685  
 --, 3-methoxy-4-hydroxy-phenylglycol 579  
 --, gas chromatography 579  
 --, N1-methyl adenosine 696  
 --, N7-methyl guanosine 696  
 --, 3N-methylhistidine 755  
 --, muscle catabolism 755  
 --, noradrenalin 567  
 --, oestrogens 731  
 --, method comparison 731  
 --, orotic acid 293  
 --, peptide hormones 731  
 --, separation 731  
 --, polyamines 157, 698  
 --, potassium 703  
 --, progesterone 355  
 --, pregnancy 355  
 --, proinsulin 313  
 --, proteins 53  
 --, disc electrophoresis 53  
 ---, value, diagnostic 53  
 --, protein, total 697  
 --, sodium 703  
 --, testosterone 741  
 --, urea 423, 703  
 --, variation 423  
 --, urokinase 557  
 --, zinc 713  
 --, reference values 713  
 ---, children 713  
**urokinase**  
 --, urine 557
- valproate**  
 --, serum 339  
 --, gas chromatography 339  
**valproic acid**  
 --, gas chromatography 497  
**value, diagnostic**  
 --, N-acetylglucosaminidase 53  
 --, urine 53  
 --, clinical-chemical tests 743  
 --, disc electrophoresis 53  
 --, proteins 53  
 ---, urine 53  
**values**  
 --, assigned 461, 855  
 --, definition 461  
 --, designated 855  
 --, reference method 461  
**variation**  
 --, circadian 740  
 --, adrenal steroid hormones 740  
 ---, plasma 740  
 --, corticotropin 740  
 ---, plasma 740

- |   |   |   |  |
|---|---|---|--|
| <b>variation</b><br>—, diurnal 740<br>—, cortisol 740<br>—, plasma 740<br>——, free 740<br>——, total 740<br>—, episodic 740<br>—, adrenal steroid hormones 740<br>—, plasma 740<br>—, corticotropin 740<br>—, plasma 740<br>—, longitudinal 423<br>—, creatinine 423<br>—, serum 423 | <b>variation</b><br>—, protein 744<br>—, plasma 744<br><b>verapamil</b><br>—, and hormones in pregnancy 748<br>—, tocolysis 687<br><b>vinblastin</b><br>—, leukaemia treatment 690<br>—, ATP 690<br><b>vincristin</b><br>—, leukaemia treatment 690<br>—, ATP 690 | <b>vitamin D</b><br>—, assay 765<br><b>VLDL</b> 750   | <b>zinc</b><br>—, in rat bile 713<br>—, and glutathione depletion 713<br>—, and paracetamol 713<br>—, and penicillamine 713<br>—, serum 712<br>—, determination 712<br>—, atomic absorption spectrometry 712<br>—, reference values 713<br>—, children 713<br>—, urine 713<br>—, reference values 713<br>—, children 713 |
|   |   | <b>WBC</b><br>—, reference values 621<br><b>water</b><br>—, heavy 684, 747<br>—, organ preservation 747<br>—, protein stabilization 684 |  |
|   |   | <b>zinc</b><br>—, excretion 713   |  |

J. Clin. Chem. Clin. Biochem.  
Vol. 18, 1980, pp. 571-577

## A New Principle of Thyroxine (T<sub>4</sub>) and Triiodothyronine (T<sub>3</sub>) Radioimmunoassay in Unextracted Serum Using Antisera with Binding Optima at Extreme pH Ranges<sup>1)</sup>

By R. Gärtner, M. Kewenig, K. Horn and P. C. Scriba

Medizinische Klinik Innenstadt (Direktor: Prof. Dr. E. Buchborn) der Universität München

(Received September 14, 1979/April 10, 1980)

**Summary:** Thyroxine (T<sub>4</sub>) or triiodothyronine (T<sub>3</sub>) was covalently linked to bovine thyroglobulin (bTg) in a molar ratio of 25:1 (T<sub>4</sub>:bTg) or 30:1 (T<sub>3</sub>:bTg) using a water-soluble carbodiimide. The conjugates of T<sub>4</sub>-bTg and T<sub>3</sub>-bTg were used for immunisation of rabbits. After 6 booster-injections all rabbits immunized with T<sub>4</sub>-bTg had antibody titers from 1:4000 or 1:8000, whereas the rabbits vaccinated with T<sub>3</sub>-bTg had titers from 1:10000 to 1:40000. Two of the T<sub>4</sub>-antisera revealed maximal T<sub>4</sub>-binding between pH 3.8 and 4.2 with affinity constants of  $7.8 \times 10^9$  l/mol and  $6.0 \times 10^9$  l/mol. With these two antisera a simple, rapid, protein-independent T<sub>4</sub> radioimmunoassay at pH 4.0 in unextracted serum was established without using thyroxine binding globulin blocking agents. Precision of the T<sub>4</sub> radioimmunoassay is documented by an interassay coefficient of variation (CV) calculated from 10 different assays of 5.7% at a mean T<sub>4</sub> concentration of 43 µg/l T<sub>4</sub>, 3.5% at 76 µg/l T<sub>4</sub> and 6.4% at 165 µg/l T<sub>4</sub>. The intra-assay CV was calculated to be 3.7%, 2.8% and 4.7% at these concentrations. Accuracy of the T<sub>4</sub>-RIA is documented by identical standard curves when T<sub>4</sub> standards were diluted in 1 g/l human serum albumin in phosphate buffer, in 40 g/l human serum albumin in phosphate buffer, or in T<sub>4</sub>-free serum, and by recovery studies and dilution curves of hyperthyroid patients.

Three T<sub>3</sub> antisera with an optimal binding of T<sub>3</sub> at pH 4 and three T<sub>3</sub> antisera with a pH optimum in the pH range from 8.5 to 10.0 were obtained. A thyroxine binding globulin independent radioimmunoassay for T<sub>3</sub> could be established at pH 9.2 after thyroxine binding globulin in unextracted serum had been denatured with 0.1 mol/l NaOH. The precision of this T<sub>3</sub> radioimmunoassay is documented by an inter-assay CV (n = 20) of 8.6% at a T<sub>3</sub> concentration of 0.91 µg/l T<sub>3</sub>, 8.5% at a T<sub>3</sub> concentration of 1.720 µg/l T<sub>3</sub> and 5.8% at 4.150 µg/l T<sub>3</sub>. The intra-assay CV calculated from 10 determinations was 5.8%, 3.1% and 3.4% at these T<sub>3</sub> concentrations. Accuracy of the T<sub>3</sub>-RIA is documented by recovery studies, serum dilution curves and identical T<sub>3</sub> calibration curves, when T<sub>3</sub> standards were diluted either in 40 g/l human serum albumin in phosphate buffer or in T<sub>3</sub>-free human serum.

*Ein neues Prinzip für den Radioimmunassay von Thyroxin (T<sub>4</sub>) und Triiodthyronin (T<sub>3</sub>)  
im nicht extrahierten Serum: Verwendung von Antiseren mit Bindungsoptima bei extremen pH-Bereichen*

**Zusammenfassung:** Mit wasserlöslichem Carbodiimid wurde sowohl T<sub>3</sub> als auch T<sub>4</sub> kovalent an Rinder-Thyroglobulin (bTg) in einem Verhältnis von 25:1 (T<sub>4</sub>:bTg) bzw. 30:1 (T<sub>3</sub>:bTg) gekoppelt. Mit diesen Konjugaten wurden je 6 Kaninchen immunisiert. Nach 6 Boosterungen im Abstand von 14 Tagen hatten die Kaninchen, die mit T<sub>4</sub>-bTg immunisiert wurden, ausreichende Antikörper-Titer von 1:4000 bzw. 1:8000, die mit T<sub>3</sub>-bTg immunisierten Kaninchen Antikörper-Titer von 1:10000 bzw. 1:40000. Zwei der T<sub>4</sub>-Antisera zeigten eine maximale T<sub>4</sub>-Bindung im pH-Bereich von pH 3.8 bis pH 4.2 mit Assoziationskonstanten von  $7.8 \times 10^9$  l/mol bzw.  $6.0 \times 10^9$  l/mol. Mit diesen beiden T<sub>4</sub>-Antikörpern konnte ein einfacher, schneller, Protein-unabhängiger T<sub>4</sub>-RIA bei pH 4.0 im unextrahierten Serum ohne Einsatz von Thyroxin bindendes Globulin blockierenden Substanzen aufgebaut werden. Die Präzision dieses T<sub>4</sub>-Radioimmunoassays konnte mit einem Interassay-Variationskoeffizienten, berechnet aus 10 verschiedenen Bestimmungen von 5,7% bei einer T<sub>4</sub>-Konzentration von 43 µg/l T<sub>4</sub>, 3,5% bei 76 µg/l T<sub>4</sub> und 6,4% bei 175 µg/l T<sub>4</sub> aufgezeigt werden. Der Intraassay-Variationskoeffizient, berechnet aus Zehnfach-Bestimmungen, betrug 3,7%, 2,8% und 4,7% bei diesen T<sub>4</sub>-Konzentrationen. Identische T<sub>4</sub>-Standardkurven wurden erhalten, wenn die T<sub>4</sub>-Standards entweder in 1 g/l Humanserumalbumin in Phosphatpuffer, 40 g/l Humanserumalbumin in Phosphatpuffer oder T<sub>4</sub>-freiem Serum gelöst waren. Damit wurde die Richtigkeit des T<sub>4</sub>-RIA ebenso bewiesen, wie mit Wiederfindekurven und Serumverdünnungskurven, die jeweils auf der Standardkurve lagen.

<sup>1)</sup> Supported by the Deutsche Forschungsgemeinschaft (Sonderforschungsbereich 51)

Wir erhielten drei T<sub>3</sub>-Antiseren mit einem Bindungsoptimum bei pH 4,0 und drei T<sub>3</sub>-Antiseren mit einem Bindungsoptimum im Bereich von pH 8,5 bis pH 10,0. Wir konnten einen T<sub>3</sub>-RIA im unextrahierten Serum nach vorheriger Denaturierung von Thyroxin bindendem Globulin mit 0,1 mol/l NaOH und anschließender Inkubation bei pH 9,2 aufbauen. Die Präzision des T<sub>3</sub>-RIA konnte mit einem Interassay-Variationskoeffizienten ( $n = 20$ ) von 8,6% bei einer T<sub>3</sub>-Konzentration von 0,91 µg/l T<sub>3</sub>, 8,5% bei einer T<sub>3</sub>-Konzentration von 1,72 µg/l T<sub>3</sub> und 5,8% bei 4,15 µg/l T<sub>3</sub> gezeigt werden. Der Intraassay-Variationskoeffizient, berechnet aus Zehnfach-Bestimmungen, betrug 5,8%, 3,1% und 3,4% bei den obengenannten T<sub>3</sub>-Konzentrationen. Die Richtigkeit des T<sub>3</sub>-RIA wurde mit Wiederfindekurven, Serumverdünnungskurven und identischen T<sub>3</sub>-Standardkurven, wobei T<sub>3</sub>-Standards entweder in 40 g/l Humanserumalbumin in Phosphatpuffer oder T<sub>3</sub>-freiem Serum gelöst waren, bewiesen.

## Introduction

The difficulties in radioimmunological determination of thyroxine (T<sub>4</sub>) and triiodothyronine (T<sub>3</sub>) in serum are mainly due to the binding of thyroid hormones to specific transport proteins in serum, mainly thyroxine binding globulin (TBG) (1), because the affinity constants of TBG to the thyroid hormones are often in the same order of magnitude as those of the antisera used (2). In recent years many modifications to radioimmunological determinations of thyroid hormones in serum have been published (3, 4, 5, 6). These have all been based upon two principles, using either the somewhat tedious procedure of extraction of T<sub>4</sub> and T<sub>3</sub> from human serum (7) or the more simple method, working with so-called TBG blocking agents mainly 8-anilino-1-naphthalene sulphonic acid (8, 9, 10, 11). These TBG blocking agents, however, also interact with the antisera used in the T<sub>3</sub> and T<sub>4</sub> assay (12), thus rendering this procedure inaccurate, because of varying TBG concentrations in serum. By modification of the immunisation technique we obtained antisera with binding optima for the thyroid hormones at acid or alkaline pH ranges. With these antisera a new type of T<sub>4</sub> and T<sub>3</sub> radioimmunoassay in unextracted serum could be established without the use of TBG blocking agents. Both radioimmunoassays are independent of endogenous TBG concentrations.

## Materials and Methods

### Reagents

Highly purified L-thyroxine (T<sub>4</sub>), 3,5,3'L-triiodothyronine (T<sub>3</sub>), 5,3',5'-triiodothyronine (rT<sub>3</sub>) and tetraiodothyroacetic acid were a gift from the Henning GmbH Berlin. 3,5-diiodotyrosine, 3-moniodotyrosine, 3,5-diiodothyronine and 3',5'-diiodothyronine were from the Fluka AG, Switzerland, bovine thyroglobulin and hydroxylamine from Sigma Chemicals Co., St. Louis, USA, donkey anti-rabbit-gamma-globulin precipitating serum (second antibody) from Wellcome Research Laboratories, Beckenham, England. Complete *Freund's* adjuvant, diphtheria-pertussis-tetanus (DPT)-vaccine and human serum albumin from Behring AG, Frankfurt, Germany. Anion exchange cellulose (DE 32) were from Whatman Ltd., Springfield Mill Maidstone, England. All other reagents were p. a. substances from Merck AG, Darmstadt, Germany.

<sup>125</sup>I-T<sub>4</sub> (specific activity about 3.7 TBq/g (100 Ci/g) was from Hoechst AG, Frankfurt, Germany, and was diluted either in 0.15 mol/l NaCl or 0.1 mol/l HCl each containing 200 ml/l propylene glycol.

<sup>125</sup>I-T<sub>3</sub> (specific activity of about 18.5 TBq/g ≈ 500 Ci/g) was also from Hoechst AG, Frankfurt, Germany. It was diluted in 0,05 mol/l phosphate buffer containing 1 g/l human serum albumin.

T<sub>4</sub>-free serum was pooled from thyroidectomized patients treated longterm with thyrotropin suppressive doses of T<sub>3</sub>. T<sub>3</sub>-free serum was prepared by additional extraction with charcoal.

### Preparation of T<sub>4</sub> and T<sub>3</sub> conjugates for immunisation

1 µmol of T<sub>4</sub> was dissolved in 100 µl of 0.1 mol/l NaOH and 50 µl dioxan, then 100 µl <sup>125</sup>I-T<sub>4</sub> (about 20,000 counts/min) purified by Sephadex G-25 chromatography (13), 15 mg bovine thyroglobulin dissolved in 300 µl 0.1 mol/l phosphate buffer pH 5.0 and 100 µl of 0.1 mol water soluble 1-ethyl-3-(3-dimethylaminopropyl) carbodiimide for covalent binding of T<sub>4</sub> to bovine thyroglobulin were added. After an incubation time of 24 hours at room temperature, the reaction was stopped by addition of 100 µl 0.1 mol/l hydroxylamine (14). The amount of T<sub>4</sub> linked covalently to bovine thyroglobulin (bTg) was calculated from the incorporation of the tracer amount of radioactivity into bTg after dialysis of the solution in a collodium bag (Sartorius Membranfilter GmbH, Göttingen, FRG). The molar ratio estimated was about 25:1 (T<sub>4</sub>:bTg). T<sub>3</sub>-bTg conjugate was obtained by an analogous procedure, the amount of T<sub>3</sub> incorporated to bovine thyroglobulin being approximately 30 mol T<sub>3</sub> per mol of bovine thyroglobulin.

### Immunisation of rabbits

The conjugates of T<sub>4</sub>-bTg and T<sub>3</sub>-bTg were each dissolved in 3 ml 0.15 mol/l NaCl and emulsified with 2 ml of *Freund's* complete adjuvant. These emulsions were each divided among 6 rabbits both for T<sub>4</sub>-bTg and T<sub>3</sub>-bTg. Sixty to eighty intradermal injections were made into the backs of the rabbits according to the method of *Vaitikaitis* (15). Each rabbit received a total of 0.8 ml of the emulsion, containing 2.5 mg bTg conjugate. In addition, diphtheria-pertussis-tetanus (DPT)-vaccine, 0.25 ml per rabbit, was injected at a separate site with the first two boosters. Injections were given at two week intervals. After the sixth booster the antibodies were harvested.

### Precipitation procedures of antibody-bound thyroid hormones for radioimmunoassay

Precipitation of antibody-bound T<sub>4</sub> or T<sub>3</sub> for testing antibody titer at a physiological pH-range was performed with polyethylene glycol ( $M_r$  6,000) (16). Polyethylene glycol (250 g) was dissolved in 1000 ml of 0.05 mol/l phosphate buffer pH 8.6. After incubation of 100 µl antiserum dilution with 100 µl of T<sub>4</sub>-tracer (or T<sub>3</sub>-tracer), 100 µl of 1 g/l bovine gamma-globulin in 0.15 mol/l NaCl and 300 µl of the 250 g/l polyethylene glycol solution were added. After vortexing, the tubes were centrifuged at 2000 g for 15 min, the supernatant aspirated off and the precipitate counted for radioactivity.

Because this precipitation method with polyethylene glycol only acts in the neutral pH range (16) and in addition is not specific for rabbit gamma-globulin, the precipitation of antibodies both at different pH ranges and also for radioimmunoassay was performed with a precipitating anti-rabbit-gamma-globulin donkey serum (second antibody) (17). This second antibody

reacts preferably at neutral pH range with specific rabbit anti-serum, but it does not dissociate within 24 hours at either pH 3.0 or 11.0 when preincubated at pH 7.4 with the specific antiserum. Binding characteristics of the T<sub>4</sub> and T<sub>3</sub> antisera, which were tested in preliminary experiments, did not change by preincubation with the precipitating antibody. The solution of the complex at pH 7.4 is stable for at least 14 days at 4 °C in 0.15 mol/l NaCl.

#### Titration of the antisera

Antibody titer was calculated from a radioimmunological system at pH 7.4 in phosphate buffer 50 mmol/l. For T<sub>4</sub>-antisera titration, 100 µl of <sup>125</sup>I-T<sub>4</sub> containing a total of 0.25 pg T<sub>4</sub> diluted in 0.25 mol/l NaCl containing 200 ml/l propylene glycol was added to 100 µl antiserum dilution in 1 g/l human serum albumin in phosphate buffer. After an overnight incubation, separation of antibody-bound and free hormone was performed with polyethylene glycol. For T<sub>3</sub>-antisera, 100 µl <sup>125</sup>I-T<sub>3</sub> containing a total of 0.05 pg T<sub>3</sub> dissolved in 1 g/l human serum albumin in phosphate buffer, was added to 100 µl of T<sub>3</sub>-antiserum dilution in 1 g/l human serum albumin in phosphate buffer. The antibody-bound and free hormone separation was performed with polyethylene glycol after an overnight incubation. Antibody titer was defined as the anti-serum dilution added per tube which precipitated 50% of radioactivity added per tube.

#### pH-dependency of antibody binding with thyroid hormones

The antisera obtained were tested over a pH-range from pH 3 to 11 for their maximal tracer binding. The antiserum dilution was used which gave 50% tracer binding at pH 7.5. The following incubation scheme was used:

300 µl of a buffer solution were added to 100 µl of <sup>125</sup>I-T<sub>4</sub> and 100 µl of antiserum dilution preincubated with second antibody, each diluted in 0.15 mol/l NaCl. For the different pH values, 0.1 mol/l citrate buffer was used for pH 3.0 to 7.0, 0.1 mol/l tris-HCl-buffer for pH 7.5 to 9.0 and 0.1 mol/l glycine-NaOH buffer for pH 9.5 to 11.0. For unspecific binding (N) normal rabbit serum instead of specific antiserum was preincubated with second antibody. After an incubation time of 24 hours, when all of the antisera were in equilibrium, the tubes were centrifuged, the precipitate washed with 1 ml 0.15 mol/l NaCl and then counted for radioactivity.

#### Calculation of affinity constants

Affinity constants (K<sub>a</sub>) of T<sub>4</sub> and T<sub>3</sub> antisera at the different pH-values were calculated from the calibration standard curves by Scatchard analysis (18). The T<sub>4</sub>-standards in the range from 15 to 480 µg/l and the T<sub>3</sub>-standards in the range from 0.25 to 8 µg/l were dissolved either in 1 g/l human serum albumin in phosphate buffer, 40 g/l human serum albumin in phosphate buffer or T<sub>4</sub>- and T<sub>3</sub>-free human serum.

## Results

#### The pH-dependency of thyroid hormone binding of the T<sub>4</sub> and T<sub>3</sub> antisera

The six rabbits immunised with T<sub>4</sub>-bTg conjugate developed antibody titers from 1:4000 to 1:8000 after 6 booster injections within 15 weeks. The 6 rabbits vaccinated with T<sub>3</sub>-bTg conjugate showed titers from 1:10,000 to 1:40,000.

In respect to maximal T<sub>4</sub>-tracer binding dependent on the pH of incubation buffer, the antisera could be divided into three groups (fig. 1). Two antisera (T<sub>4</sub>-K<sub>4</sub> and T<sub>4</sub>-K<sub>6</sub>) demonstrated an optimal binding between pH 3.8 and 4.2, the antisera T<sub>4</sub>-K<sub>3</sub> and T<sub>4</sub>-K<sub>8</sub> had an optimum between pH 9 and 10, whereas the last group

(T<sub>4</sub>-K<sub>5</sub> and T<sub>4</sub>-K<sub>7</sub>) had no definite binding maximum in the pH range tested.

The T<sub>4</sub>-antiserum T<sub>4</sub>-K<sub>5</sub> could be separated on a DE-32 column (10 × 2 cm) into two gamma-globulin fractions using a linear gradient from 0.01 to 0.2 mol/l tris-phosphate buffer pH 8.2. One of the fractions bound most of the T<sub>4</sub>-tracer at pH 4.0 whereas the other bound most of the T<sub>4</sub>-tracer at pH 8.6 to pH 10.0 (fig. 1c).

In contrast to the T<sub>4</sub>-antisera, none of the T<sub>3</sub>-antisera had such a distinct pH dependency. Three of them showed a slight pH-optimum at pH 4, but up to pH 10 the binding of T<sub>3</sub> only fell slightly (to about 85%, taking binding at pH 4.0 as 100%). The remaining three antisera showed the opposite effect, binding maximally at pH 10.

Like the T<sub>4</sub>-antiserum T<sub>4</sub>-K<sub>5</sub>, one of the T<sub>3</sub>-antisera could be separated by DE-32 anion exchange chromatography into two antibody peaks, one with a prominent binding at pH 4, and the other at pH 9.0.

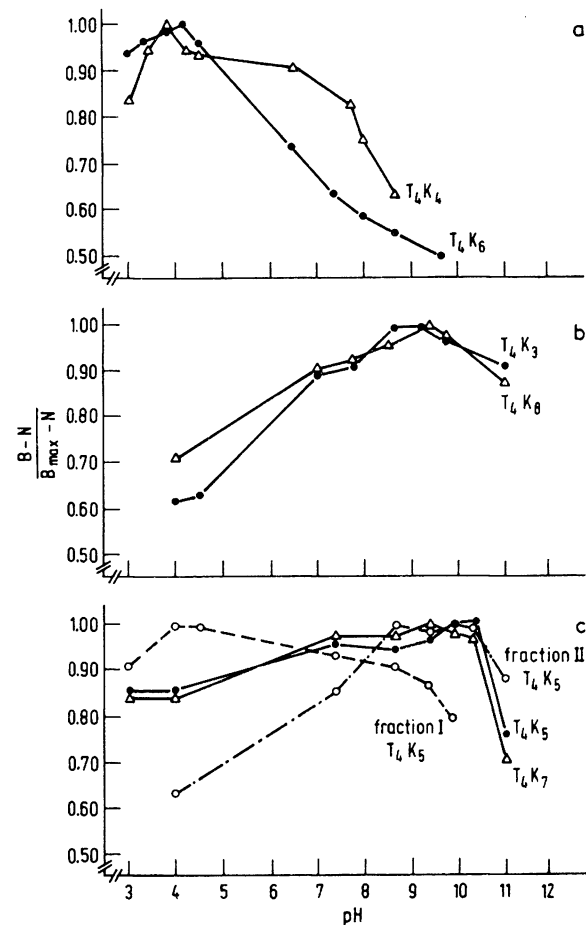


Fig. 1. Dependency of T<sub>4</sub> tracer binding of the T<sub>4</sub> antisera upon the values of the incubation medium. The maximal T<sub>4</sub> binding (B<sub>max</sub> - N) of the antisera in group A was found to be in the range from pH 3.8 to pH 4.2, in group B from pH 9.0 to pH 10.0. Antisera of group C showed no clear cut pH dependency, however when the antiserum T<sub>4</sub>-K<sub>5</sub> was fractionated on a DE-32 column into two antibody fractions, in fraction I the maximal binding of T<sub>4</sub> tracer was found at pH 4.0, whereas fraction II had an optimal binding in the range from pH 8.6 to pH 10.0.

### Affinity constants of T<sub>4</sub> and T<sub>3</sub> antisera

The affinity constants (K<sub>a</sub>) of T<sub>4</sub> antisera to T<sub>4</sub> and of T<sub>3</sub> antisera to T<sub>3</sub>, respectively, were, as expected, highest in the pH range with maximal tracer binding (tab. 1).

The highest K<sub>a</sub> of the T<sub>3</sub> antisera (T<sub>3</sub>-K<sub>9</sub>, T<sub>3</sub>-K<sub>12</sub>, T<sub>3</sub>-K<sub>13</sub>) with optimal binding between pH 8.0 and pH 9.5 were estimated to be  $5 \times 10^9$  l/mol,  $2 \times 10^{10}$  l/mol and  $6.5 \times 10^9$  l/mol respectively. The three antisera which bound maximally at pH 4.0 had affinity constants at this pH of  $8.5 \times 10^8$  l/mol,  $1 \times 10^{10}$  l/mol and  $1 \times 10^9$  l/mol.

Tab. 1. Dependency of the affinity constants (K<sub>a</sub>) of four T<sub>4</sub> antisera upon the pH of the incubation buffer.

Antiserum	pH 4.0 K <sub>a</sub> (l/mol)	pH 7.4 K <sub>a</sub> (l/mol)	pH 10.0 K <sub>a</sub> (l/mol)
T <sub>4</sub> -K <sub>4</sub>	$7.8 \times 10^9$	$4 \times 10^7$	$2 \times 10^5$
T <sub>4</sub> -K <sub>6</sub>	$6.0 \times 10^9$	$2 \times 10^7$	$1 \times 10^5$
T <sub>4</sub> -K <sub>3</sub>	$1.0 \times 10^6$	$2 \times 10^7$	$2 \times 10^9$
T <sub>4</sub> -K <sub>8</sub>	$2.0 \times 10^5$	$8 \times 10^6$	$3.5 \times 10^9$

### Specificity of T<sub>4</sub> and T<sub>3</sub> antisera

The two T<sub>4</sub> antisera, T<sub>4</sub>-K<sub>4</sub> and T<sub>4</sub>-K<sub>6</sub>, with binding optima at pH 4.0, and one T<sub>3</sub> antiserum, T<sub>3</sub>-K<sub>12</sub>, with an alkaline pH optimum, later used for a routine radioimmunoassay, were tested for crossreactivity with thyronine analogues, diluted in 1 g/l human serum albumin in phosphate buffer. As summarized in table 2 these antisera revealed high specificity.

Tab. 2. Crossreactivity of two T<sub>4</sub> antisera (T<sub>4</sub>-K<sub>4</sub> and T<sub>4</sub>-K<sub>6</sub>) and T<sub>3</sub> antiserum (T<sub>3</sub>-K<sub>12</sub>) with thyronine derivates. The crossreactivity of the two T<sub>4</sub> antisera was found to be identical.

Compound	Crossreactivity	
	in T <sub>4</sub> -RIA (%)	in T <sub>3</sub> -RIA (%)
L-Thyroxine	100	0.001
L-Triiodothyronine	0.1	100
Reverse triiodothyronine	3	0.003
Tetraiodothyroacetic acid	12	0.01
Diiodotyrosine	0.3	0.4
Moniodotyrosine	0.001	0.002
3',5'-Diiodothyronine	0.04	0.0004

### T<sub>4</sub>-radioimmunoassay in unextracted serum

Using these T<sub>4</sub>-antisera with optimal binding at pH 4.0, a radioimmunoassay for routine purposes with 10 µl unextracted serum per incubation tube at this acid pH was developed without using TBG blocking reagents. The incubation schedule is summarized in table 3. Because of the high concentration of T<sub>4</sub>, the antiserum dilution had to be only 1:800 per tube using 10 µl serum (calibration standard) to give a sensitive standard curve with a 50%-intercept at about 60 µg/l T<sub>4</sub>.

Tab. 3. Incubation scheme of the T<sub>4</sub>-RIA.

10 µl T <sub>4</sub> calibration standard (from 15 µg/l T <sub>4</sub> to 480 µg/l T <sub>4</sub> ) in 0.05 mol/l phosphate buffer pH 7.4 containing 40 g/l human serum albumin
or 10 µl serum
200 µl <sup>125</sup> I-T <sub>4</sub> in 0.1 mol/l sodium citrate buffer pH 3.8 containing 200 ml/l propylene glycol
100 µl T <sub>4</sub> antiserum (1:800) preincubated with second antibody (1:24), both diluted in 0.15 mol/l NaCl.

After an incubation time of 2 hours, when the reaction was at equilibrium, tubes were centrifuged for 10 min at 2000 g, the precipitate washed with 1 ml of 0.15 mol/l NaCl and after a further centrifugation the precipitate was counted for radioactivity. Calibration curves were calculated by spline function (19).

### Quality control of T<sub>4</sub>-radioimmunoassay

Precision of this assay is documented by the data summarized in table 4. Accuracy of T<sub>4</sub>-radioimmunoassay was shown by independency of different protein contents of the samples: Identical standard curves were found when T<sub>4</sub>-standards were diluted either in 1 g/l human serum albumin in phosphate buffer, 40 g/l human serum albumin in phosphate buffer or T<sub>4</sub>-free human serum with a thyroxine binding globulin concentration of 18 mg/l (fig. 2). Furthermore, when sera of five hyperthyroid patients were diluted in 1 g/l human serum albumin in phosphate buffer, the T<sub>4</sub>-values were on the standard curve (fig. 3). The recovery of a T<sub>4</sub>-standard (80 µg/l) added to normal sera (n = 10) was found to be 98%. Total serum T<sub>4</sub>-values determined in this radioimmunoassay (n = 32) of sera with different thyroxine binding globulin concentrations from 2.5 to 68 mg/l were found to be identical ( $r = 0.985$ ; n = 32) when compared with T<sub>4</sub>-concentrations determined by competitive protein binding analysis. In the latter method T<sub>4</sub> is extracted quantitatively from sera with simultaneous chromatography on alkaline Sephadex G-25 columns (7). The normal range of T<sub>4</sub>-concentration in sera of 144 euthyroid patients was calculated to be 45 µg/l to 100 µg/l and is identical with the normal range of total T<sub>4</sub> which was determined by competitive protein binding analysis (7).

Tab. 4. Inter- and intraassay coefficient of variation (CV) of the T<sub>4</sub>-RIA at three different T<sub>4</sub> concentrations in serum (n = 10).

T <sub>4</sub> concentration (µg/l)	Interassay CV (%)	Intraassay CV (%)
43	5.7	3.7
76	3.5	2.8
165	6.4	4.7

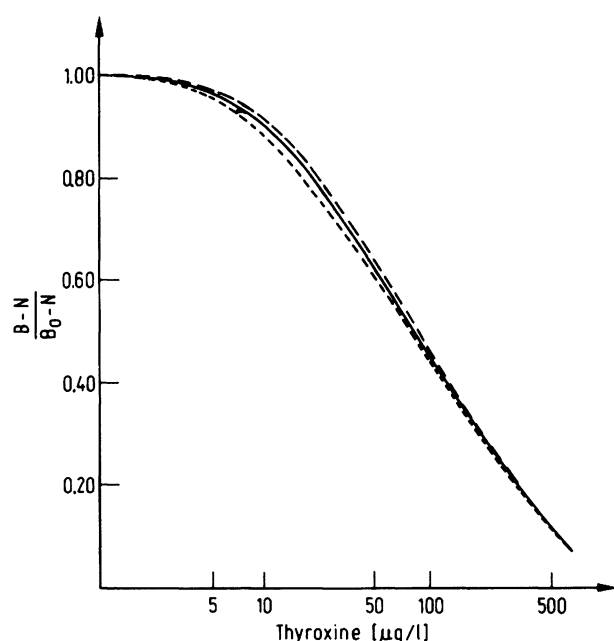


Fig. 2. T<sub>4</sub> calibration curves calculated from Spline function. T<sub>4</sub> standards were either diluted in 1 g/l human serum albumin in phosphate buffer (---), 40 g/l human serum albumin in phosphate buffer (- - -) or T<sub>4</sub>-free human serum (—) with the thyroxine binding globulin concentration of 18 mg/l.

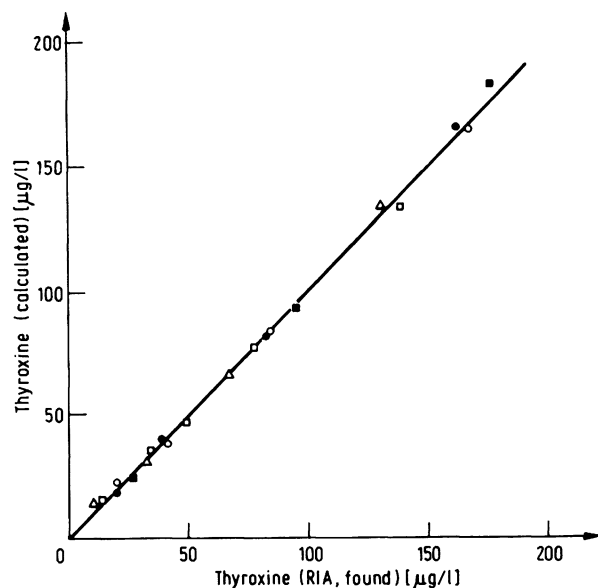


Fig. 3. Serum dilution curves. Sera of five hyperthyroid patients were diluted in a ratio of 1:2, 1:4, 1:8 with 1 g/l human serum albumin in phosphate buffer. T<sub>4</sub> values obtained from the T<sub>4</sub>-RIA were identical to the calculated T<sub>4</sub> values ( $n = 20$ ,  $r = 0.998$ ,  $A = 0.0194$ ,  $B = 995$ ).  
 $y = -0.0194 + 0.995x$ ,  $r = 0.998$ .

#### T<sub>3</sub>-RIA in unextracted serum

With the 3 antisera with a optimum of T<sub>3</sub> binding at pH 4.0 a T<sub>3</sub>-radioimmunoassay was attempted along the lines of the T<sub>4</sub>-radioimmunoassay. These T<sub>3</sub>-antibodies

Tab. 5. Incubation scheme of the T<sub>3</sub>-RIA.

25 $\mu$ l T <sub>3</sub> calibration standard (from 0.25 $\mu$ g/l T <sub>3</sub> to 8.00 $\mu$ g/l T <sub>3</sub> in 40 g/l human serum albumin in phosphate buffer).
or 25 $\mu$ l serum
200 $\mu$ l 0.1 mol/l NaOH incubation for at least 5 min
100 $\mu$ l 1.05 mol/l glycine-NaCl
100 $\mu$ l <sup>125</sup> I-T <sub>3</sub> in 1 g/l human serum albumin in phosphate buffer
100 $\mu$ l T <sub>3</sub> antiserum (1:32 000) preincubated with second antibody (1:24) both diluted in 0.15 mol/l NaCl.

were found to bind T<sub>3</sub> related to the different protein concentrations in the samples, as evidenced by serum dilution curves and the recovery of T<sub>3</sub>-standards added to different sera. However, using the T<sub>3</sub>-antisera with optimal binding at alkaline pH, a specific T<sub>3</sub>-radioimmunoassay in unextracted serum could be established. The procedure is shown in table 5. Thyroxine binding globulin in serum is denatured completely in 0.1 mol/l NaOH within 5 min at room temperature (20); the pH is then adjusted to 9.2 with 1.05 mol/l glycine-NaCl. Preincubated antiserum with the second antibody and the T<sub>3</sub>-tracer was then added. After an incubation time of 4 hours the reaction was in equilibrium and the tubes were centrifuged for 10 min at approximately 2000 g. Standard curves and serum concentrations of T<sub>3</sub> were calculated by Spline function (19).

#### Quality control of the T<sub>3</sub>-radioimmunoassay

The precision of the T<sub>3</sub>-radioimmunoassay is documented by the data summarized in table 6. Accuracy of the assay is shown by identical standard curves, when T<sub>3</sub>-standards were either diluted in 40 g/l human serum albumin in phosphate buffer or T<sub>3</sub>-free serum with a thyroxine binding globulin concentration of 18 mg/l (fig. 4). Furthermore, when a T<sub>3</sub>-standard (1.0  $\mu$ g/l T<sub>3</sub> in 1 g/l human serum albumin in phosphate buffer) was added to human sera with different thyroxine binding globulin concentrations (from 9 mg/l to 23 mg/l) and different endogenous T<sub>3</sub>-levels, the recovery was 100% ( $n = 37$ ;  $r = 0.9985$ ) (fig. 5). When sera of 5 hyperthyroid patients were diluted with 1 g/l human serum albumin in phosphate buffer, the T<sub>3</sub>-concentrations were on the standard curve. The normal range of the T<sub>3</sub>-concentration in sera of 144 euthyroid patients was calculated to be 0.8  $\mu$ g/l to 1.6  $\mu$ g/l.

Tab. 6. Inter- and intraassay coefficient of variation (CV) of the T<sub>3</sub>-RIA at three different T<sub>3</sub> concentrations in serum ( $n = 20$ ).

T <sub>3</sub> concentration ( $\mu$ g/l)	Interassay CV (%)	Intraassay CV (%)
0.910	8.6	5.8
1.720	8.5	3.1
4.150	5.8	3.4

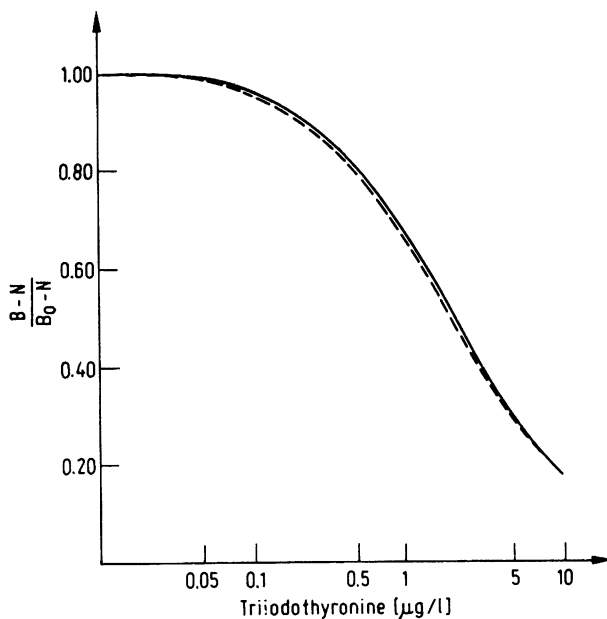


Fig. 4. T<sub>3</sub> calibration curves calculated from Spline function. T<sub>3</sub> standards were either diluted in 40 g/l human serum albumin in phosphate buffer (---), or T<sub>3</sub>-free human serum with a thyroxine binding globulin concentration of 18 mg/l (—).

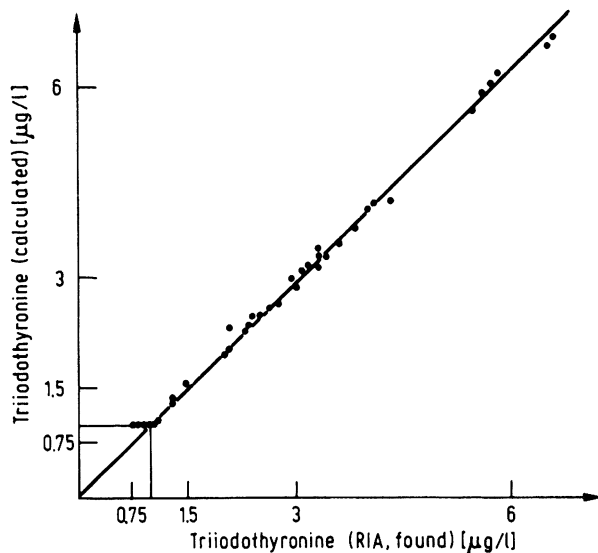


Fig. 5. Recovery study of a T<sub>3</sub> standard added to different human sera.

A T<sub>3</sub> standard (0.1 μg/l T<sub>3</sub> in 1 g/l human serum albumin in phosphate buffer) was added to 37 sera with different thyroxine binding globulin concentrations from 2.5 to 68 mg/l. The recovery was 100% ( $n = 37$ ;  $r = 0.9985$ ,  $A = 9.157$ ,  $B = 0.958$ ).  
 $r = 0.9985$ ,  $A = 9.157$ ,  $B = 0.958$

## Discussion

Thyroglobulin is known to be a very suitable antigen for the production of specific antisera for linked haptens (14). Immunisation with isolated thyroglobulin which physiologically contains covalently bound T<sub>4</sub> and T<sub>3</sub> resulted in low titered T<sub>4</sub> and T<sub>3</sub> antisera (21). This

study has demonstrated that monospecific antisera with sufficient titers can be obtained by immunisation with thyroglobulin enriched with covalently bound exogenous T<sub>4</sub> or T<sub>3</sub> respectively. Some of these antisera demonstrated the ability to bind the antigens with high affinity constants at either acidic or alkaline pH. This phenomenon may be explained by the mode of immunisation, using a high content of haptens coupled to a large glycoprotein molecule, in this case thyroglobulin, and short interval boosters resulting in multyclonal antibodies with different characteristics. The distribution of the antibody populations may vary widely in each of the inoculated animals. The individual selection of antibody clones with pronounced pH dependency was more distinct in the rabbits immunized with T<sub>4</sub>/bTg conjugate compared with those immunized with the T<sub>3</sub>/bTg conjugate.

Until now, T<sub>4</sub> and T<sub>3</sub> radioimmunoassay in unextracted serum could be only performed by using thyroxine binding globulin blocking agents such as 8-anilino-1-naphthalene sulphonic acid and merthiolate (6). These agents showed a displacement of T<sub>4</sub> and T<sub>3</sub> not only from thyroxine binding globulin but also from the antibodies (12), therefore the accuracy of these assays may be influenced by the differences in endogenous thyroxine binding globulin concentrations in the serum samples.

As demonstrated in the last external quality control survey (20) compared to the survey in 1976 (21), the quality of T<sub>4</sub>-RIA kits has been improved. However, using two commercial T<sub>4</sub>-RIA kits (Gamma Coat, Travenol and <sup>125</sup>I-T<sub>4</sub>-RIA, Poemix, Biosigma) and sera containing diminished thyroxine binding globulin (TBG) levels, we found high T<sub>4</sub> concentrations with elevated T<sub>4</sub>/TBG ratios, which disagreed with clinical findings and thyrolyberin stimulation tests. Therefore dilutions of sera with elevated, normal and diminished thyroxine binding globulin were made from the T<sub>4</sub>-free serum provided with the kits. Whereas T<sub>4</sub> dilution curves of sera with normal and elevated thyroxine binding globulin levels yielded satisfactory results, the sera of patients with diminished thyroxine binding globulin levels gave inaccurate T<sub>4</sub> dilution curves (tab. 7). This

Tab. 7. Determination of total T<sub>4</sub> in sera with different thyroxine binding globulin (TBG) levels undiluted and in dilutions with T<sub>4</sub>-free serum, using two commercial T<sub>4</sub>-RIA kits (kit A: Gamma Coat, Travenol, kit B: <sup>125</sup>I-T<sub>4</sub>-Poemix, Biosigma).

	TBG levels (mg/l)	Elevated		Normal		Diminished	
		39	34	20	19	4	6
Kit A	T <sub>4</sub> undiluted	185	168	102	116	61	30
	(μg/l) 1:2 1:4	111 63	93 49	56 36	62 38	18 18	35 22
Kit B	T <sub>4</sub> undiluted	201	172	95	115	52	21
	(μg/l) 1:2 1:4	102 60	93 48	49 31	54 32	14 12	30 19

demonstrates dependence of T<sub>4</sub> analytical results on the endogenous thyroxine binding globulin levels in these methods. As demonstrated by Gershengorn et al. (20), thyroxine binding globulin irreversibly changes its tertiary structure at a pH lower than pH 4.5 and above pH 11.5, and the ability to bind thyroid hormone is lost. With the availability of T<sub>4</sub> antibodies with a binding optimum at pH 4.0, a simple, specific and protein-independent radioimmunoassay could be established, because the endogenous T<sub>4</sub> binding proteins showed no influence on T<sub>4</sub> antibody binding in this pH range. This is documented by identical standard curves of T<sub>4</sub> diluted either in 1 g/l human serum albumin in phosphate buffer, 40 g/l human serum albumin in phosphate buffer or T<sub>4</sub>-free human serum with the endogenous thyroxine binding globulin concentrations of 18 mg/l thyroxine binding globulin, by recovery studies and by dilution curves of sera with different thyroxine binding globulin concentrations.

In rabbits, the selection of T<sub>3</sub> antibodies with a binding optimum in an acid pH range was less pronounced compared with the T<sub>4</sub> antisera. A T<sub>3</sub> radioimmunoassay in unextracted sera at pH 4.0 according to the T<sub>4</sub>-RIA without prior separation of the T<sub>3</sub>-antibody populations by anion exchange chromatography, did not fulfill criteria of accuracy. However, using the T<sub>3</sub> antisera with alkaline binding optimum, a thyroxine binding globulin independent T<sub>3</sub> radioimmunoassay could be established without thyroxine binding globulin blocking agents, after a prior denaturation of thyroxine binding globulin with 0.1 mol/l NaOH.

Preincubation of the specific antibody with precipitating antibody (second antibody) did not influence the characteristics of the specific antibody. This procedure is necessary when the radioimmunoassay is performed at extreme pH ranges where the second antibody does not bind the specific antibody; it also represents a simplification of the assay procedure.

## References

1. Prince, H. P. & Ramsden, D. B. (1977), Clin. Endocrinol. 7, 307–324.
2. Gharib, H., Ryan, R. J., Mayberry, W. E. & Hochert, T. (1971), J. Clin. Endocrinol. 33, 509–516.
3. Ljunggren, J. G., Person, B. & Toyselins, M. (1976), Acta Endocrinol. (Kbh.) 81, 487–494.
4. Werner, S. C., Acebedo, G. & Radichevich, J. (1974), J. Clin. Endocrinol. 38, 493–495.
5. Seth, J., Rutherford, F. J. & McKenzie, J. (1975), Clin. Chem. 21, 1406–1409.
6. Ramsden, D. B. (1977), in: Peripheral Metabolism and Action of Thyroid Hormones. Ann. Res. Rev., Vol. 2, 202–226.
7. Horn, K., Henner, J., Müller, O. A. & Scriba, P. C. (1975), Z. Klin. Chem. Klin. Biochem. 13, 173–178.
8. Chopra, J. J. (1972), J. Clin. Endocrinol. Metab. 34, 938–947.
9. Brown, M. L. & Metheny, J. (1974), J. Pharmaceut. Sciences 63, 1214–1216.
10. Hesch, R. D., Hüfner, M. & von zur Mühlen, A. (1972), Dtsch. Med. Wochenschr. 97, 351–353.
11. Hilger, P., Herrmann, J. & Krüskenper, H. L. (1973), Z. Klin. Chem. Klin. Biochem. 11, 323–325.
12. Horn, K. (1976), in: Triiodothyronin (T<sub>3</sub>). Zur Bestimmung und pathologischen Bedeutung. Urban und Schwarzenberg, München–Berlin–Wien, 16–21.
13. Horn, K., Hallhuber, G., Ruhl, T. & Scriba, P. C. (1971), Acta Endocrinol. (Kbh.) suppl. 152, 85.
14. Sofroniew, M. V., Madler, M., Müller, O. A. & Scriba, P. C. (1978), Fresenius Z. Anal. Chem. 290, 163.
15. Vaitukaitis, J., Robbins, J. B., Nieschlag, E. & Ross, G. T. (1971), J. Clin. Endocrinol. 33, 988–991.
16. Desbuquois, B. & Aurbach, G. D. (1971), J. Clin. Endocrinol. 33, 732–738.
17. Docter, R., Hennemann, G. & Bernard, H. (1972), Isr. J. Med. Sci. 8, 1870 (abstr.).
18. Scatchard, G. (1949), Ann. N. Y. Acad. Sci. 51, 660–672.
19. Marschner, I., Dobry, H., Erhardt, F., Landersdorfer, T., Popp, B., Ringel, C. & Scriba, P. C. (1974), Ärztl. Lab. 20, 184–191.
20. Wood, W. G., Bauer, M., Horn, K., Marschner, I., v. Thiel, D., Wachter, Ch. & Scriba P. C. (1980), this journal 18, 511–519.
21. Horn, K., Marschner, I. & Scriba, P. C. (1976), J. Clin. Chem. Clin. Biochem. 14, 353–360.
22. Gershengorn, M. C., Lippolt, R. E., Edelhoch, A. & Robbins, J. (1977), J. Biol. Chem. 252, 8719–8723.
23. Chopra, J. J., Nelson, J. C., Solomon, D. H. & Beall, G. N. (1971), J. Clin. Endocrinol. 32, 299–308.

Dr. med. Roland Gärtner  
Medizinische Klinik Innenstadt  
der Universität München  
Ziemssenstraße 1  
D-8000 München 2